



T.C.
BAYINDIRLIK ve İSKÂN BAKANLIĞI
AFET İŞLERİ GENEL MÜDÜRLÜĞÜ
DEPREM ARAŞTIRMA DAİRESİ

**DEPREM
ARAŞTIRMA
"BÜLTENİ"**

38



Deprem Araştırma Bülteni (DAB)

Bulletin of Earthquake Research
(Bull. Earthq. Res.)



Temmuz [July] / 1982
Cilt [Volume]: 9

Sayı [Issue]: 38

Bayındırlık ve İskân Bakanlığı [Ministry of Public Works and Settlement]
Afet İşleri Genel Müdürlüğü [General Directorate of Disaster Affairs]
Deprem Dairesi Başkanlığı [Directorate of Earthquake Research]

ARAŞTIRMA [RESEARCH]

Çerçeve Yapılarda Yüksek Modların Yaklaşık Olarak Belirlenmesi
[Determination of Approximate Information About Higher Modes in
Framed Structures]

Muzaffer İPEK, Kadri AKSEL 5-24

ARAŞTIRMA [RESEARCH]

Marmara Bölgesi İçin Sismik Gürültü Ölçüleri [Seismic Noise Criteria for
the Marmara Region]

Esen ALSAN 25-48

ARAŞTIRMA [RESEARCH]

Çerçeve Taşıyıcı Sistemlerin Yatay Yük Etkisi Altında Hesabı İçin Bir
Bilgisayar Programı [A Computer Program for Calculation of Frame
Support Systems Under Horizontal Load]

Ruhi AYDIN 49-60

ARAŞTIRMA [RESEARCH]

Kuzey Anadolu Fay Zonu'nun İzmit-Kastamonu Kesiminin Tarihsel
Dönem (1900 Öncesi) Deprem Etkinliği [Historical Period (Before 1900)
Earthquake Activity of the İzmit-Kastamonu Section of the North
Anatolian Fault Zone]

Selçuk SİPAHİOĞLU, Oğuz GÜNDÖĞDU 61-72

DERLEME [REVIEW]

Bazı Ülkelerin Deprem Yönetmeliklerindeki Yatay Kuvvet Hesabı
Yöntemlerinin Karşılaştırılması [Comparison of Horizontal Force
Calculation Methods in Earthquake Regulations of Some Countries]

Halit DEMİR, Zekeriya POLAT 73-95

**DEPREM
ARAŞTIRMA
BÜLTENİ**

38

**DEPREM
ARAŞTIRMA
BÜLTENİ**

38

**DEPREM ARAŞTIRMA
BÜLTENİ**



Üç Ayda Bir Yayınlanır
Bilim ve Meslek Dergisi



Sahibi

İmar ve İskân Bakanlığı adında
Oktay Ergünay
Deprem Araştırma Dairesi Başkanı



Yazı İşleri Müdürü

Erol Aytac
Deprem Araştırma Dairesi
Yayın ve Dökümantasyon Müdür V.



Yönetim Yeri ve Yazışma Adresi
Deprem Araştırma Dairesi
Başkanlığı Yüksel Caddesi No. : 7/B



Yenişehir/ANKARA



Telefon : 13 97 77 — 17 69 55



Saydam Matbaacılık Tel : 18 53 09

DEPREM ARAŞTIRMA BÜLTENİ

YIL : 9

SAYI : 38

TEMMUZ 1982

BU SAYIDA

Çerçeve Yapılarda Yüksek Modların Yaklaşık Olarak Belirlenmesi

Muzaffer İPEK
Kadri AKSEL

Marmara Bölgesi İçin Sismik Gürültü
Ölçüleri

Esen ALSAN

Çerçeve Taşıyıcı Sistemlerin Yatay Yük
Etkisi Altında Hesabı İçin Bir Bilgisayar
Programı

M. Ruhi AYDIN

Kuzey Anadolu Fay Zonu'nun İzmit - Kas-
tamonu Kesiminin Tarihsel Dönem (1900
Öncesi) Deprem Etkinliği

S. SİPAHİOĞLU
O. GÜNDÖĞDU

Bazı Ülkelerin Deprem Yönetmeliklerin-
deki Yatay Kuvvet Hesabı Yöntemlerinin
Karşlaştırılması

Halit DEMİR
Zekeriya POLAT

ÇEVREYE YAPILARDA YÜKSEK MODLARIN
YAKLAŞIK OLARAK BELİRLENMESİ

Muzaffer İPEK^x, Kadri AKSEL^{xx}

ABSTRACT

DETERMINATION OF APPROXIMATE INFORMATION ABOUT HIGHER MODES IN FRAMED STRUCTURES

In this paper, a computer program has been developed to solve conventional structural frames having varying rigidity and mass distributions. The objective was, without performing detailed dynamic analysis, to obtain the periods and mode shapes of higher modes in plane frames whose rigidity, mass properties and fundamental period value are known. By the help of the presented tables and figures, a design engineer can perform a seismic analysis closer to reality by using adequate number of modes.

ÖZET

Bu araştırmada, uygulamada her zaman karşılaşılan tipte rijitlik ve kütle dağılımına sahip çerçeveler ele alınmış ve geliştirilen bilgisayar programı ile kesin çözümleri yapılarak sonuçlar tablolAŞtırılmıştır. Amaç, rijitlik ve kütle dağılışı önceden bilinen düzlem çerçeveler için kesin çözüm yapılmadan, sadece temel peryot değerinden hareketle diğer dört peryot değerinin ve titreşim mod şekillerinin ilk beşini kesin değerlere oldukça yakın olarak verebilecek bir yöntem sunmaktadır. Hazırlanan tablolar yardımı ile projeyi yapan mühendis, yanının özelliğine göre yeterli sayıda mod seçerek gerçeğe daha yakın bir deprem hesabı yapmasına kavuşmaktadır.

^x Prof. Dr. İ.T.Ü. Elektronik Hesap Bilimleri Enstitüsü

^{xx} İnş. Y.Müh.

1. GİRİŞ

Deprem mühendisliğinde bir yapının depreme karşı davranışının belirlenmesi çok yüklü sayısal hesaplar içermektedir. Bu arada, yapının dinamik davranışını karakterize eden titreşim peryotları ve modlarının bulunması da çok zaman almaktadır.

Yapıların dinamik analizlerinin yapılabilmesi ve sayısal çözümlerine gidilebilmesi için genellikle fiziksel özelliklerde bir çok basitleştirmeler yapıldığı gözönünde tutulursa, çözümde ne kadar karmaşık ve ileri yöntemler kullanılırsa kullanılsın, deprem gibi rasgele bir olaya karşı yapının davranışını ancak belli bir yaklaşıkla belirlenebilir. Deprem yönetmelikleri normal yapıların deprem hesabında yalnız 1. ci modun gözönüne alınmasına, diğer modların etkisinin ihmal edilmesine müsaade ederler. Bu açıdan bakılırsa, daha duyarlı bir hesap için ilk bir kaç mod dışındaki diğer modların etkisinin ihmal edilmesi, yapılan diğer kabullerin getirdiği yaklaşımı fazla etkilemeyecektir.

Uniform enkesitli kırışlerde çeşitli modlara ait peryotların 1 ci peryoda oranı literatürde incelenmiştir. Ref. 1 ve 2 de ilk beş mod için aşağıda Tablo 1 deki oranlar verilmiştir :

Tablo 1. Konsol kırışın peryot oranları

| Matematik model | T ₁ | T ₂ | T ₃ | T ₄ | T ₅ |
|--------------------------|----------------|----------------|----------------|----------------|----------------|
| Kesme tipi konsol kırış | 1. | 0.3333 | 0.2000 | 0.1429 | 0.1111 |
| Eğilme tipi konsol kırış | 1. | 0.1596 | 0.0570 | 0.0291 | 0.0176 |

Kesme tipi kırış için 1 ci peryodun T₁'e oranı 1/(2j-1) ifadesi yardımı ile hesaplanabilmektedir.

Doğal olarak çerçeve yapınlarda durum bu kadar basit olmayıp, yapının dinamik özelliklerini, uniform olmayan rijitlik dağılışına ve yine uniform olmayan kütle dağılışına bağlıdır.

Bu çalışmada, her biri değişik özellikte olabilen kolon ve kişilere oluşan çerçevelerde titreşim peryot oranları ve mod şekillerinin değişimi incelenecuk ve uygulamada her zaman karşılaşılan tipde çerçeveler için temel (fundamental) titreşim peryodu, rıjilik dağılımı ve katsayısının fonksiyonu olarak diğer peryot değerlerinin ve mod şekillerinin çok basit işlemlerle belirlenebilmesine çalışılacaktır. Çalışmanın tamamı 1981 yılında Mühendislik - Mimarlık Lisans Sonrası tezi olarak İ.T.Ü. İnşaat Fakültesine sunulmuştur.³

2. YÖNTEM :

Yapılar genellikle ortogonal çerçevelerden oluşmaktadır. Yapı dış etkenlere karşı bütün çerçeveleri ile bir bütün halinde davranış gösterir. Ancak, herhangi gelişti tıpteki uzay sistemlerin dinamik analizlerini yaparak genel anlamda nice sonuçlara varabilmenin güçlüğü düşünülecek olursa, problemi basitleştirmek ve yapıyı bir doğrultuda tipik bir çerçevesi ile temsil etmek gerekecektir. Bu nedenle, bu çalışmada ele alınan matematik model kütlelerin kat hizalarında toplandığı, çok katlı ortogonal bir çerçevedir. Kolonların temele kadar sürekli olması ilkesine ters düşmemek koşulu ile çerçevenin bazı çubukları eksik olabilir. Malzemenin lineer elastik olduğu varsayılmıştır. Sönümlün titreşim peryodu ve mod şekilleri üzerine etkisi önesiz olduğundan, bu etken ihmal edilmiştir. Titreşen serbestlik dereceleri olarak yalnız kat ötelemeleri alınmıştır.

Çerçevenin titreşim peryot ve modlarının hesabı için önce rıjilik ve kütle matrislerinin belirlenmesi gerekmektedir.

Rıjilik matrisi, Çerçeveyi oluşturan çubukların eleman rıjilik matrislerinin süperpozisyonu ile elde edilen sistem rıjilik matrisinin yalnız kat ötelemelerini içerecek şekilde indirgenmesi ile bulunur ve simetrik bir matristir.

Kütle matrisi ise, kat kütlelerinin köşegen üzerinde toplandığı, köşegen bir matristir.

Bu matrisleri K ve M ile gösterilirse, çerçevenin titreşim peryodu ve modları aşağıdaki genelleştirilmiş özdeğer probleminin çözümünden elde edilir :

$$[K] \{ \emptyset \} = \lambda [M] \{ \emptyset \} \quad (n = \text{kat sayısı})$$

nxn nxl nxn nxl

Bu problemin çözümü için çeşitli sayısal yöntemler vardır. Burada peryot ve modların tamamını verebilen "Genelleştirilmiş Jacobi Yöntemi" kullanılmıştır. Yöntem, adım adım sonuca varan bir yaklaşım yöntemi olup, her adımda K matrisinin bir köşegen dışı terimini sıfır yapmak üzere belirlenmiş bir P dönüşüm matrisi ile denklemin her iki tarafındaki matrislere aşağıdaki gibi benzerlik dönüşümü uygulanır:

$$K_{k+1} = P_k^T K_k P_k$$

$$M_{k+1} = P_k^T M_k P_k$$

Bu dönüşümler sonucu K matrisi yavaş yavaş bir köşegen matris yaklaşırken, M matrisi de birim matrise yaklaşır. $n(n-1)$ köşegen dışı elemanın sıra ile sıfırlanmasına, yani simetriden dolayı $n(n-1)/2$ dönüşüm uygulanmasına bir süpürme adı verilmektedir. Bu süpürme sonunda evvelce sıfırlanmış terimlerin yeniden sıfırdan farklı hale geldikleri görülür. Ancak bu terimler eski değerlerine göre mutlak değerce küçülmüşlerdir. Genellikle altı ila yedi süpürmeden sonra köşegen dışı terimler yeterince küçülürler ve iterasyona son verilir. Bu durumda λ özdeğerleri K matrisinin köşegeni üzerinde sıralanırlar. $\{\emptyset\}$ özvektörleri ise, her adımda kurulan P dönüşüm matrislerinin hep sağdan birbirleri ile çarpılmasından elde edilen Φ modal matrisinin sütunlarıdır :

$$\Phi = P_1 P_2 \cdots P_{k-1} P_k$$

3. RIJİTLİK VE KÜTLE DAĞILIMININ TİTREŞİM PERYOT VE MODLARINA ETKİSİ

Çergeve yapılarının rijitlik ve kütle özelliklerini ile çeşitli modlarına ait titreşim peryotları arasında bir ilişki kurmak ve bu özelliklerin değişiminin peryot ve modları nasıl etkilediğini görmek amacıyla bir çok çergeve boyutlandırılmış ve kesin çözümleri yapılmıştır. Yapı özellikleri ile peryotlar arasında matematik bir bağıntı kurulması, kat sayısının 2 den büyük olmasında pratik bir çözüm yolu değildir. Bu nedenle konuya sayısal olarak yaklaşım düşünülerek, değişik kat sayısı ve özelliklere sahip 48 adet çergeve seçilmiştir ve 2 ci Bölümde esasları belirtilen yöntemle bu çergevelerin dinamik çözümlerini yapmak yoluna gidilmiştir. Sonuçlar rijitlik dağılımı ve kat adedine göre gruplandırılarak ilk beş peryot ve mod şekilleri tablolaştırılmıştır.

Örnek çerçevelerde iki türlü rijitlik dağılımı esas alınmıştır: Doğrusal ve parabolik. Rijitlik değişiminin etkisini göstermek üzere yapının orta akşlarından birine ait çerçeve kolonu için iki adet parametre tanımlanmıştır :

$$r = J_{\text{alt}} / J_{\text{üst}} \quad (\text{Doğrusal ve parabolik dağılısta})$$

$$e = \frac{2J_{\text{orta}}}{J_{\text{alt}} + J_{\text{üst}}} \quad (\text{Yalnız parabolik dağılısta})$$

Burada

$J_{\text{üst}}$: En üst kattaki kolunun atalet momenti

J_{orta} : Orta kattaki kolonun atalet momenti

J_{alt} : En alt kattaki kolonun atalet momenti

Örnek çerçevelerde kullanılan r değerleri Tablo 2 de sunulmaktadır.

Tablo 2. Örnek çerçevelerde kullanılan r değerleri

| Kat adedi | 3 | 5 | 7 | 9 | 11 | 13 |
|-------------------|----------|----|----|----|-----|-----|
| D o g r u s a l | 9 | 11 | 17 | 19 | 21 | 23 |
| | 5 | 7 | 11 | 14 | 16 | 18 |
| | 1 | 3 | 5 | 10 | 12 | 12 |
| | - | - | - | 5 | 7 | 7 |
| P a r a b o l i k | e = 0.65 | 9 | 11 | 17 | 19 | 21 |
| | e = 0.65 | - | - | - | 14 | 16 |
| | e = 0.75 | - | 7 | 11 | 14' | 16' |
| | e = 0.75 | - | - | - | 10 | 12 |
| | e = 0.85 | - | 3 | 5 | 10' | 12' |
| | e = 0.85 | - | - | - | 5 | 7 |

4. YAPILARIN TEMEL PERYOTLARININ BELIRLENMESİ

Yapıların bir çok titreşim peryot ve modunun belirlenmesini hedef alan dinamik analizleri uzun ve zahmetli olmakla beraber, yalnız temel titreşim peryodu istendiği takdirde bunun belirlenmesi sorun olmayıp, yatay yük sabının bir yan ürünü olarak derhal elde edilebilir. Bu hesap maksimum şekil değiştirme durumundaki şekil değiştirme enerjisinin sıfır şekil değiştirme durumundaki kinetik enerjiye eşitliği esasında dayanan Rayleigh-Ritz yaklaşımı ile yapılır^(5,6) Ref. 6 da bu yöntem bir ardışık yaklaşım yöntemi şeklinde açıklanmış ve çeşitli özel durumlara uygulanmıştır. Bu yönteme göre yapı temel peryodunun hesabı şu şekilde olmaktadır :

Birinci asal doğrultuda yapılan yatay yükleme sonunda aynı doğrultuda elde edilen kat yer değiştirmeleri δ_{1i} olsun. Bu asal doğrultu için doğal peryot büyük bir yaklaşımla

$$T_1 = 2 \pi \sqrt{\frac{\sum W_i \delta_{1i}^2}{g \sum F_i \delta_{1i}}}$$

dir. Burada

F_i = i ci kata etkiyen yatay yük

W_i = i ci katın ağırlığı

g = Yer ivmesi

Yer değiştirme formu yapının 1 ci moduna ne kadar yakınsa bu yaklaşım o kadar iyi olur.

İkinci asal doğrultudaki T_2 temel peryodunun bulunması için de benzer şekilde hareket edilir.

5. ÇÖZÜMLERİN DEĞERLENDİRİLMESİ

a) Kat sayısı değişen farklı rıjilik özelliklerine sahip çerçevelerde titreşim peryotlarının modlara göre değişimi incelenmiş ve sonuç Şekil 1 de sunulmuştur. Bu şekilde, herhangi bir kat sayısı için kırık çizgilerle birleştirilen ordinatlar, o kat sayısını haiz bütün çetgevelere ait çözüm değerlerinin ortalaması alınarak bulunmuştur.

b) Sonuçlar pratik amaçlarla kat adedi ve rıjilik dağılımına göre gruplandırılmış ve ilk beş peryotla mod şekilleri tablolâstırılmıştır. Gerçekte yapılar için ilk üç modun gözönünde bulundurulması pratik amaçlar için yeterli ise de, özel durumlar düşünürlerek ilk beş modun verilmesi uygun görülmüştür. Tablo ve şekiller Ek'te sunulmaktadır.

6. SAYISAL ÖRNEK

Ek'de sunulan tabla ve şekillerin kullanılmasını göstermek üzere Ref. 7'de kesin çözümü verilen Şekil 2 deki çerçeve ele alınmıştır. Atalet momenti dağılışı Şekil 3 de görüldüğü gibi yaklaşık olarak paraboliktir.

$$r = 9.90 / 3.0 \approx 3.30$$

$$e = \frac{2 \times 3.75}{3.00 + 9.90} = 0.58$$

Çerçevenin 1. ci moduna ait peryodunun herhangi güvenilir bir yön temle

$$T_1 = 1.54614 \text{ sn}$$

olarak bulduğunu varsayıyalım. Diğer peryotlar, Ek Tablo 5p nin, 2 nci ve 3. cü satırları arasında $r = 3.30$ için interpolasyonla bulunan kat sayılarının T_1 ile çarpılması ile elde edilir.

| MODLAR | γ_i | $T_1 \times \gamma_i$ | T_i kesin |
|--------|------------|-----------------------|-------------|
| 2. MOD | 0.3447 | 0.53295 | 0.5519400 |
| 3. MOD | 0.2033 | 0.31433 | 0.3387600 |
| 4. MOD | 0.1453 | 0.22465 | 0.2532400 |
| 5. MOD | 0.1059 | 0.16374 | 0.2045300 |

Modlar Tablo 5p nin altındaki şekillerden $r = 3$ e karşı gelen değerler kullanılarak elde edilir :

| 1. MOD | | 2. MOD | | 3. MOD | | 4. MOD | | 5. MOD | |
|--------|-------|--------|-------|--------|-------|--------|-------|--------|-------|
| | Kesin | | Kesin | | Kesin | | Kesin | | Kesin |
| 1.00 | 1.00 | 1.00 | 0.97 | -0.94 | -0.92 | 0.40 | 0.41 | 0.05 | 0.06 |
| 0.85 | 0.88 | 0.10 | 0.17 | 1.00 | 0.95 | -0.95 | -1.00 | -0.18 | -0.25 |
| 0.65 | 0.69 | -0.72 | -0.69 | 0.55 | 0.91 | 1.00 | 0.82 | 0.52 | 0.57 |
| 0.40 | 0.46 | -0.90 | -1.00 | -0.80 | -0.64 | -0.20 | 0.15 | -0.97 | -1.00 |
| 0.18 | 0.25 | -0.46 | -0.72 | -0.75 | -1.00 | -0.80 | -0.68 | 1.00 | 0.87 |

Yukarıdaki tablolarda peryot ve mod değerleri, kesin değerlerle karşılaştırılmış olup, aradaki farkın mühendislik bakımından kabul edilir sınırlar içinde kaldığı görülmektedir.

6. SONUÇ

Çalışmada aşağıdaki nicel ve nitel sonuçlara varılmıştır :

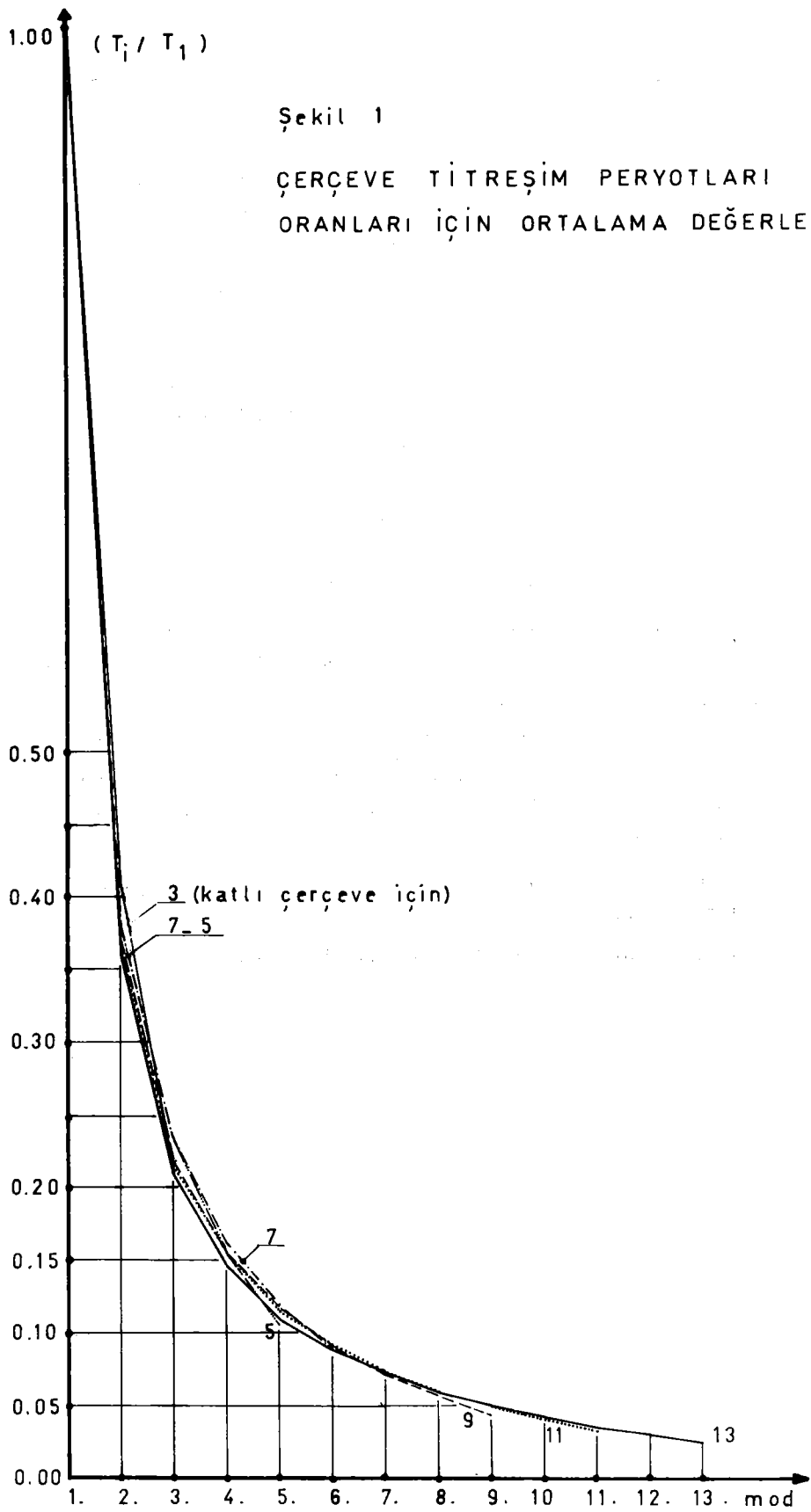
- a) Çerçeve rıjilik ve kütle özelliklerini peryot değerlerini etkilediği halde, Şekil 1 den görüldüğü gibi ortalama peryot oranları bu değişikliklerden o kadar etkilenmemektedir. Bu nedenle 1 ci moda ait peryot değerinin bilinmesi halinde diğer peryotlar yaklaşık olarak bu değerin Şekil 1 den alınacak ordinatlarla çarpımından elde edilebilmektedir.
- b) Ek'de sunulan Tablolar rıjilik dağılımını ve oranını da gözönüne alındıgından, bu tabloların kullanılması halinde peryotlar için daha duyarlı değerler bulunmaktadır.
- c) Ek'de sunulan şekiller, mod şekillerinin yaklaşık olarak belirlenmesine olanak vermektedir.

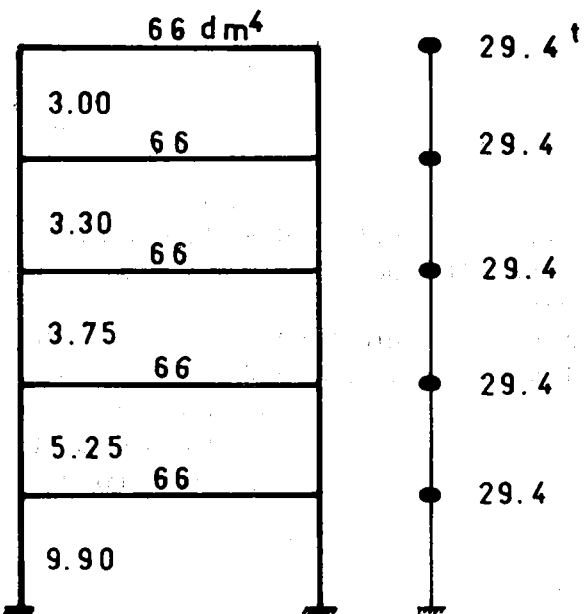
TEŞEKKÜR

Çalışmada geçen sayısal hesaplar İ.T.Ü. Elektronik Hesap Bilimleri Enstitüsünde kurulu bilgisayarda yapılmıştır. Yardımları için enstitü personeline teşekkürü bir borç biliriz.

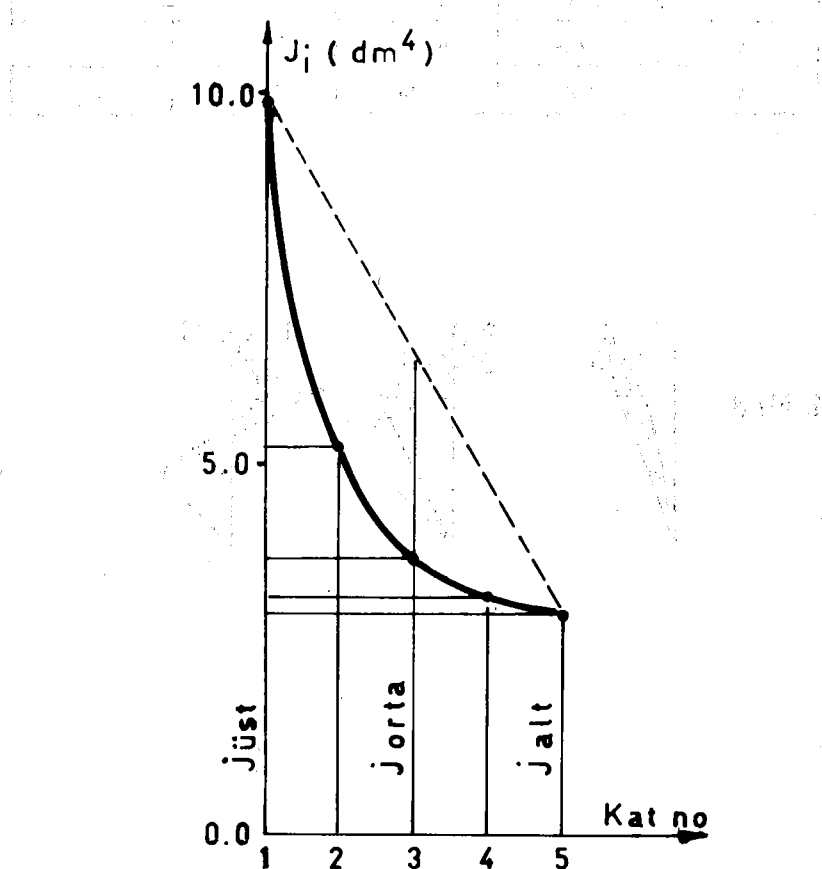
REFERANSLAR

1. Blume J.A., N.M. Newmark, L. H. Corning, "Design of Multistory Reinforced Concrete Buildings for Earthquake Motions", Portland Cement Association, 1961.
2. İpek M., "A Mass Matrix for Beam Element derived from Dynamic Considerations", Research Report 79-03, Department of Architecture, Faculty of Engineering, University of Tokyo, 1979.
3. Aksel K., "Çerçeve yapılarının Çeşitli Modlarına ait Titreşim Peryotları", İ.T.Ü. İnşaat Fakültesine sunulan MMLS tezi, Haziran 1981.
4. Bathe K.J., E.L. Wilson, "Numerical Methods in Finite Element Analysis", Prentice Hall, 1976.
5. İpek M., "Çerçeve Binaların Titreşim Özellikleri ve Kargır Dolgu Duvarlarının Tesiri", İ.T.Ü. İnşaat Fakültesine sunulan doktora tezi, 1966.
6. Çakıroğlu, A., G.Özmen, "Yapıların Özel Peryotlarının Tayini", İ.T.Ü. Dergisi, Cilt 16, No. 1, 1968.
7. İpek M., "Sismoloji Dersi Uygulamaları", 1980-81.





Şekil 2 Çerçeve kesiti



Şekil 3 Atalet momenti
değişimi

-EK-

Tablo 2. de r değerleri verilen örnek çerçevelerin çözümleri sonucu elde edilen peryot oranları ve mod şekilleri sıra ile sunulmaktadır.

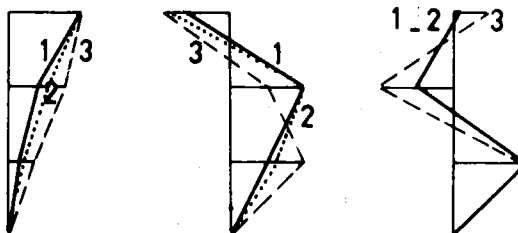
Not: Tabloların isimlendirilmesi şu esasa göre yapılmıştır.

(Tablo n.a.)..... n: Kat adedi (3,5,7,9,11,13)
a: Atalet momenti değişim şekli (d , p)
- d: Doğrusal değişim
- p: Parabolik değişim

Tablo 3.d.

| r | 2. MOD | 3.MOD | 4.MOD | 5.MOD |
|---|--------|-------|-------|-------|
| 9 | 0.437 | 0.198 | --- | --- |
| 5 | 0.429 | 0.227 | --- | --- |
| 1 | 0.335 | 0.213 | --- | --- |

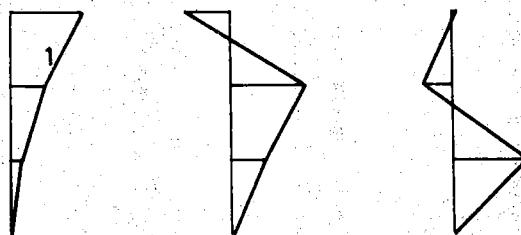
1. Mod



Tablo 3.p.

| r | 2.MOD | 3.MOD | 4.MOD | 5.MOD |
|---|-------|-------|-------|-------|
| 9 | 0.427 | 0.208 | --- | --- |

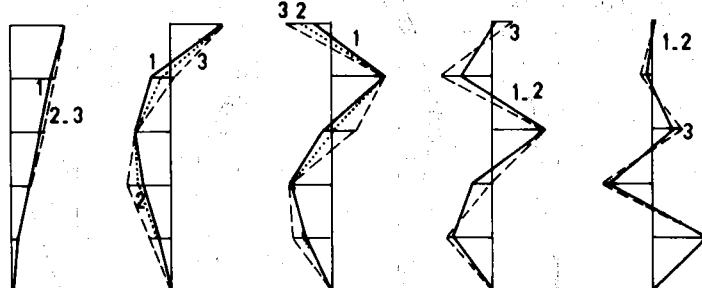
1. Mod



Tablo 5.d.

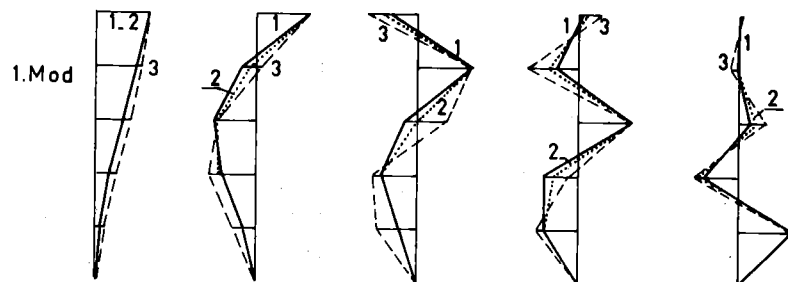
| r | 2.MOD | 3.MOD | 4.MOD | 5.MOD |
|----|-------|-------|-------|-------|
| 11 | 0.430 | 0.247 | 0.156 | 0.104 |
| 7 | 0.384 | 0.231 | 0.152 | 0.103 |
| 3 | 0.343 | 0.201 | 0.141 | 0.104 |

1. Mod



Tablo 5.p.

| Γ | 2. MOD | 3. MOD | 4. MOD | 5. MOD |
|----------|--------|--------|--------|--------|
| 11 | 0.407 | 0.256 | 0.170 | 0.105 |
| 7 | 0.378 | 0.232 | 0.161 | 0.105 |
| 3 | 0.342 | 0.201 | 0.144 | 0.106 |



Tablo 7.d.

| Γ | 2. MOD | 3. MOD | 4. MOD | 5. MOD |
|----------|--------|--------|--------|--------|
| 17 | 0.406 | 0.253 | 0.164 | 0.115 |
| 11 | 0.382 | 0.236 | 0.159 | 0.114 |
| 5 | 0.361 | 0.214 | 0.149 | 0.113 |

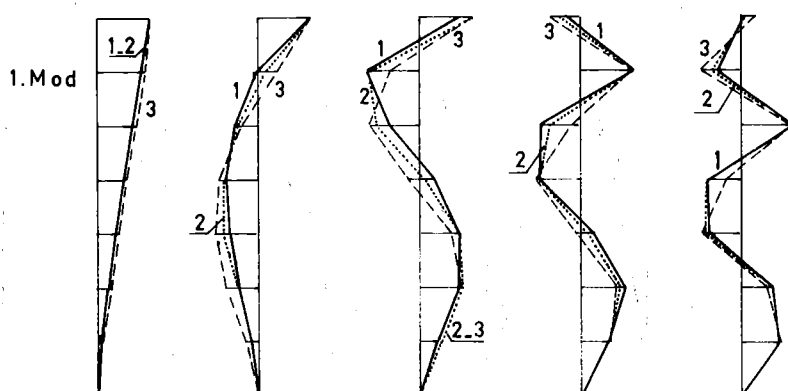


Table 7.p.

| r | 2.MOD | 3.MOD | 4.MOD | 5.MOD |
|----|-------|-------|-------|-------|
| 17 | 0.400 | 0.250 | 0.177 | 0.127 |
| 11 | 0.383 | 0.233 | 0.165 | 0.122 |
| 5 | 0.361 | 0.214 | 0.150 | 0.115 |

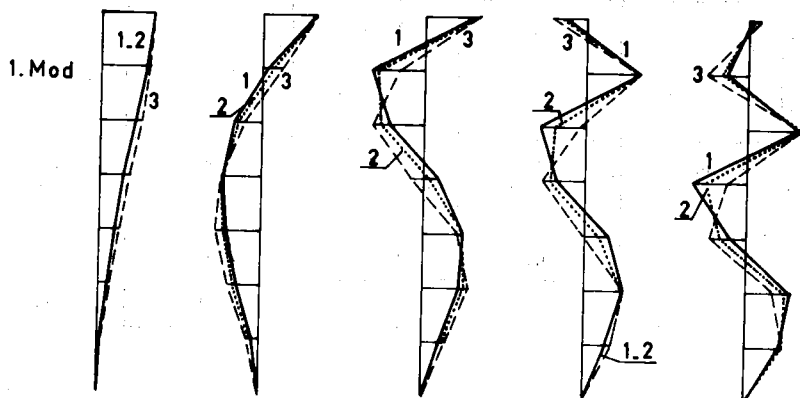
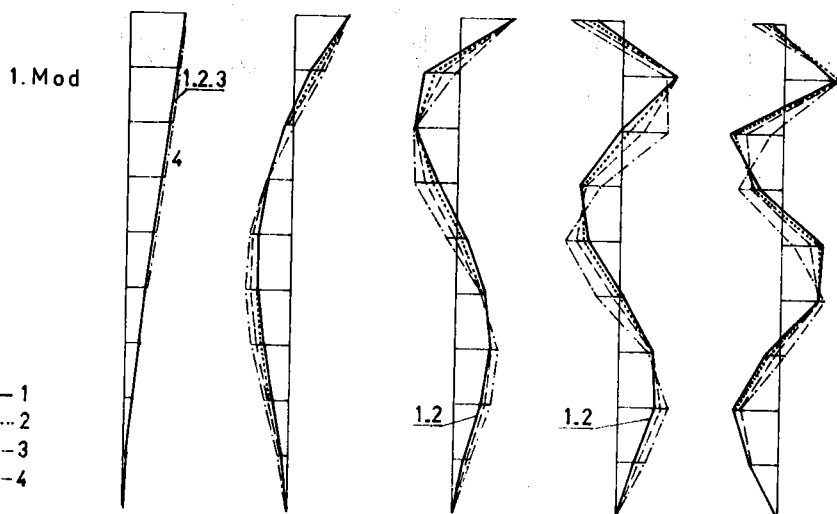


Table 9.d.

| r | 2.MOD | 3.MOD | 4.MOD | 5.MOD |
|----|-------|-------|-------|-------|
| 19 | 0.386 | 0.238 | 0.164 | 0.120 |
| 14 | 0.373 | 0.223 | 0.157 | 0.116 |
| 10 | 0.364 | 0.212 | 0.150 | 0.111 |
| 5 | 0.353 | 0.199 | 0.139 | 0.104 |



| <i>r</i> | 2.MOD | 3.MOD | 4.MOD | 5.MOD |
|----------|-------|-------|-------|-------|
| 19 | 0.392 | 0.236 | 0.170 | 0.131 |
| 14 | 0.379 | 0.223 | 0.160 | 0.124 |
| 14' | 0.377 | 0.223 | 0.159 | 0.121 |
| 10 | 0.368 | 0.213 | 0.152 | 0.116 |
| 10' | 0.367 | 0.213 | 0.151 | 0.114 |
| 5 | 0.354 | 0.200 | 0.141 | 0.105 |

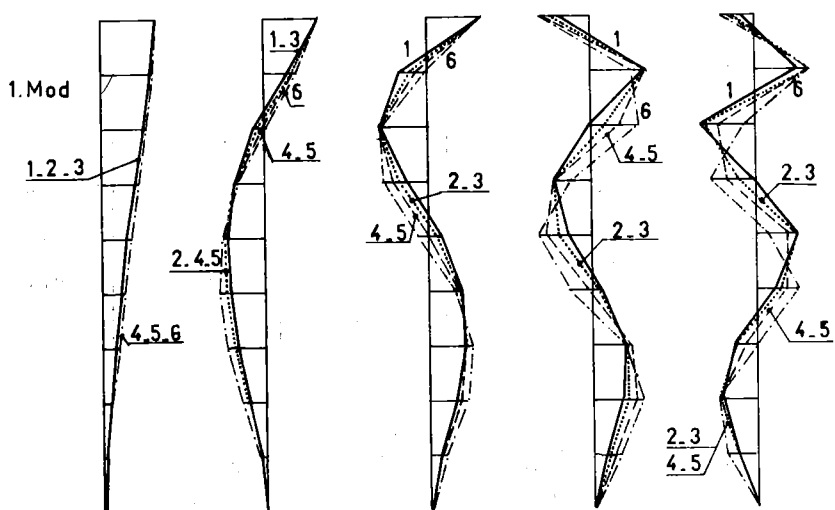


Table 11.d.

| r | 2. MOD | 3. MOD | 4. MOD | 5. MOD |
|----|--------|--------|--------|--------|
| 21 | 0.371 | 0.224 | 0.161 | 0.118 |
| 16 | 0.366 | 0.217 | 0.157 | 0.116 |
| 12 | 0.361 | 0.210 | 0.150 | 0.112 |
| 7 | 0.353 | 0.202 | 0.142 | 0.106 |

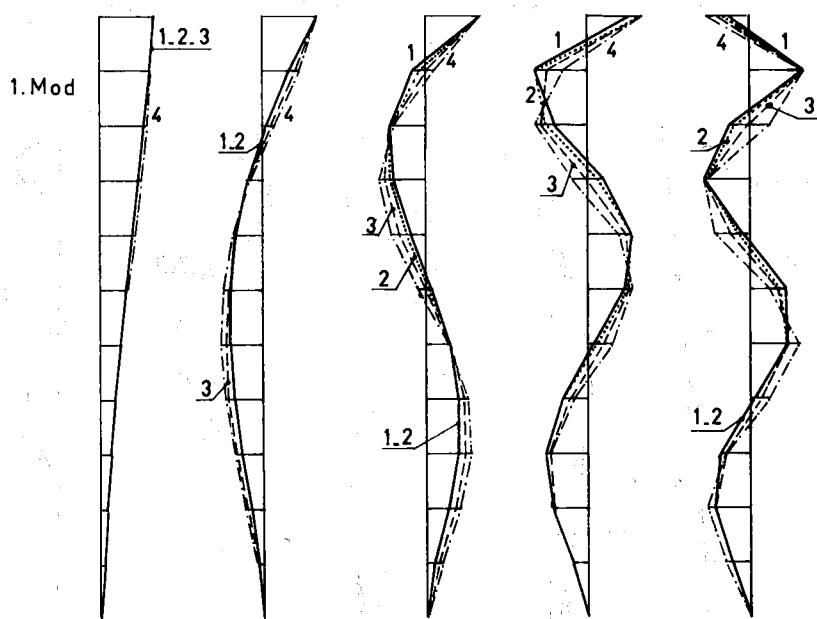


Table 11.p.

| r | 2.MOD | 3.MOD | 4.MOD | 5.MOD |
|-----|-------|-------|-------|-------|
| 21 | 0.381 | 0.226 | 0.164 | 0.127 |
| 16 | 0.374 | 0.219 | 0.159 | 0.122 |
| 16' | 0.371 | 0.218 | 0.158 | 0.120 |
| 12 | 0.365 | 0.212 | 0.151 | 0.115 |
| 12' | 0.362 | 0.211 | 0.151 | 0.113 |
| 7 | 0.355 | 0.203 | 0.143 | 0.107 |

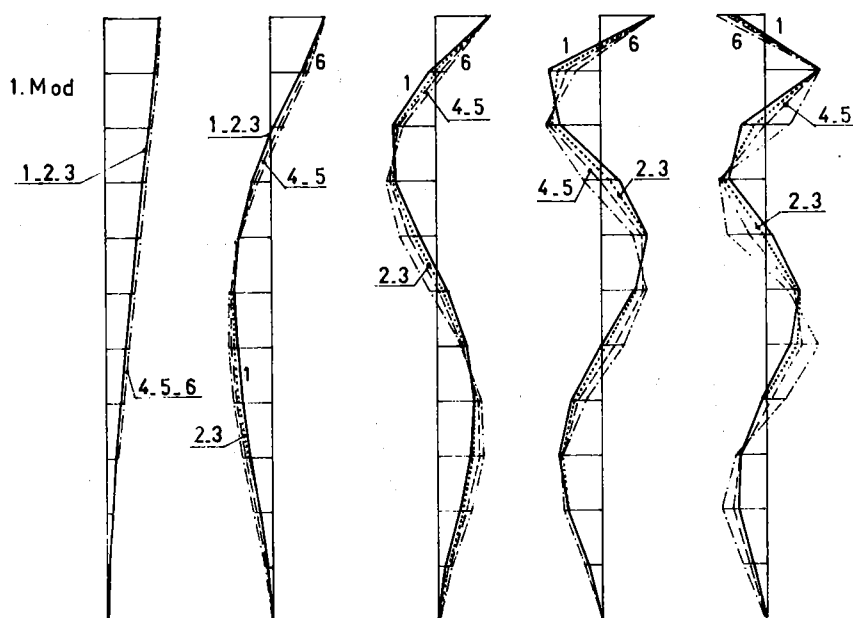
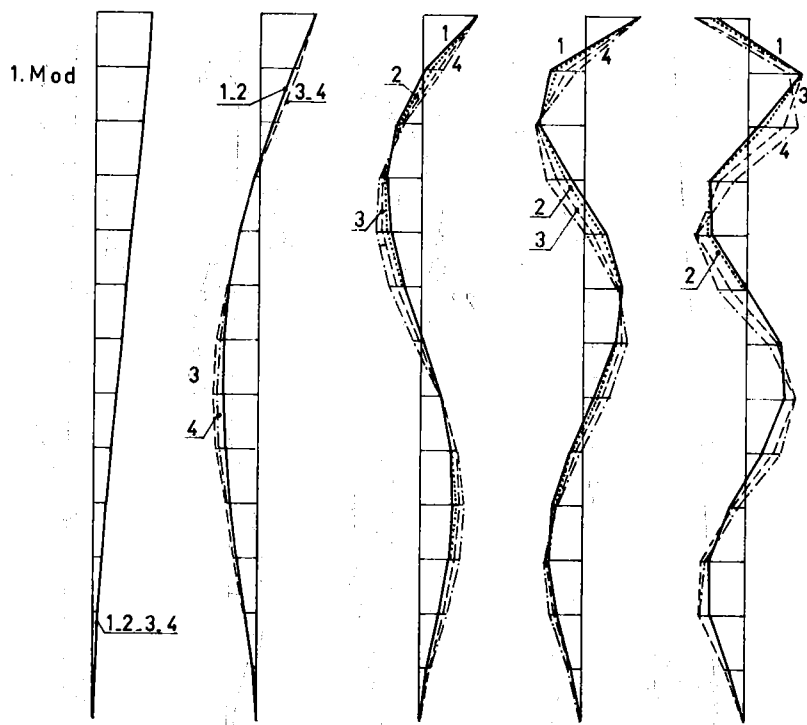


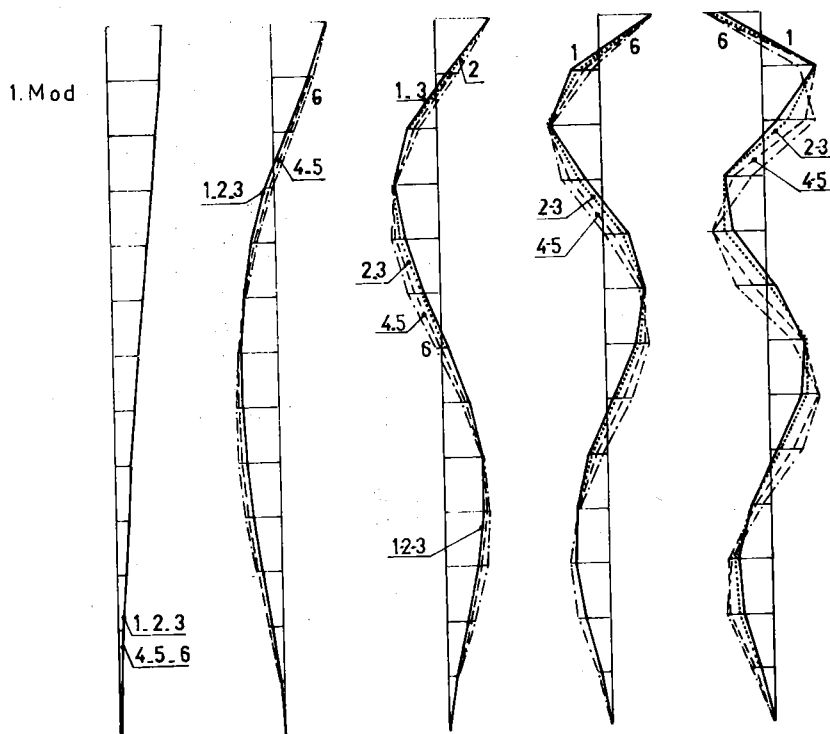
Table 13.d.

| Γ | 2. MOD | 3. MOD | 4. MOD | 5. MOD |
|----------|--------|--------|--------|--------|
| 23 | 0.361 | 0.215 | 0.152 | 0.114 |
| 18 | 0.358 | 0.211 | 0.148 | 0.111 |
| 12 | 0.353 | 0.205 | 0.142 | 0.107 |
| 7 | 0.349 | 0.200 | 0.137 | 0.103 |



Tablo 13.p.

| r | 2. MOD | 3. MOD | 4. MOD | 5. MOD |
|-----|--------|--------|--------|--------|
| 23 | 0.373 | 0.219 | 0.156 | 0.119 |
| 18 | 0.368 | 0.216 | 0.152 | 0.115 |
| 18' | 0.364 | 0.213 | 0.150 | 0.114 |
| 12 | 0.358 | 0.208 | 0.144 | 0.109 |
| 12' | 0.356 | 0.207 | 0.143 | 0.108 |
| 7 | 0.350 | 0.201 | 0.138 | 0.104 |



MARMARA BÖLGESİ İÇİN SİSMİK GÜRÜLTÜ ÖLÇÜLERİ

Esen Alsan^x

ABSTRACT

Seismic noise spectrums were obtained for some seismic stations in Marmara Region. The variations in the noise level and their causes were investigated. The analysis was made for the frequency range 0.2-12.8 Hz. The data recorded on magnetic tapes and converted to analogue form were used. In order to obtain the noise spectrums, the signals were passed through the band-pass filters. The noise spectrum curves for different stations showed a similar form: Below 5 Hz. The amplitudes of seismic noise decreased and above 5 Hz. increased with frequency. The variations in weather situation were found as the most important effect for the low frequency noise which showed highest levels in winter (cyclonic effect) and for coastal stations. High frequency noise generated by traffic and industrial activities showed an obvious difference between daytime and night-time for ISK station which takes place in the city. To use appropriate frequency filters can be recommended for diminishing the disturbing effect of background noise on the seismic records and for detecting, especially, weak onsets of regional earthquakes.

^x Kandilli Rasathanesi Sismoloji Bölümü

ÖZET :

Marmara bölgesindeki bazı deprem istasyonları için sismik gürültü spektrumları hesaplanmış, gürültü seviyelerindeki değişimler ve bunların etkenleri araştırılmıştır.

0.2-12.8 Hz. aralığı için yapılan frekans analizinde analog yöntem kullanılıp, manyetik band üzerindeki verileri band-geçişli filtrelerden geçirerek alınan kayıtlardan yararlanılmıştır. Elde edilen istasyon spektrum eğrileri benzer bir şekil göstermişlerdir: 5 Hz. e kadar gürültü genliğinin frekansla azaldığı, 5 Hz. in üstünde ise arttığı izlenmiştir. Spektrumlarda, alçak frekanslar için, sismik gürültü seviyesindeki belirgin farklılıkların en önemli etkeninin hava durumundaki değişimler olduğu görülmüştür. Sıkışıkların çok görüldüğü kış ayları ve kıyuya yakın istasyonlar alçak frekanslarda en yüksek gürültü seviyesini vermişlerdir. Endüstri ve trafik etkinliklerinden kaynaklanıp yüksek frekanslarda görülen, gece-gündüz gürültü seviyeleri arasındaki en belirgin değişim, şehir içinde yer alan ISK istasyonu için izlenmiştir. Sismik gürültülerin kaydı bozucu etkisini mümkün olduğu kadar azaltmak ve bilmassa bölgelere deprem başlangıçlarını yakalayabilmek konusunda uygun filtre düzenlemelerinin kullanılmasının yararlı olacağı sonucuna varılmıştır.

GİRİŞ :

Sismik gürültüler Yer kabuğundaki küçük elastik dalga hareketleri olup; sismik kayıtlar üzerinde, değişik şiddetlerde, daima yer alırlar ve deprem kayıtları için bozucu bir unsur teşkil ederler. Bu gürültüler istasyonun yerine, zemin yapısına, zamana ve hareketin frekansına bağlı olarak değişirler. Kaynakları çok çeşitli olabilir. Genelde bu kaynakları doğal ve yapay kaynaklar olmak üzere iki gruba ayırmak mümkündür. Doğal olanlar, yani mikroseismler için rüzgar, fırtına, don olayı gibi meteorolojik kaynaklı olanları; akıntı, sörf, çağlayan gibi su kütlesinin hareketinden kaynaklananları ve volkanik kaynaklı titreşimleri sayabiliriz. Trafik ve endüstri etkinlikleri ise en önemli yapay kaynaklardır.

Bir deprem istasyonunu etkileyen sismik gürültüler ve bunların seviyesi o istasyondaki sismografların duyarlık sınırlarının saptanması açısından önem taşır. Bu nedenle sismik gürültü ölçülerinin yapılması ve spektrumlarının çıkarılması verimli kayıt elde etme problemine birçok yönden yaklaşmaya imkan verir. Bu türlü çalışmalar;

- a) İstasyon yerlerinin sismik gürültü yönünden sakin bölgelerde seçimi,
- b) Kayıtlardan bozucu etkileri kaldıracak yeni tekniklerin geliştirilmesi,
- c) Sismik gürültülerin kaynaklarının tanınması,
- d) Sismik sinyaller için sinyal-gürültü oranının saptanması için gerekli bilgileri sağlar.

Bu çalışmada Marmara bölgesindeki radyo-bağlantılı deprem şebekesi (MARNET) istasyonlarından bazıları için sismik gürültü frekans spektrumları elde edilerek, bölgedeki sismik gürültü seviyesi ve bunun değişimi araştırılmıştır. Frekans analizi 0.2-12.8 Hz. aralığı için yapılmıştır.

SİSMİK İSTASYON VE ALET DÜZENEKLERİ

Sismik gürültü spektrumlarının hesaplanması, radyo-bağlantılı şebeke (MARNET) istasyonlarından olan ISK (İstanbul-Kandilli), CTT (Çatalca), MFT (Mürefte) ve KLT (Keltepe) nin kayıtlarından yararlanı-

mıştır. Ele alınan istasyonların yerleri Şekil 1 de gösterilmiştir. Tablo 1 de ise istasyonların özellikleri verilmektedir.

MARNET istasyonlarında Willmore tipi kısa peryotlu düşey sismo metreler çalıştırılmaktadır. Şebekede sistemin blok diyagramı Şekil 2 de verilmiştir. İstasyonlardaki sismometrelerden elde edilen analog sinyal amplifikatör vasıtasıyla istenilen düzeyde yükseltildikten sonra, amplifikatörün çıkış sinyali modülatörde frekans modülasyonuna bırakılmaktadır. Bu sinyaller vericilerin taşıyıcı dalgaları üzerine bindirilmekte ve ISK daki alıcı istasyona gönderilmektedir. Alıcı istasyonda taşıyıcı dalgaların arındırılan sinyaller manyetik band üzerine kaydedilmektedir. Manyetik bandların geriçalma (playback) ünite sine verilmesi ile, üzerindeki sinyaller demodüle edilerek analog sinyal haline dönüştürülerek ve üniteye bağlı ossilograf (kayıtçı) yardımı ile kağıt üzerine kaydedilmektedir. Ayrıca sinyalin kayıtçuya girmeden önce filtrelerden geçirilip, istenilen kesme frekanslarında filtre edilmesi sağlanabilmektedir. Bu filtrelerin yüksek-geçiş ve alçak-geçiş atenüasyonu 24 dB/oktav dır.

Kayıtçı sisteminde kayıt hızı 1.5, 3, 6 ve 15 mm/sn. olarak değiştirilebilmektedir. 16 kayıt kanalına sahip olansistemde her bir kanala bağlı amplifikatörler vasıtasıyla muhtelif büyütmeler elde edilebilmektedir. Genellikle amplifikatörlerin duyarlıkları 10, 2.5, 1 ve 0.25 volt/cm. olmak üzere 4 kademe arasında değiştirilmekte ve böylece büyütme değerleri 40 katına kadar artabilmektedir. Şekil 3 de sistemin 1 volt/cm. için olan büyütme eğrisi verilmiştir. Ayrıca muhtelif band-geçişli filtrelerin kullanımındaki eğri durumları da gösterilmiştir. (kesikli çizgi ile verilen eğriler).

TABLO 1

| | |
|-----|---|
| ISK | <p>Coğrafi koordinatları : 41.06°Kuzey - 29.06°Doğu Yükseklik : 132 m. Zemin : Kalkerli şist</p> <p>İstanbul boğazının Anadolu kıyısı üzerinde, boğaz kıyısına uzaklığı 200 m., Karadenize uzaklığı 20 KM. kadardır. Şehir merkezinden ve trafiği yoğun şoseden 5 km., sahil yolundan ise 150 m. uzaklıktadır. Sismometrenin bulunduğu bina yüksek ağaçlı bir koru içinde yer almaktadır.</p> |
| CTT | <p>Coğrafi koordinatlar : 41.15°Kuzey - 28.43°Doğu Yükseklik : 324 m. Zemin : Kumtaşısı</p> <p>Karadenize 20 km. ve Marmara denizine 10 km. uzaklıktadır. Çatalca'ya uzaklığı 3 km. olup, 600 m. kadar uzaklıkta Elbasan köyü, 1 km. uzaklıkta bir taş fabrikası yer almaktadır. Şoseden uzaklığı 3.5 km. kadardır. Sismometreye 10 m. uzaklıkta jeneratör (elektrik kesintisi olduğu zaman çalışan), 2-3 m. uzaklıkta ise PTT nin anten pilonu yer almaktadır, bu saha kısa bir çit ile çevrilmiştir.</p> |
| MFT | <p>Coğrafi koordinatlar : 40.79°Kuzey - 27.28°Doğu Yükseklik : 924. m. Zemin : Fliş</p> <p>Marmara denizine 5 km., Tekirdağ'a 25 km., Mürefte'ye 15 km. uzaklıktadır. Sismometreye 15 m. uzaklıkta polis anten pilonu bulunmakta ve 100 m. kadar aşağıda yüksek çalı toplulukları yer almaktadır.</p> |
| KLT | <p>Coğrafi koordinatlar : 40.64°Kuzel - 30.10°Doğu Yükseklik : 1601 m. Zemin : Kireçtaşısı</p> <p>Sapanca gölüğe 10 km., Adapazarı'na 25 km. ve civar köylere 5-6 km. uzaklıktadır. Sismometreye 100 m. uzaklıkta, tepede, sadece yayın zamanları çalışan bir jeneratör ve PTT anten pilonu yer almaktadır, yamaçtan aşağıya doğru 100 m. kadar ilerde orman başlamaktadır.</p> <p>Sismometre ISK da bina içinde olup, ana kayaya kadar inen bir beton pilye üzerine oturmaktadır. CTT, KLT ve MFT de ise, dışta olup, 50-100 cm. derinliğinde açılmış bir çukur içinde ana kaya üzerine oturtularak üzeri kapatılmıştır.</p> |

VERİLERİN ANALİZİ

Sismik gürültü spektrumlarında gece-gündüz ve farklı hava şartlarında değişimileri araştırmak için analiz edilecek kayıtlar yılın ve günün değişik zamanlarından seçilmiştir. Sismik gürültü seviyesinin araştırıldığı istasyonlar olan ISK, CTT, MFT ve KLT nin Şubat, Nisan ve Ekim aylarına ait, gece ve gündüz saatlerine raslayan, muhtelif kayıtları ele alınmıştır. 2-3 dakikalık bir süreyi kaplayan ve tipik gürültü örneği veren kayıt kısımları seçilmiş, deprem taşıyan veya aşırı gürültü gösteren istisnai durumlar dışında bırakılmıştır. Verilerin manyetik teyp üzerinde olması, istenilen sinyale ait muhtelif kayıtların elde edilebilmesine ve böylece basit ve çabuk bir spektral analiz şekli olan analog yöntemin uygulanmasına olanak vermiştir. Seçilen kayıtlar analog yöntemle analiz edilmek için band-geçişli filtrelerden geçirilmiştirlerdir. 1 oktav frekans aralığındaki bu filtrelerin düzenlemeleri aşağıdaki gibidir :

Frekans (Hz.)

- 0.2-0.4
- 0.4-0.8
- 0.8-1.6
- 1.6-3.2
- 3.2-6.4
- 6.4-12.8

Böylece 6 ayrı frekans aralığında filtre edilmiş kayıtların her bir 40-60 sn.lik kısımları içine düşen maksimum gürültü genliği ölçülecek yer hareketinin genliğine geçilmiş ve bunların aritmetik ortalamaları alınmıştır. Bu ortalama genliklerin frekans aralıklarının merkezlerine noktalamasıyla istasyonlara ait sismik gürültü spekstrumları elde edilmiştir.

GÜRÜLTÜ SPEKTRULARININ DEĞERLENDİRİLMESİ

Elde edilen sismik gürültü spektrumlarının değerlendirilmesinde, istasyonların gürültü seviyesi yönünden birbirleriyle mukayesesini yapılmış ve ayrıca her istasyon için sismik gürültülerin yılın ve günün farklı zamanlarına göre nasıl bir değişim gösterdiği araştırılmıştır. ISK ve CTT istasyonları için Nisan, Ekim ve Şubat aylarına ait sismik gürültü spektrumları, KLT için Ekim ve Şubat ayı spektrumları, MFT için ise yalnızca Nisanayına ait spektrumlar elde edilebilmiştir.

Şekil 4 a-e de sırasıyla Nisan, Ekim ve Şubat ayları için istasyonların gürültü spektrumları verilmektedir. Bu grafiklerden de görüldüğü gibi, gürültü eğrileri muhtelif frekanslarda seviye olarak birbirlerinden farklı olmalarına karşın, benzer bir şekil izlemektedirler. Genel olarak eğrilerde 5 Hz. e kadar olan değerler için frekansın artmasıyla gürültü genliğinin azaldığı, 5 Hz. in üstünde ise genliğin arttığı görülmektedir. Ayrıca ISK her 3 ayda da, bılıhassa 4 Hz. den küçük frekanslarda, diğer istasyonlardakinden yüksek bir gürültü seviyesi göstermektedir.

Ele alınan aylar için elde edilen istasyon spektrumlarının bir-biri arasında mukayesesini şu sonuçları vermektedir :

a) Nisan ayında en düşük gürültü seviyesi CTT de gözlenmektedir. MFT spektrumu orta frekanslarda CTT nin 1.5-2.5 kat üstünde yer almaktır ve yüksek frekanslarda CTT spektrumuna yaklaşmaktadır. 2 Hz. den küçük frekanslarda ISK ye MFT spektrumları arasında büyük fark yoktur. 2 Hz. den büyük frekanslarda ise ISK gürültü seviyesi MFT nin kinden 1.5-4 kat kadar yüksektir.

b) Ekim ayında, 2 Hz. den küçük frekanslarda, KLT ve CTT gürültü seviyeleri arasında büyük bir fark yoktur. Bu frekansın üstünde ise, CTT gürültü seviyesi KLT ninkine nazaran 1.5 kat kadar artış göstermektedir. ISK spektrumu 4 Hz. den küçük frekanslarda KLT ve CTT ninkinden 1.5-3 kat kadar yüksektir.

c) Şubat ayında da, 2 Hz. den küçük frekanslarda, KLT ve CTT gürültü seviyeleri hemen hemen aynı olup; ISK 1.5-4 kat kadar bunların üstünde yer almaktadır. 3 Hz. den büyük frekanslarda CTT en yüksek gürültü seviyesini göstermektedir. Bu frekanslar için CTT seviyesi KLT ninkinden 1.5-5 kat kadar, ISK ninkinden ise 1.5-3 kat kadar yüksektir.

Şekil 5 a-d de ise, ele alınan istasyonlar için farklı zamanlarda elde edilen spektrum eğrileri birlikte gösterilmiştir. Böylece bu istasyonlardaki gürültü seviyelerinin senenin farklı aylarına ve gece-gündüz durumuna bağlı olarak nasıl bir değişim gösterdiğini izlemek mümkün olmaktadır. Şöylediki;

a) ISK spektrum eğrileri incelendiğinde; Nisan, Ekim ve Şubat gürültü seviyeleri arasındaki büyük farkın 2 Hz'den küçük frekanslarda olduğu görülmektedir. Bu frekanslar için Ekimdeki gürültü seviyesi Nisanından 4-5 kat kadar yüksektir. Şubat ayında seviye daha da yükselmekte ve Ekim ayındaki 2-2.5 katı olmaktadır. Böylece alçak frekanslarda Şubat ayı gürültü seviyesi Nisan ayına nazaran 8-10 kat yüksektir. 2 Hz'in üstündeki frekanslarda spektrumlar arasında büyük bir farklılık gözlenmemiştir. Ancak yüksek frekanslarda gündüz kayıtları gece alınan kayıtlara nazaran daha yüksek gürültü genliği vermişlerdir. Yüksek frekanslarda gündüz saatlerindeki gürültü seviyesi geceninkinden 2-3 kat fazladır.

b) CTT spektrumlarında da en alçak gürültü seviyesi Nisan ayında olup, Ekim ve Şubat aylarına gittikçe artma gözlenmektedir. Ekim ayında alçak frekanslardaki gürültü seviyesi Nisan ayına nazaran 3-4 kat fazla iken, yüksek frekanslara doğru bu fark azalmaktadır. Şubat gürültü seviyesi Ekiminden yüksektir ve aradaki fark yüksek frekanslarda daha belirgin olup, bilhassa 5 Hz. in üstünde, 3-4 kata ulaşmaktadır. Böylece Şubat ayı bütün frekanslarda Nisan ayına nazaran oldukça fark göstermekte, 4-9 kat civarında seviye artışı izlenmektedir.

c) Yalnızca Ekim ve Şubat spektrumlarının elde edildiği KLT de Şubat ayı gürültü seviyesi Ekiminden 2 kat kadar yüksektir.

SONUÇ :

Istasyon gürültü spektrumu eğrileri bölgesel karakteri yansitan benzer bir şekil göstermektedirler. 5 Hz. e kadar genliğin frekansla azalığı, 5 hz. in üstünde ise arttığı izlenmiştir. 2 Hz. den küçük frekanslar için genliğin frekansla azalması bütün istasyonlarda hemen hemen aynı olup, eğimi -2 olan bir doğru ile tanımlanabilir.

Spektrum eğrileri arasındaki en belirgin farklılık gürültü seviyesindedir. Eğrilerde, bilhassa alçak frekanslarda görülen bu seviye farklılığının en önemli etkeninin hava durumundaki değişimler olduğu söyleyebilir. Nitekim analiz edilen kayıtlar içinde; en yüksek gürültü seviyesini Şubat ayı spektrumları, en düşük seviyeyi ise Nisan ayı spektrumları göstermiştir. Nisan ayı spektrumları havanın sakin olduğu günlere ait kayıtlardan elde edilmişlerdir. Şubat ayına ait kayıtlar ise Marmara üzerinde bir sıklen alanının bulunduğu zamana raslamıştır.

Spektrum eğrilerinin istasyonlar arasında mukayesesi istasyon yerlerinin özelliklerini yansımaktadır. Örneğin, ISK gürültü seviyesi 4 Hz. in altındaki frekanslarda diğer istasyonlarından yüksektir. Bu durum, İstanbul boğazı kıyısında yer alıp, denize en yakın istasyon olmasının bir sonucudur. Zira alçak frekanslı gürültüler büyük ölçüde denizdeki dalgalarдан kaynaklanır. Şubat ayında CTT gürültü spektrumlarının 2 Hz.den yüksek frekanslarda büyük artış göstergeleri, sismometreye 2-3 m. uzakta bulunan PTT anten pilonu üzerindeki rüzgar etkisinden ileri gelebilir. Zira siklon etkisindeki bölgede rüzgar hızı 18 Şubatta 8-10 m/sn., 20 Şubatta ise 10-14 m/sn. dir.

Gündüz ve gece arasındaki seviye değişimleri araştırıldığında, en belirgin farklılık ISK için elde edilmiştir. ISK şehir içinde yer aldığından, gündüz artan şehir ve endüstri etkinlikleri, bu saatlerde yüksek frekanslardaki gürültü seviyesinin geceye nazaran 2-3 kat yükselmesine neden olmaktadır.

Batı Anadolu ve bilhassa Marmara bölgesindeki deprem etkinliğinin izlenmesinde MARNET istasyonları önemli rol oynamaktadır. MARNET istasyonlarında kaydedilen Batı Anadolu depremlerine ait P dalgası

frekansı 2-8 Hz. arasındadır. Zayıf başlangıçlı depremlerde, bilhassa Pn varyansları için, deprem başlangıcının sismik gürültülerle bozulmuş olmasına çok raslanılmaktadır. Fırtınalı günlerde, bilhassa kış aylarında ve deniz kıyısına yakın yerlerde, alçak frekanslı sismik gürültüler deprem kayıtlarını değerlendiremeyece hale getirirler. Diğer taraftan yerel rüzgar etkisi yüksek frekanslı gürültülere neden olduğu gibi, trafik ve endüstri etkinliklerinin yüksek olduğu durumlarda da, bunların oluşturduğu yüksek frekanslı gürültüler kaydı bozucu rol oynar. Örneğin İstanbul boğazından ağır tonajlı gemilerin geçmesi sırasında, gemi pervanesinin hareketinin doğurduğu etki 10 Hz. e kadar çökabilen gürültüler hasıl ederek bazen 1-2 dakikaya varan sürelerde kaydı bozmaktadır.

Sismik gürültülerin deprem kayıtlarındaki bozucu etkisini mümkün olduğu kadar azaltmak için bazı yöntemler kullanılabilir. Örneğin; alet büyütmesinin gürültü genliğini belli bir seviyede tutacak şekilde ayarlanması, aletin maksimum büyütmesinin gürültü spektrumunun minimum yaptığı frekanslar arasına gelmesini sağlayacak düzenlemelerin yapılması, filtreler kullanmak suretiyle bir kısım gürültülerin kayıtlardan kaldırılması gibi.

Şekil 6, 7 ve 8 de ISK ve CTT istasyonlarına ait yüksek seviyede sismik gürültü taşıyan ve bu nedenle deprem başlangıçları belirsiz olan kayıtların band-geçişli filtrelerden geçirilmesiyle ilgili örnekler verilmektedir. Bu şekillerde üstte orijinal kayıt, altta ise depremi 2-8 Hz. band-geçişli filtreden geçirerek alınmış kayıt görülmektedir. Band-geçişli filtrenin kullanılmasıyla 2 Hz. den küçük ve 8 Hz. den büyük frekanslardaki gürültüler kayıtlardan kısmen kaldırılmış olmakta ve böylece deprem başlangıçlarının belirgin hale gelmesi sağlanmaktadır.

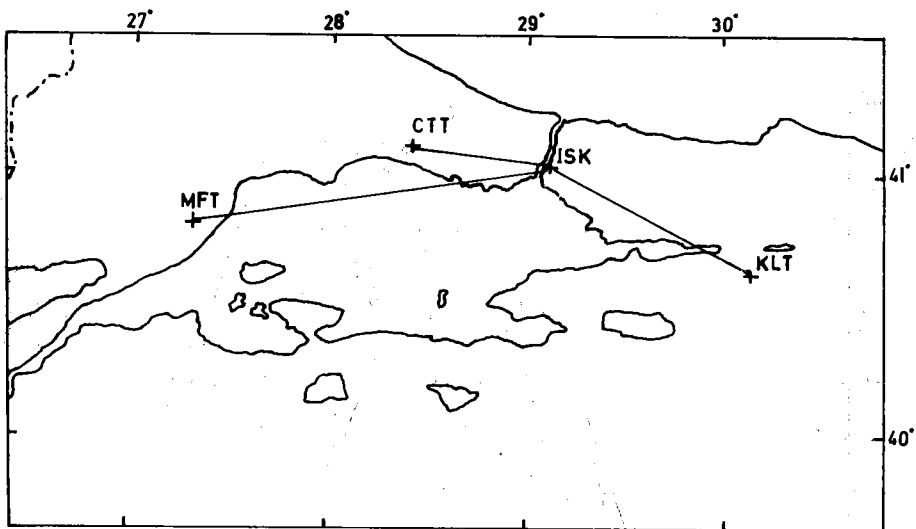
Marmara bölgesi için mikroseism seviyesindeki önemli artışlar çoğunlukla siklon sistemleriyle ilgili olarak görülürler. Bu siklonlar genel olarak İtalya ve Adriyatik denizinden doğup, Yunanistan üzerinden Batı Türkiye'ye gelirler ve en fazla kış aylarında oluşurlar. Böylece kış aylarında siklon ve kıyı etkisinin verdiği 1 Hz. den küçük frekanslardaki yüksek genlikli gürültüler zaman zaman kayıtları kaplayarak mikroseism fırtınası denilen görüntüler hasıl ederler. Bu nedenle

MARNET istasyonlarında, kış aylarında mikroseismlerin maskelediği bölgelerde deprem başlangıçlarını yakalayabilmek için 1 Hz. den küçük frekansları kayıtlardan kaldırın yüksek geçişli filtreler kullanılabilir. Ancak alçak frekansların kaldırılmasının yanı sıra, zaman zaman artan yapay ve doğal kaynaklı yüksek frekanslı gürültülerin etkisini de azaltacak şekilde band geçişli filtrelerin kullanılması daha uygun olur. Önemli olan husus filtre aralığının depremi bozmayacak, bilhassa başlangıcını yok etmeyecek, şekilde seçimidir. Yukarıda örnekleri verilen 2-8 Hz. band-geçişli filtre kullanımı oldukça iyi neticeler vermektedir. Sakın günlerde, çoğunlukla ilk bahar ve yaz aylarında, alçak frekanslı gürültü seviyesi düşük olduğundan yalnızca alçak geçişli, örneğin 8 Hz. den küçük frekansları geçiren, filtre kullanımı yeterli olabilir.

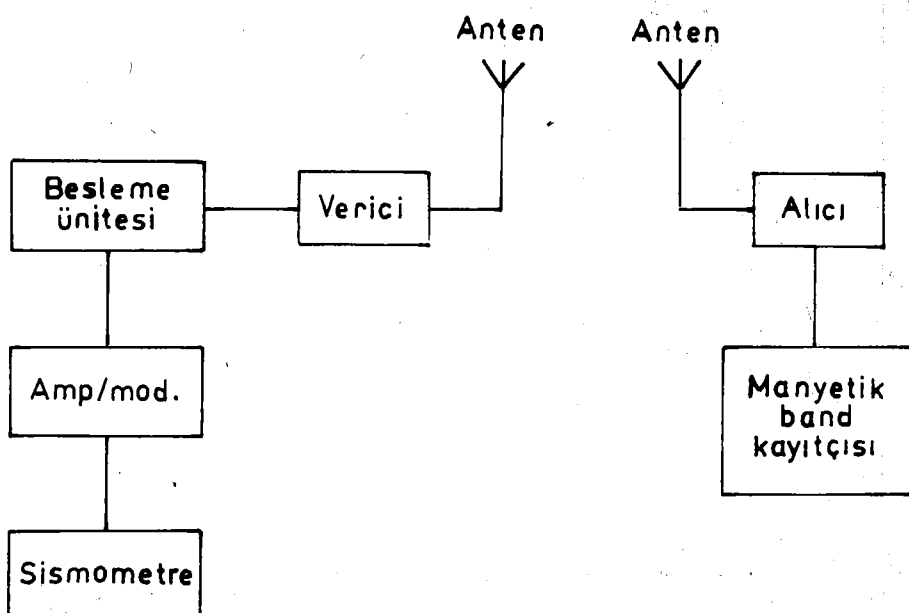
YARARLANILAN KAYNAKLAR

- Bath, M. (1973). "Introduction to Seismology" Birkhauser Verlag, pp.96-100.
- Brune, J.N. and J.Oliver (1959). "The seismic noise of the Earth's surface" B.S.S.A., Vol. 49, No.4, pp.349-353.
- Crampin, S., R.W. McGenigle and P.C. Marrow (1971). "Seismic noise measurements in the Balkans, December 1970 to February 1971" Inst. Geol. Sci. Geophys. Div., Report No. 6.
- Donn, W.L. (1966). "Microseisms" Earth-Sci. Rev., 1, pp.213-230.
- Frantti, G.E., D.E. Wilis and J.T.Wilson (1962). "The spectrum of seismic noise" B.S.S.A., Vol.52, No.1, pp.113-121.
- Frantti, G.E. (1963), "The nature of high-frequency Earth noise spectra" Geophysics, Vol. XXVIII, No.4, pp.547-562.
- Kulhanek, O. (1967). "Seismic noise filtering using digital computers" Travaux Geophysiques, Vol. XV, pp.255-283.
- Kulhanek, O. and M. Bath (1972). "Power spectra and geographical distribution of short-period microseisms in Sweden" Pure and applied Geophysics, Vol. 94, II, pp.148-171
- Luesto, U. (1976)."Short period seismic noise variations in Southern Finland" Geophysica, Vol. 14, No.1, pp.111-121.

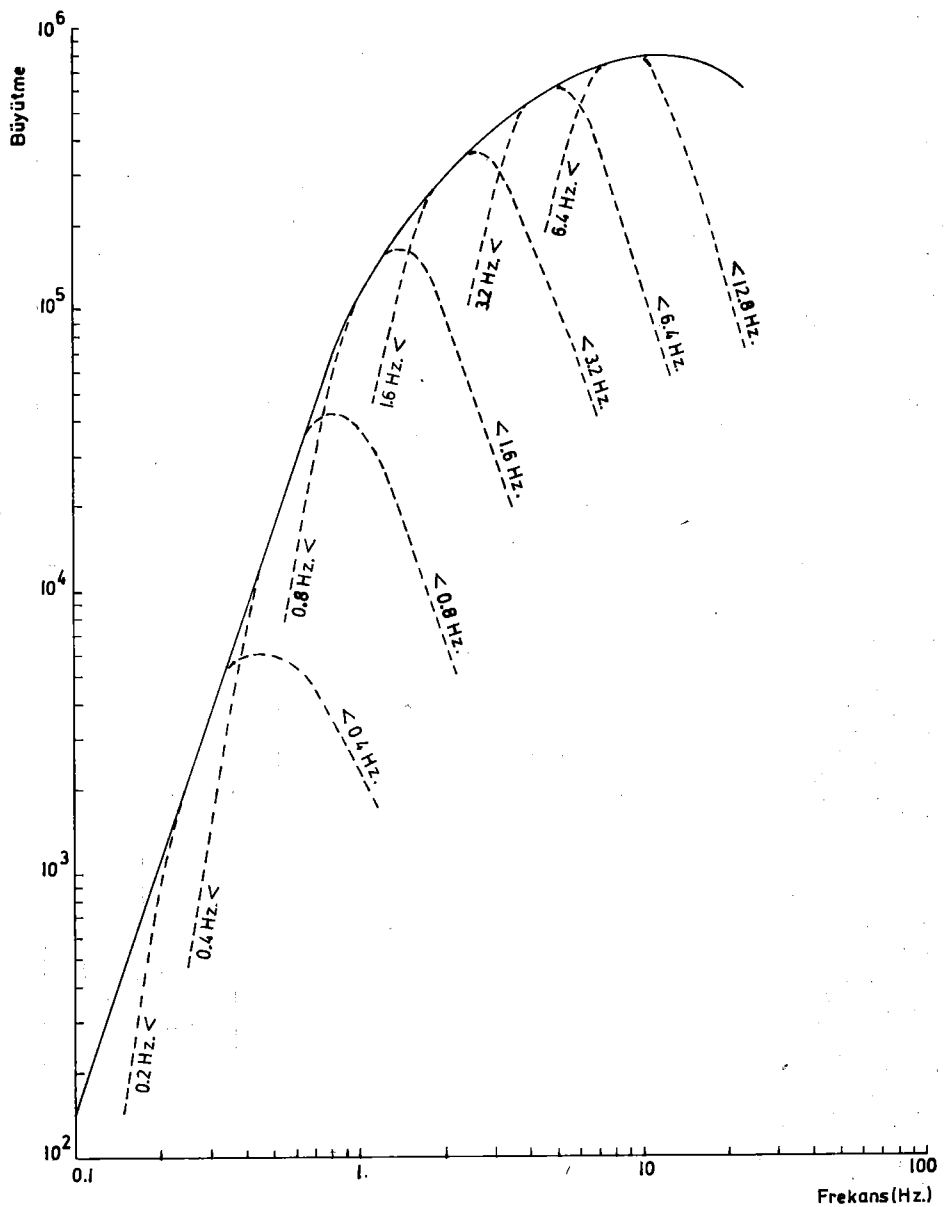
- Pirhonen, S.E., U. Luesto (1977). "Spectral observations on artificial seismic noise in Southern Finland" Publ. Inst. Geophys. Pol. Acad. Sc., A-5 (116), pp.35-43.
- Plesinger, A. (1974). "Seismic noise at 2 Hz. in Europe" J. Geophys. 40, pp.131-136.
- Radu, C., W. Tobyas (1965). "Short period seismic noise at seismic stations in Rumania" Travaux Geophysiques, Vol. XIII, pp.351-364.
- Richter, C.F. (1973). "Elementary Seismology" W.H. Freeman and Company, pp. 375-378.
- Tsujiiura, M. (1967). "Frequency analysis of seismic waves" B.E.R.I., Vol. 45, part 4, pp.973-995.



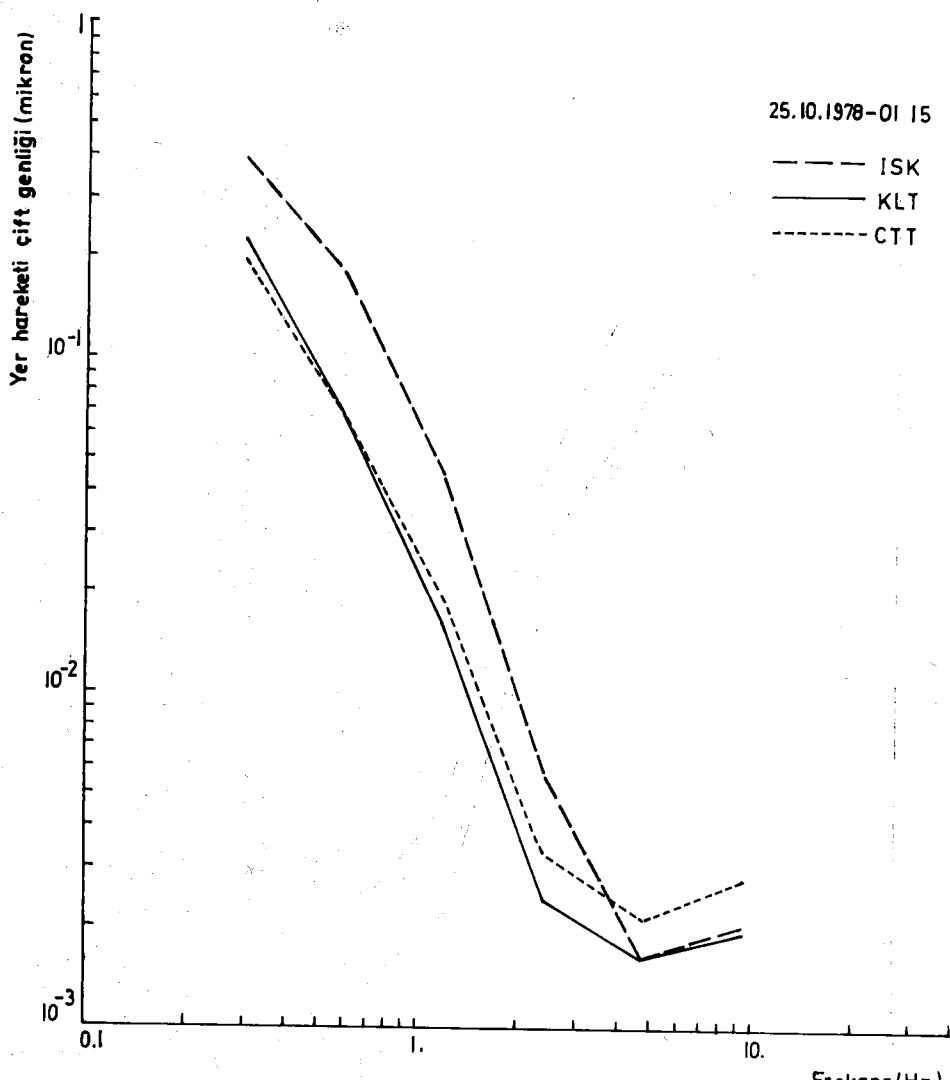
Şekil 1. İstasyon yerleri.



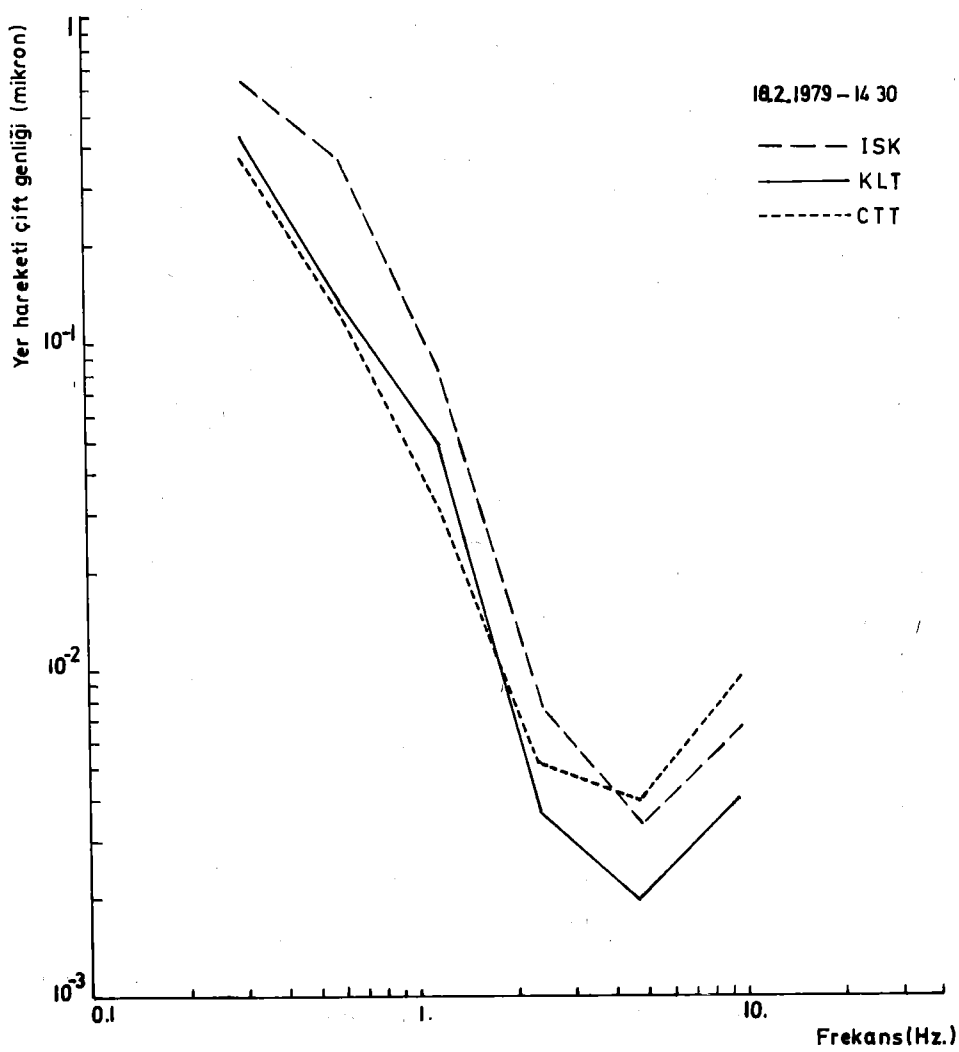
Şekil 2. Marnet blok diyagramı



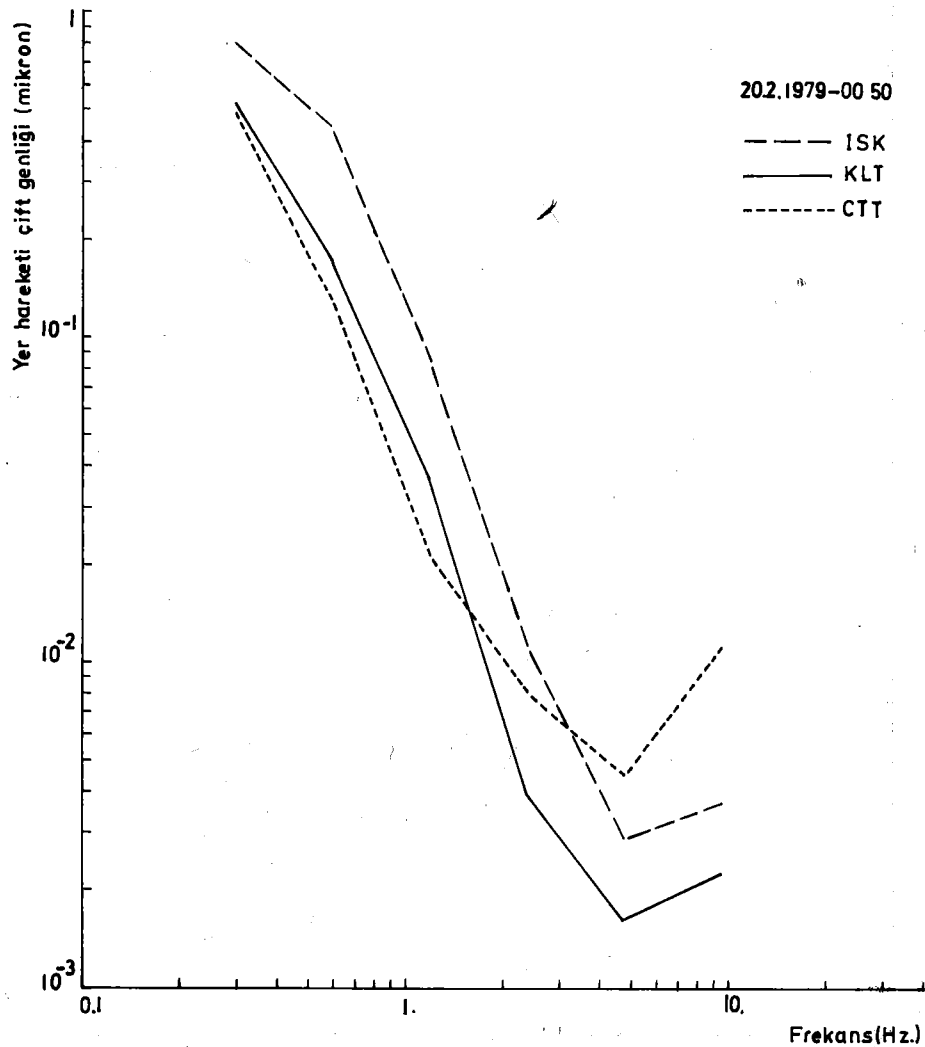
Şekil 3. Büyütme eğrisi ve muhtelif filtre düzenlemeleri
kullanımındaki eğri durumları



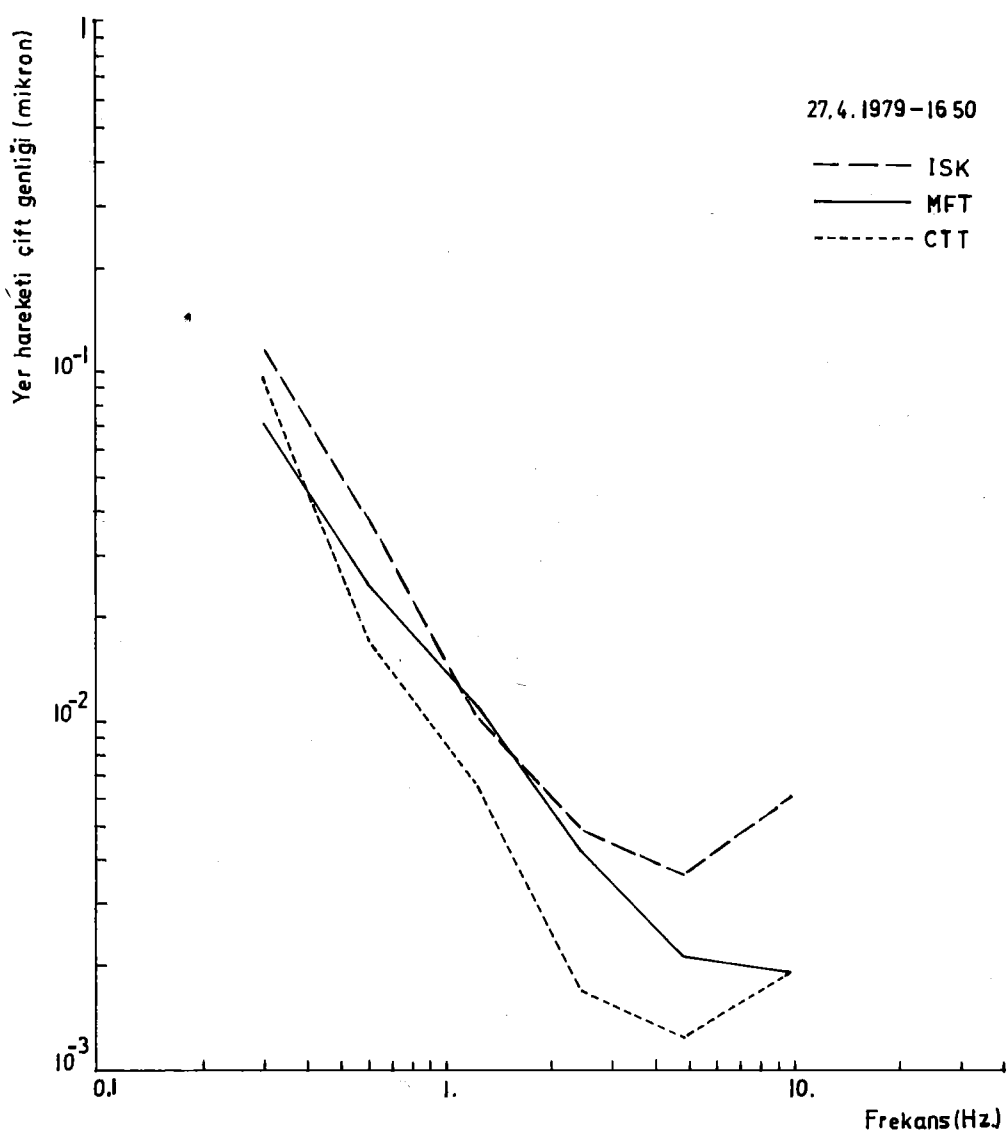
Şekil 4a. Sismik gürültü spektrumları



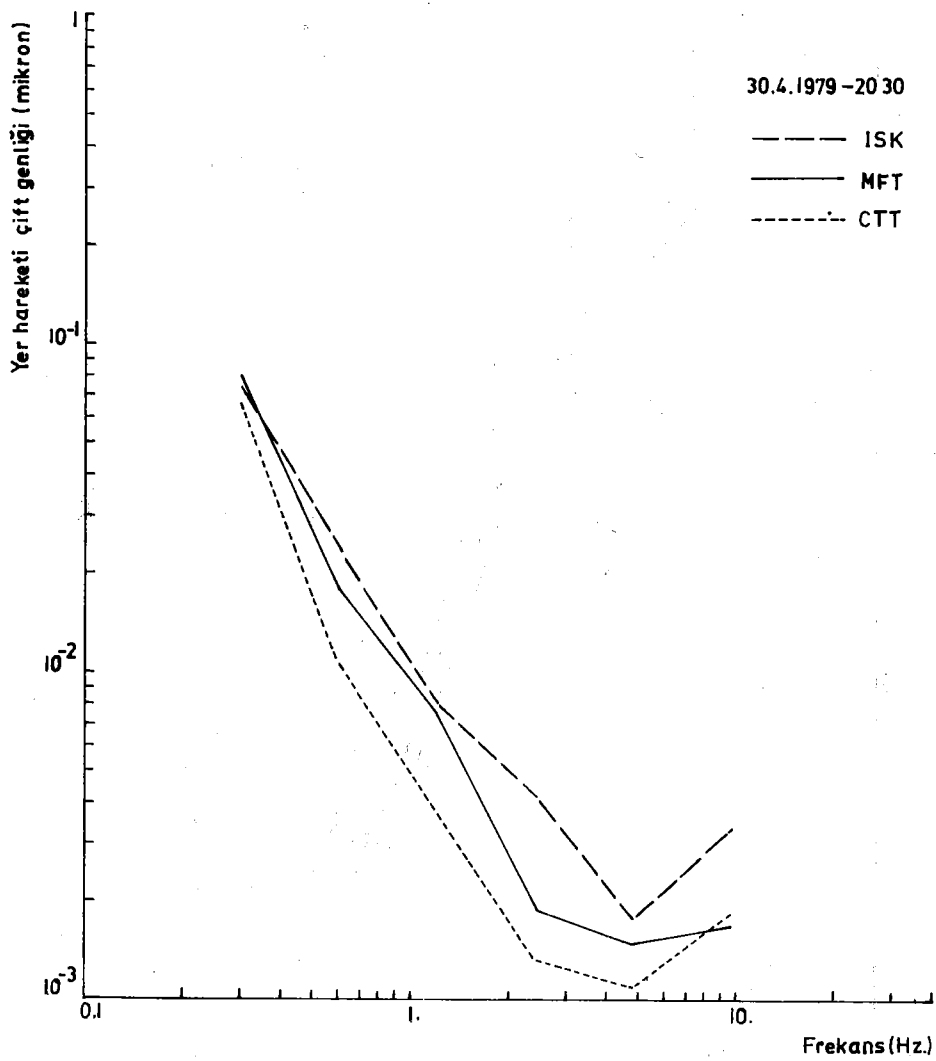
Şekil 4b. Sismik gürültü spektrumları



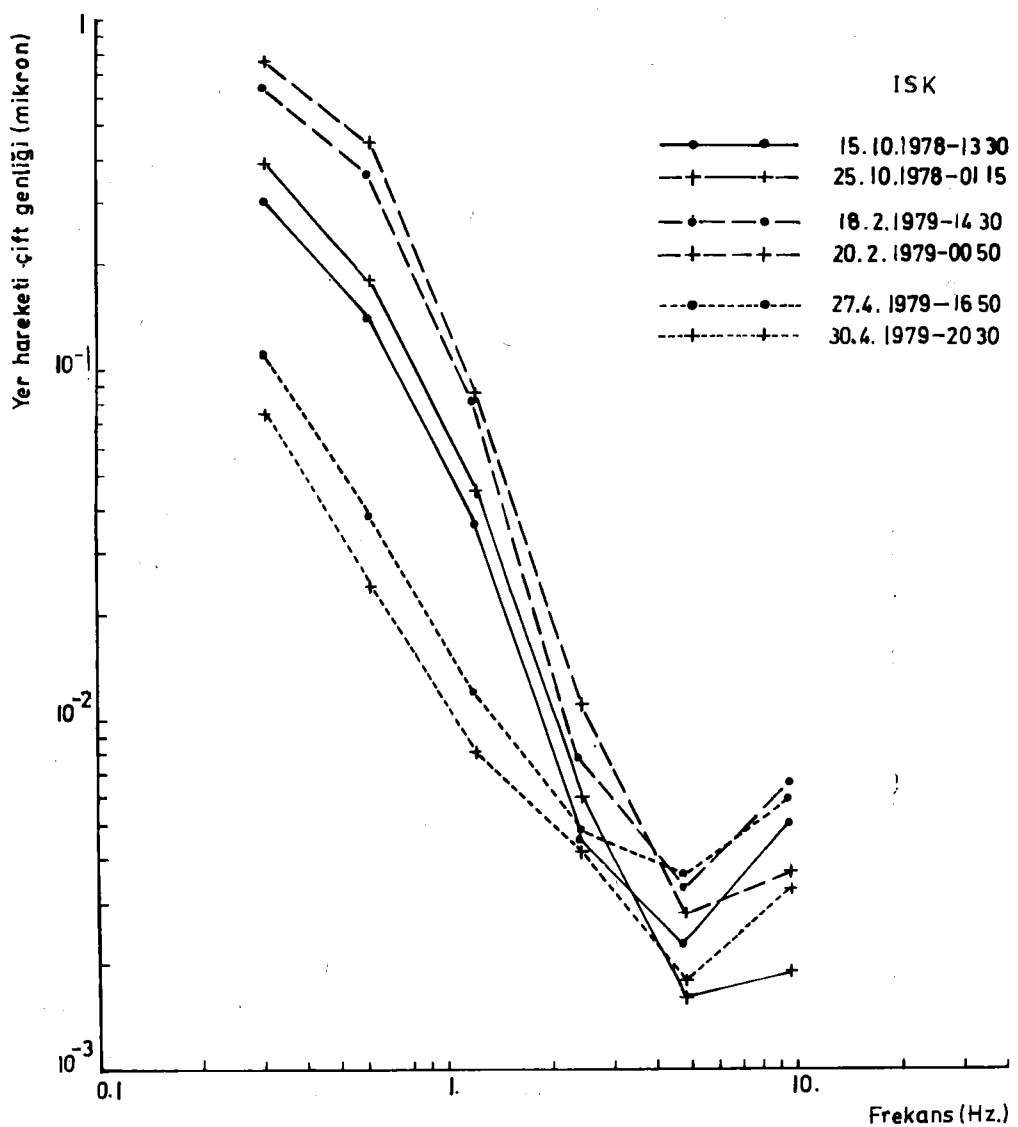
Şekil 4c Sismik gürültü spektrumları



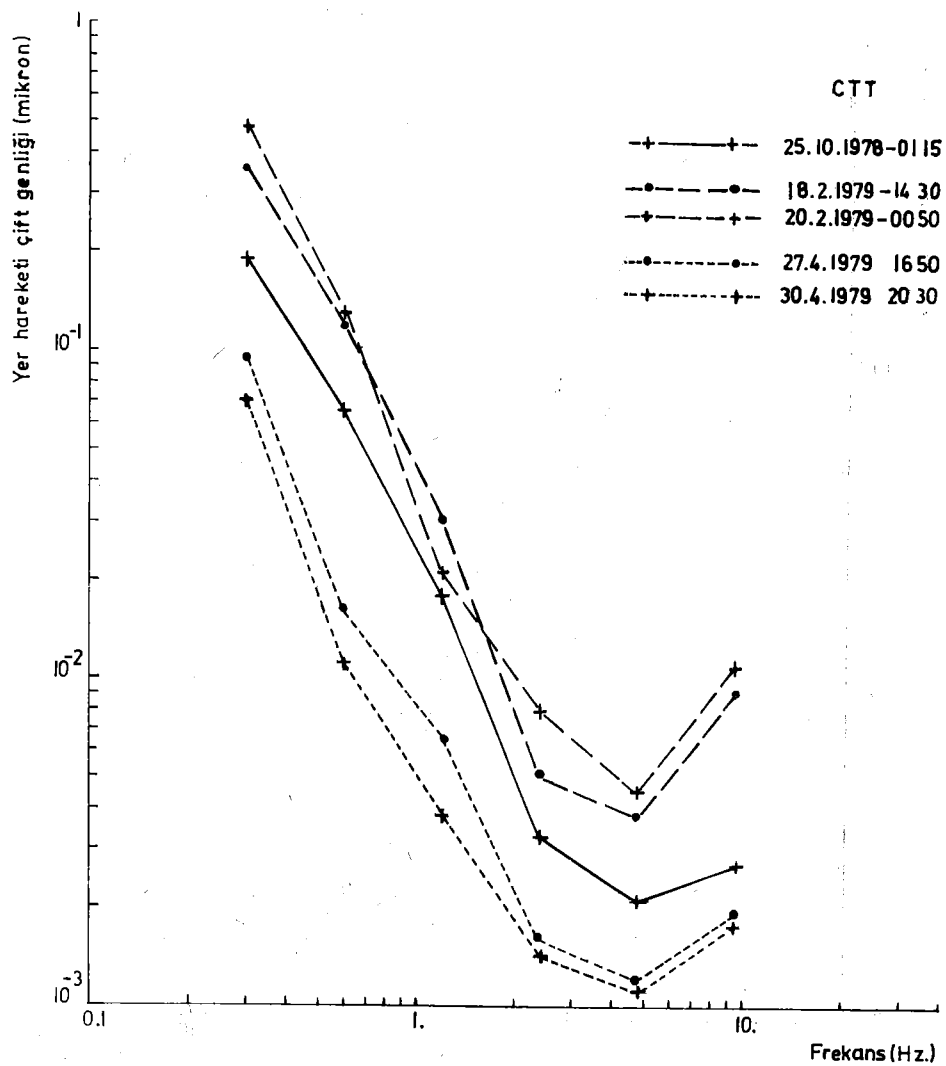
Şekil 4d. Sismik gürültü spektrumları



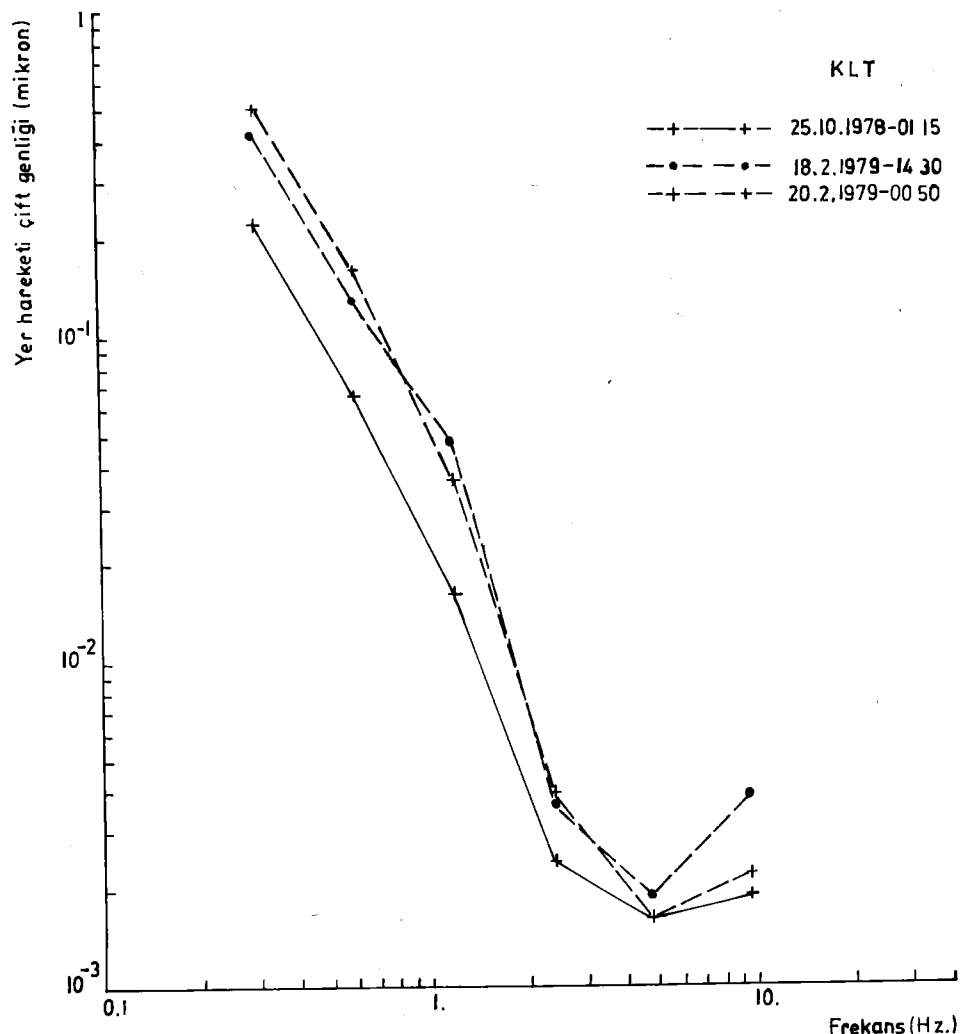
Şekil 4e. Sismik gürültü spektrumları



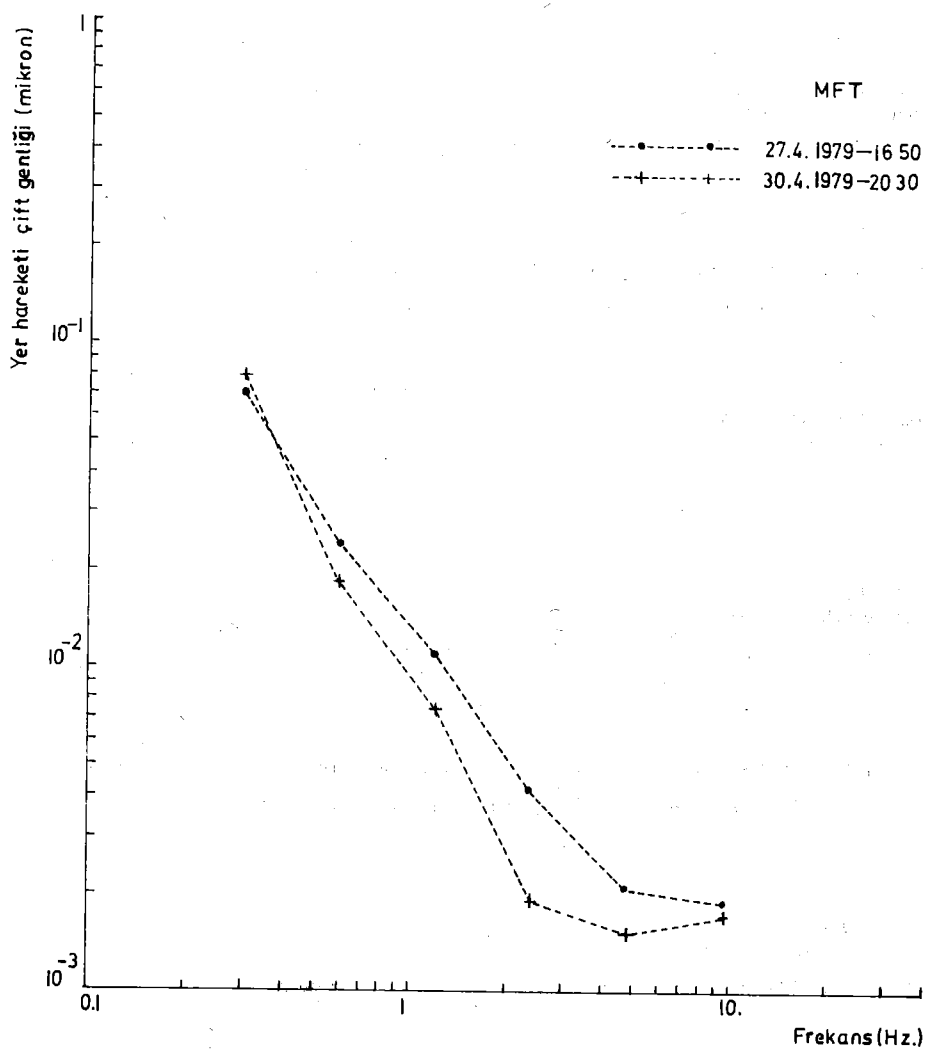
Sekil 5a. Sismik gürültü spektrumları



Şekil 5b. Sismik gürültü spektrumları



Şekil 5c. Sismik gürültü spektrumları



Şekil 5d. Sismik gürültü spektrumları

ISK 20.2.1979 - 12 08

Orijinal kayıt



ISK 20.2.1979 - 12 08

Filtre edilmiş kayıt



Şekil 6. 2-8 Hz. band-geçişli filtre kullanmak suretiyle ISK istasyonuna ait bir kaydın sismik gürültülerden arındırılması

ISK 8.3.1979 - 17 02

Orijinal kayıt



ISK 8.3.1979 - 17 02

Filtre edilmiş kayıt



Şekil 7. 2-8 Hz. band-geçişli filtre kullanmak suretiyle ISK istasyonuna ait bir kaydın sismik gürültülerden arındırılması

CTT 19.2.1979 - 19 20

Orijinal kayıt



CTT 19.2.1979 - 19 20

Filtre edilmiş kayıt



Şekil 8. 2-8 Hz. band-geçişli filtre kullanmak suretiyle CTT istasyonuna ait bir kaydın sismik gürültülerden arındırılması

ÇERÇEVE TAŞAYICI SİSTEMLERİN YATAY YÜK ETKİSİ ALTINDA HESABI

içİN BİR BİLGİSAYAR PROGRAMI

M.Ruhi AYDIN (*)

Zusammenfassung

Ein Programm zur Berechnung der mehrstöckigen Rahmensysteme unter der Wirkung der waagerechten Lasten.

In diesem Artikel wurde ein Programm in Programmierungssprache BASIC, zur Berechnung der mehrstöckigen Rahmensysteme unter der Wirkung waagerechten Lasten erläutert.

Die Matrixmethoden brauchen direkte Lösung des Gleichungssystems. Mit der grossen Zahl der Unbekannten ist die Maschinenkapazität nicht immer ausreichend. Lösungen durch Iteration sind auch möglich. In diesem Fall wird die Rechenzeit erheblich gross, ausserdem kann die Lösung bei der mehrstöckigen Rahmen divergent werden.

Im Folgenden ist unter der Berücksichtigung der vorberechneten Anfangswerte ein Iterationsprogramm gegeben. Die Anwendung der Anfangswerte kürzt die Rechenzeit. Ausserdem, wegen Iterationsverfahren, kommt man mit weniger Kapazität des Rechners aus.

(*) Doç. D.M.M.A. Eskişehir

1. Giriş: Çerçeve taşıyıcı sistemlerin yatay yük etkisi altında hesabı için iyi sonuçlar veren yaklaşık yöntemler geliştirilmiştir. (1,2,3). Buna rağmen bütün bir yapı için yöntemlerin uygulanması gene de vakit alıcı olmaktadır.

Bilgisayar kullanımının yaygınlaşması ile çözümlerin bilgisayarlarla yapılması çeşitli nedenlerle tercih edilir olmuştur. Kolaylık, hesap süresini kısaltı, hesapların kesin olması gibi nedenler bu tercih nedenlerinin başında gelir. Yapıların bilgisayarlarla hesabı için literatürde çeşitli yöntemler mevcuttur (4,5,6). Ancak bunların hepsi denklem çözümüne dayandığından belirli kat sayısı ve belirli düğüm noktası sayısından itibaren makinanın kapasitesi zorlanır.

İterasyon yöntemleri ile çözümde ise özellikle kat sayısının fazla olması hallerinde iterasyon sayısı oldukça artmaktadır. Bunun sonucu olarak makina kullanım süresi, dolayısıyla hesap maliyeti artar. Hatta kalan atalet momentlerinin kırış atalet momentlerine oranının büyük değerler olması halinde iterasyonun ıraksak olma ihtimali bile mevcuttur.

Bu yazında belli başlangıç değerleri almak suretiyle çerçeve taşıyıcı sistemlerin iterasyon yoluyla hesabına ait BASIC programlama dilinde bir bilgisayar programı sunulmaktadır.

Program kullanıldığından kapasite zorlanması ile karşılaşılmadığı gibi başlangıç değerleri ile iterasyon yapıldığından hesap süresi de oldukça kısaltmaktadır.

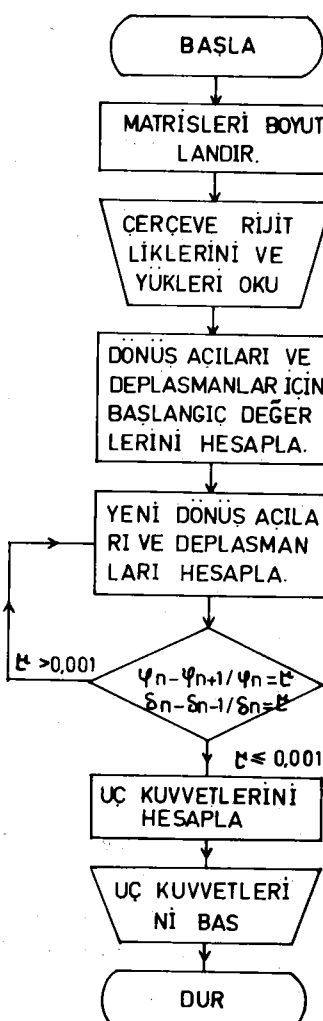
2. Programın Akış Şeması: Literatür (3) de çerçeve sistemlerin yatay yükler etkisi altında hesabı için bazı kabullerle dönüş açıları ve kattaki relatif deplasmanlar için denklemler elde edilmiştir. Bu denklemler kullanılarak başlangıç değerleri seçilmekte ve açı metodu denklem takımları uygulanarak dönüş açıları ve deplasmanlar için iterasyon yapılmaktadır. (3) de düğüm dönüş açıları her katta ayrı ayrı hesaplanmaktadır. Dolayısıyla bir düğüm noktasında o düğüm noktasının üstündeki ve altındaki kattan hesaplanan iki dönüş açısı değeri hesaplanmaktadır. Başlangıç değeri bu iki değerin ortalaması seçilmektedir.

Açı metodu denklem takımlarının uygulanmasında her büyülüük he-

saplanırken diğer büyüklükler için (dönüş açıları ve deplasmanlar) bir önceki adımda bulunan değerler kullanılmaktadır. Bu suretle yeniden hesaplanan değerler ile bir önceki adımda bulunan değerler arasında oran olarak 0,001 lik bir yaklaşım olduğundan iterasyona son verilmekte ve uç kuvvetlerinin hesabına seçilmektedir.

Değerlerin iki iterasyon adımdındaki farkının son bulunan değere oranının 0,001 olması şartının bütün dönüş açıları ve deplasmanlar için ayrı ayrı sağlanması programda göz önüne alınmıştır.

Akış şeması Şekil 1'de görülmektedir.



Şekil: 1

3. Programın Kullanılması:

3.1 Data veris sırası:

- a) Kat sayısı
- b) Kattaki kolon sayısı
- c) Alt kattan başlamak üzere kolon $K = J/l$ değerleri
- d) Alt kattan başlamak üzere kiriş $G = J/l$ değerleri
- e) Alt kattan başlamak üzere kat seviyelerindeki P yükleri.
Soldan sağa etki eden yükler pozitif alınmaktadır.
- f) Alt kattan başlamak üzere H kat yükseklikleri
- g) Kiriş L açıklıkları.

3.2 Sonuçların alınması:

3.2.1 Kolon uç momentleri: Her kat için kolonlara ait üst ve alt çubuk uç momentleri kolon K 'larının kattaki veriliş sırasına göre basılmaktadır.

3.2.2 Kiriş uç momentleri: Her kat için kirişlere ait sol ve sağ çubuk momentleri kiriş G 'lerinin kattaki veriliş sırasına göre basılmaktadır.

Momentler için saat dönüş yönü pozitif alınmaktadır.

3.2.3 Kolon kesici kuvvetleri: Her kat için kolonlara ait kesici kuvvetler kolon K 'larının veriliş sırasına göre basılmaktadır.

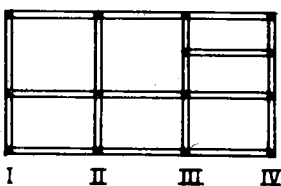
3.2.4 Kiriş kesici kuvvetleri: Her kat için kirişlere ait G 'lerin veriliş sırasına göre basılmaktadır.

Kesici kuvvetler için saat dönüş yönü pozitif alınmaktadır.

3.2.5 Kolon eksenel kuvvetleri: Her kat için kolon K 'larının kattaki veriliş sırasına göre basılmaktadır.

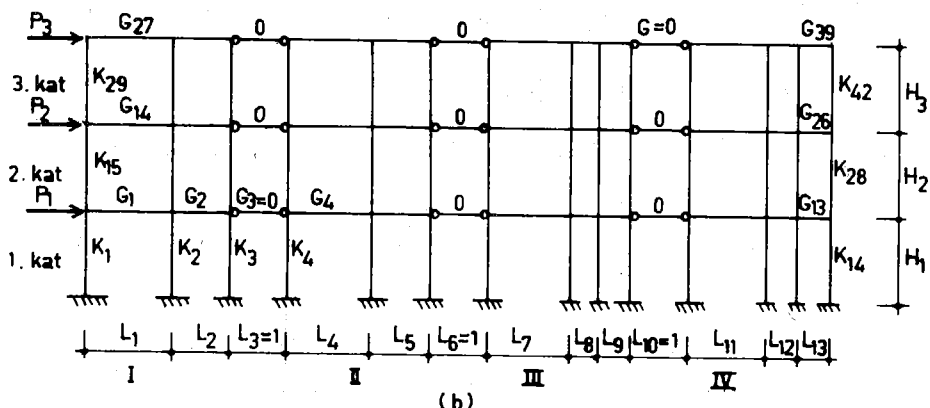
Eksenel kuvvetler için çekme (-), basınç (+) işaretleri ile alınmaktadır.

3.3 Programın yapının bütününe uygulanması: Şekil 2a'da planı verilen bir yapıya program uygulayabilmek için çerçeveler teker teker çıkarılıp yan yana dizilir ve çerçeveleri bağlayan fiktif kirişlere ait G değeri sıfır olarak verilir.(Şekil:2b). Daha sonra sistem Şekil 2b'deki sistem olarak kabul edilip 3.1'de belirtilen sıra ile data'lar verilir.



(a)

Kat sayısı = 3
Kolon sayısı = 4



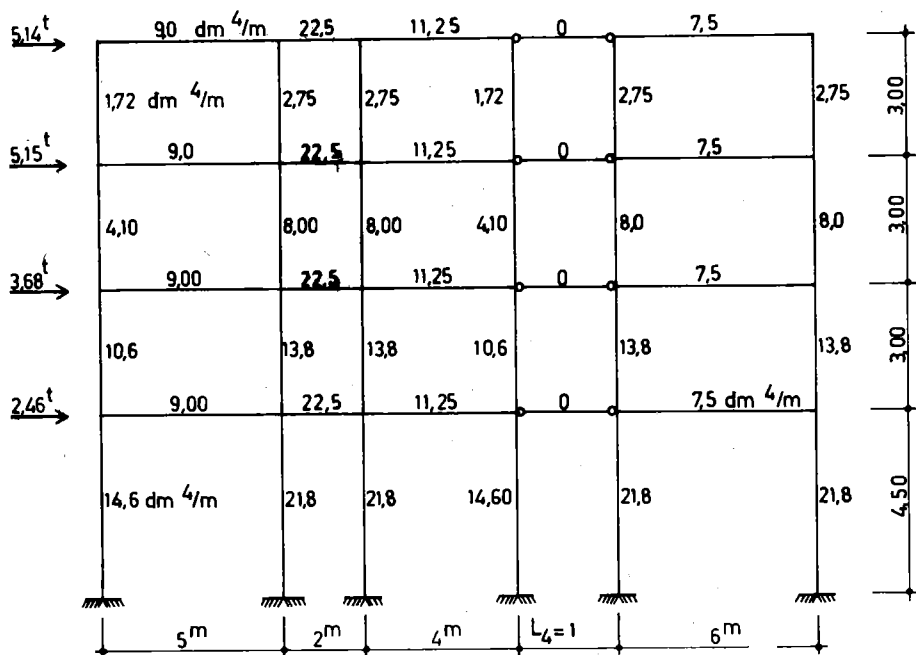
(b)

Şekil: 2

Çerçevenden çerçeveye geçerken fiktif kırıslara ait L açıklığı 1 olarak verilir.

4. Sayısal örnek: Şekil 3'deki çerçevenin gösterilen yükler için hesabı:

Datalar 3.1'de belirtilen sıra ile verilerek sonuçlar Şekil 4'de gösterilmiştir.



Sekil : 3

2240 DATA 4,6

2250 DATA 14.6,21.8,21.8,14.6,21.8,21.8

2260 DATA 10.6,13.8,13.8,10.6,13.8,13.8

2270 DATA 4.1,8,8,4.1,8,8

2280 DATA 1.72,2.75,2.75,1.72,2.75,2.75

2290 DATA 9,22.5,11.25,0,7.5

2300 DATA 9,22.5,11.25,0,7.5

2310 DATA 9,22.5,11.25,0,7.5

2320 DATA 9,22.5,11.25,0,7.5

2330 DATA 2.46,3.68,5.15,5.14

2340 DATA 4.5,3,3,3

2350 DATA 5,2,4,1,6

D

ITERASYON SAYISI= 6

KOLON UC MOMENTLERİ

| | | | | | | |
|--------|------------------|------------------|-------------------|------------------|------------------|------------------|
| 4 .KAT | -0.944 -0.842 | -1.784 -1.666 | -1.804 -1.694 | -0.995 -0.904 | -1.317 -1.078 | -1.317 -1.078 |
| 3 .KAT | -1.563 -1.324 | -4.258 -3.932 | -4.376 -4.064 | -1.734 -1.491 | -2.195 -1.869 | -2.195 -1.869 |
| 2 .KAT | -2.499 -2.092 | -5.957 -5.558 | -6.220 -5.832 | -2.922 -2.516 | -2.318 -1.839 | -2.318 -1.839 |
| 1 .KAT | -2.683 -5.615 | -7.131 -9.946 | -7.431 -10.096 | -3.074 -5.810 | -3.130 -7.945 | -3.130 -7.945 |

KIRIS UC MOMENTLERİ

| | | | | | | | | | | |
|--------|-------|-------|-------|-------|-------|-------|-------|-------|-------|-------|
| 4 .KAT | 0.944 | 0.696 | 1.087 | 1.052 | 0.752 | 0.995 | 0.000 | 0.000 | 1.317 | 1.317 |
| 3 .KAT | 2.405 | 2.006 | 3.918 | 3.820 | 2.249 | 2.638 | 0.000 | 0.000 | 3.273 | 3.273 |
| 2 .KAT | 3.823 | 3.264 | 6.626 | 6.489 | 3.795 | 4.413 | 0.000 | 0.000 | 4.188 | 4.188 |
| 1 .KAT | 4.776 | 4.131 | 8.560 | 8.405 | 4.858 | 5.591 | 0.000 | 0.000 | 4.970 | 4.970 |

KOLON KESİCİ KUVVETLERİ

| | | | | | | |
|--------|-------|-------|-------|-------|-------|-------|
| 4 .KAT | 0.595 | 1.150 | 1.186 | 0.633 | 0.798 | 0.798 |
| 3 .KAT | 0.962 | 2.730 | 2.813 | 1.075 | 1.355 | 1.355 |
| 2 .KAT | 1.530 | 3.839 | 4.017 | 1.813 | 1.386 | 1.386 |
| 1 .KAT | 1.844 | 3.795 | 3.895 | 1.974 | 2.461 | 2.461 |

KIRIS KESİCİ KUVVETLERİ

| | | | | | | |
|--------|--------|--------|--------|-------|--------|--|
| 4 .KAT | -0.328 | -1.069 | -0.437 | 0.000 | -0.439 | |
| 3 .KAT | -0.882 | -3.869 | -1.222 | 0.000 | -1.091 | |
| 2 .KAT | -1.417 | -6.558 | -2.052 | 0.000 | -1.396 | |
| 1 .KAT | -1.781 | -8.482 | -2.612 | 0.000 | -1.657 | |

KOLON EKSENEL KUVVETLERİ

| | | | | | | |
|--------|--------|---------|--------|-------|--------|-------|
| 4 .KAT | -0.328 | -0.741 | 0.633 | 0.437 | -0.439 | 0.439 |
| 3 .KAT | -1.210 | -3.728 | 3.280 | 1.658 | -1.530 | 1.530 |
| 2 .KAT | -2.628 | -8.868 | 7.785 | 3.710 | -2.926 | 2.926 |
| 1 .KAT | -4.409 | -15.569 | 13.656 | 6.322 | -4.582 | 4.582 |

Sekil: 4

EK 1 : PROGRAM

```
10 OPEN "pr;" AS FILE 1
20 ; #1 CHR$(29)
30 ; #1
40 REM KAT SAYISININ VE KATTAKI KOLON
50 REM SAYISININ OKUTULMASI
60 READ M,N
70 REM MATRIGLERIN BOYUTLANDIRILMASI
80 DIM K(M+1,N),G(M,N+1),P(M),Q(M),H(M+1),L(N-1)
90 DIM F(M+2,N+2),Y(M+1),S(M),Y1(M)
100 DIM C1(M,N),C2(M,N),C3(M,N),CS(M+2,N+2)
110 REM CERCEVE RIJITLIKLERİ,YÜKLER
120 REM VE ACIKLIKALARIN OKUTULMASI.
130 FOR I1=1 TO M
140   FOR J1=1 TO N
150     READ K(I1,J1)
160   NEXT J1
170 NEXT I1
180 FOR I6=1 TO M
190   F(I6,1)=0
200   F(I6,N+2)=0
210   G(I6,1)=0
220   G(I6,N+1)=0
230 NEXT I6
240 FOR R5=1 TO N
250   F(1,R5)=0
260   F(M+2,R5+1)=0
270   K(M+1,R5)=0
280 NEXT R5
290 FOR I2=1 TO M
300   FOR J2=2 TO N
310     READ G(I2,J2)
320   NEXT J2
330 NEXT I2
340 H(M+1)=1
350 FOR I3=M TO 1 STEP -1
360   READ P(I3)
370 NEXT I3
380 Q(1)=P(1)
390 FOR I7=2 TO M
400   Q(I7)=Q(I7-1)+P(I7)
410 NEXT I7
420 FOR I4=1 TO M
430   READ H(I4)
440 NEXT I4
450 FOR R4=1 TO N-1
460   READ L(R4)
470 NEXT R4
480 REM BASLATIC DEGERLERININ MESABI
490 FOR I8=1 TO M
500   S(I8)=0
```

```

510 NEXT I8
520 FOR I5=1 TO N
530   C1(I5,J5)=1/((G(I1,I5)+G(I1,I5+1))/K(I1,I5))+1.3333
540   C3(I1,I5)=1-C1(I1,I5)
550   S(I1)=S(I1)+K(I1,I5)*C3(I1,I5)+12/H(I1)^2
560 NEXT I5
570 Y(I1)=Q(M)/S(I1)
580 FOR I=2 TO M-1
590   FOR J=1 TO N
600     C1(I,J)=(((G(I-1,J)+G(I-1,J+1))/K(I,J))+.667)/(((G(I-1,J)+G(I-1,J+1))/K(I,J))+1.333)*(((G(I,J)+G(I,J+1))/K(I,J))+1.333)-.444
610     C2(I,J)=(((G(I,J)+G(I,J+1))/K(I,J))+.667)/(((G(I-1,J)+G(I-1,J+1))/K(I,J))+1.333)*(((G(I,J)+G(I,J+1))/K(I,J))+1.333)-.444
620     C3(I,J)=1-C1(I,J)-C2(I,J)
630     S(I,J)=S(I,J)+C3(I,J)*12/H(I)^2
640   Y(I)=Q(M-I+1)/S(I)
650 NEXT J
660 NEXT I
670 FOR JS=1 TO N
680   C1(M,JS)=((G(M-1,JS)+G(M-1,JS+1))/K(M,JS))+1/(((G(M-1,JS)+G(M-1,JS+1))/K(M,JS))+.667)*(((G(M,JS)+G(M,JS+1))/K(M,JS))+2)-.33
3)
690   C2(M,JS)=1-C2(M,JS)-.5*C1(M,JS)
700   S(M)=S(M)+K(M,JS)*C3(M,JS)*12/H(M)^2
720 NEXT JS
730 Y(M)=Q(1)/S(M)
740 FOR JA=1 TO N
750   F(M+1,JA+1)=Y(M)*C1(M,JA)/H(M)
760 NEXT JA
770 FOR I9=1 TO M-1
780   FOR J9=1 TO N
790   F(I9+1,J9+1)=Y(I9)*C1(I9,J9)/H(I9)+Y(I9+1)*C2(I9+1,J9)/H(I9+1)
800   NEXT J9
810 NEXT I9
820 Y(M+1)=0
830 FOR RS=1 TO M
840   S(RS)=0
850 NEXT RS
860 FOR TS=1 TO M
870   FOR TS=1 TO N
880   S(TS)=6(TS)+K(TS,T6)*12/H(TS)^2
890   C2(TS,T6)=2*(G(TS,T6)+G(TS,T6+1)+K(TS,T6)*K(TS+1,T6))
900   NEXT T6
910 NEXT TS
920 RS=0
930 REM İTERASYON İŞLEMLERİ
940 FOR A=1 TO M
950   FOR B=1 TO N
960     C3(A,B)=G(A,B)*F(A+1,B)+G(A,B+1)*F(A+1,B+2)+K(A,B)*F(A,B+1)+K(A+1,B)*F(A+2,B+1)
970     C1(A,B)=3*(K(A,B)*Y(A)/H(A)+K(A+1,B)*Y(A+1)/H(A+1))
980     CS(A+1,B+1)=(-C3(A,B)+C1(A,B))/C2(A,B)
990   NEXT B
1000 NEXT A

```

```

1010 FOR J6=1 TO M
1020 P(J6)=0
1030 NEXT J6
1040 FOR T7=1 TO M
1050 FOR T8=1 TO N
1060 P(T7)=P(T7)+(C5(T7,T8+1)+C5(T7+1,T8+1))*K(T7,T8)*6/H(T7)
1070 NEXT T8
1080 NEXT T7
1090 FOR T9=1 TO M
1100 Y1(T9)=(Q(M-T9+1)+P(T9))/S(T9)
1110 NEXT T9
1120 FOR R=1 TO M
1130 FOR R1=1 TO N
1140 IF ABS((C5(R+1,R1+1)-F(R+1,R1+1))/C5(R+1,R1+1)).>.001 GOTO 1190
1150 IF ABS((Y1(R)-Y(R))/Y1(R)).>.001 GOTO 1190
1160 NEXT R1
1170 NEXT R
1180 GOTO 1270
1190 K6=K6+1
1200 FOR R2=1 TO M
1210 FOR R3=1 TO N
1220 F(R2+1,R3+1)=C5(R2+1,R3+1)
1230 Y(R2)=Y1(R2)
1240 NEXT R3
1250 NEXT R2
1260 GOTO 940
1270 PRINT #1 "ITERASYON SAYISI=";R6
1280 PRINT #1
1290 REM UC KUVVETLERİ HESABI
1300 FOR A1=1 TO M
1310 FOR B1=1 TO N
1320 C1(A1,B1)=2*K(A1,B1)*(2*C5(A1,B1+1)+C5(A1+1,B1+1)-3*Y1(A1)/H(A1))
1330 C2(A1,B1)=2*K(A1,B1)*(2*C5(A1+1,B1+1)+C5(A1,B1+1)-3*Y1(A1)/H(A1))
1340 NEXT B1
1350 NEXT A1
1360 DIM C3(M,N-1),F(M,N-1)
1370 FOR A2=1 TO M
1380 FOR B2=1 TO N-1
1390 C3(A2,B2)=2*G(A2,B2+1)*(2*C5(A2+1,B2+1)+C5(A2+1,B2+2))
1400 F(A2,B2)=2*G(A2,B2+1)*(2*C5(A2+1,B2+2)+C5(A2+1,B2+1))
1410 NEXT B2
1420 NEXT A2
1430 PRINT #1 "KOLON UC MOMENTLERİ"
1440 PRINT #1 "_____"
1450 PRINT #1
1460 FOR O=M TO 1 STEP -1
1470 PRINT #1 O;" KAT";
1480 PRINT #1 " ";
1490 FOR O1=1 TO N
1500 PRINT #1 USING "####.###" C2(O,O1);

```

```

1510 NEXT O1
1520 PRINT #1
1530 PRINT #1 " ";
1540 FOR O2=1 TO N
1550 PRINT #1 USING "####.###" " C1(O1,O2);"
1560 NEXT O2
1570 PRINT #1
1580 PRINT #1
1590 PRINT #1
1600 NEXT O
1610 PRINT #1 "KIRIS UC MOMENTLERİ"
1620 PRINT #1 "_____"
1630 PRINT #1
1640 FOR W=M TO 1 STEP -1
1650 PRINT #1 W;".KAT";
1660 FOR W1=1 TO N-1
1670 PRINT #1 USING "####.###" C3(W,W1);F(W,W1);
1680 PRINT #1 " ";
1690 NEXT W1
1700 PRINT #1
1710 NEXT W
1720 PRINT #1
1730 PRINT #1 "KOLON KESİCİ KUVVETLERİ"
1740 PRINT #1 "_____"
1750 PRINT #1
1760 FOR A3=1 TO M
1770 FOR B3=1 TO N
1780 C1(A3,B3)=-(C1(A3,B3)+C2(A3,B3))/H(A3)
1790 NEXT B3
1800 NEXT A3
1810 FOR O1=M TO 1 STEP -1
1820 PRINT #1 O1;".KAT" " ;
1830 FOR O2=1 TO N
1840 PRINT #1 USING "##.##" " C1(O1,O2);"
1850 NEXT O2
1860 PRINT #1
1870 NEXT O1
1880 PRINT #1
1890 PRINT #1
1900 PRINT #1 "KIRIS KESİCİ KUVVETLERİ"
1910 PRINT #1 "_____"
1920 PRINT #1
1930 FOR A4=1 TO M
1940 FOR B4=2 TO N
1950 G(A4,B4)=-(C3(A4,B4-1)+F(A4,B4-1))/L(B4-1)
1960 NEXT B4
1970 NEXT A4
1980 FOR O3=M TO 1 STEP -1
1990 PRINT #1 O3;".KAT" " ;
2000 FOR O4=2 TO N

```

```

2010 PRINT #1 USING "###.###      " B(03,04);
2020 NEXT 04
2030 PRINT #1
2040 NEXT 03
2050 FOR I=1 TO N
2060   C1(I,I)=B(M,I)+B(M,I+1)
2070 NEXT I
2080 FOR I=2 TO M
2090   FOR J=1 TO N
2100     C1(I,J)=C1(I-1,J)-B(M-I+1,J)+B(M-I+1,J+1)
2110   NEXT J
2120 NEXT I
2130 PRINT #1
2140 PRINT #1 "KOLON EKSENEL KUVVETLERİ"
2150 PRINT #1 "-----"
2160 PRINT #1
2170 FOR 05=M TO 1 STEP -1
2180   PRINT #1 05;" KAT    ";
2190   FOR 06=1 TO N
2200     PRINT #1 USING "###.###      " C1(M-05+1,06);
2210   NEXT 06
2220   PRINT #1
2230 NEXT 05

```

LİTERATÜR

- (1) Muto, K. : Seismic Analysis of Reinforced Concrete Buildings, Proceedings of World Conference on Earthquake Engineering, 1956.
- (2) Takabeya, F.: Mehrstöckige Rahmen, Verlag von Wilhelm Ernst U. Sohn, 1967.
- (3) Aydin, R. : Çerçeve Sistemlerin Yatay Yükler Altında İncelenmesi, DAE Bülteni, 26, Temmuz 1979.
- (4) Tezcan, S. : Çubuk Sistemlerin Elektronik Hesap Makinaları ile Çözümü, Arı Kitabevi, 1970.
- (5) Chobot, K. : Matrizenrechnung in der Baumechanik, Springer-Verlag, 1970.
- (6) Heyman, J. : Beams and Framed Structures, Pergamon Press, 1974.

KUZEY ANADOLU FAY ZONU'NUN İZMİT - KASTAMONU KESİMINİN TARİHSEL DÖNEM
(1900 öncesi) DEPREM ETKİNLİĞİ

S. Sipahioglu^x - O.Gündoğdu^x

ABSTRACT

Historical Earthquake Activity of the İzmit - Kastamonu Segment of the
North Anatolian Fault Zone

The data related with the historical earthquakes which occurred within the İzmit- Kastamonu segment of the North Anatolian Fault Zone was obtained from the catalog prepared by H.Soysal, S.Sipahioglu, D. Kolçak, Y. Altınok (1981).

As it was pointed out in the above mentioned catalog, it covers really long history in the past (BC 2100 - 1900 AD). But, the history of the past earthquakes of the research area does not tend such a long period. Now, we have only information for the earthquakes which occurred between 19 and 1895 AD. These were listed in Table I. In addition this, some descriptions for the earthquakes of intensity VIII and greater will be given after Table I.

Taking into consideration of the data listed in Table I, we tried to realize the time and space distributions of the historical earthquakes. At the end, it has been understood that there are two active area in the region which produced large earthquakes in the past:

- a. İznik - İzmit - Adapazarı area,
- b. Kastamonu - Çankırı area.

A very exciting result appeared in the time distribution that there is a kind of gap between 715 and 1688 AD although very intensive earthquakes had occurred before 715 (19-715 AD) and after 1688 (1688-1895 AD).

^x İstanbul Üniversitesi Yerbilimleri Fakültesi, Jeofizik Mühendisliği
Bölümü

Ö Z E T

Kuzey Anadolu Fay Zonu'nun, Depremleri Önceden Belirleme Ulusal Araştırma Projesi kapsamına giren kesiminin tarihsel dönem deprem etkinliğini ortaya koymak için H. Soysal, S. Sipahioğlu, D. Kolçak, Y. Altınoğlu (1981)'un hazırladıkları "Türkiye ve Çevresinin Tarihsel Deprem Kataloğu" adlı kaynaktan yararlanılmıştır.

Yukarıda söz konusu edilen ve M.Ö. 2100 ile M.S. 1900 yılları arasındaki depremlerini içeren katalogdan çıkarılan veriler, Tablo I'de listelenmiş bulunmaktadır. Bunlardan, şiddetleri VIII ve daha yukarı olanlarla ilgili betimsel bilgiler, Tablo I'den hemen sonra ayrı olarak verilmektedir. Tablo'dan da görüleceği gibi, araştırma bölgesinde, tarihsel dönemde 34 adet deprem olmuştur. Bu 34 depremden yalnız üçünün dış merkez koordinatlarında, birinin ise şiddet değerinde belirsizlikler bulunmaktadır.

Mevcut verilere göre, M.S. 19 yılından önceye ait bir deprem etkinliği gözükmemektedir. Bu araştırma ile, bölgenin tarihsel dönem depremlerinin zaman ve uzay dağılımlarıyla bunların şiddet-frekans ilişkilerine bazı yaklaşımalar getirilmeye çalışılmıştır.

GİRİŞ

Geçmişte oluşmuş depremlerin zaman ve uzay boyutunda incelenen etkinlik örnekleri (seismic activity patterns) ve bunlardan çıkarılan sonuçlar, hem depremleri önceden belirleme çalışmalarının yapılacağı yerlerin seçiminde, hem de uzun süreli depremleri önceden belirlemeye (long term prediction) bir ölçüt olarak kullanılmaktadır. Tabii ki bu, her iki amaç için de, yalnızca, geçmişteki deprem etkinliğinden yararlanıldığı anlamına gelmemektedir.

Hernekadar, depremleri önceden belirleme, geçmişten bağımsız olarak gözüküyor ve bu konuda yapılan çalışmalar, ilerleyen zaman içinde devam etmekte olan doğa olaylarının normal gidişinden farklı şekilde gelişen oglular (anomaliler) saptayıp, bunların deprem oluşumuyla bir korrelasyonunun yapılmasına yönelikorsa da, bu tip çalışmaların nerelerde yapılması gereği, yine, geçmişte oluşmuş deprem verileriyile olanaklı olabilmektedir.

Geçmişde oluşmuş depremlere ait veriler, sismolojinin gelişimine uygun olarak, farklı duyarlılıkta saptanmış olduklarından depremleri genelde, "yakın" ve "uzak" geçmişte oluşmuş olanlar şeklinde iki ayrı grupta düşünmek adet olmuştur. Birinci gruptaki depremler hakkında hem betimsel (Tasviri) hem de aletsel verilere sahip olmamıza rağmen, ikinci gruptaki depremlere, ancak, betimsel bilgilerle ulaşabilmekteyiz.

Uzak geçmişte oluşmuş depremlerlarındaki betimsel bilgiler, çoğunlukla, kökeni sismoloji olmayan kaynaklardan elde edilmiş bile olalar, depremlerin, geçen zaman içindeki ardalanmalarını ve uzay dağılımlarını gösterdiklerinden büyük önem taşırlar. En iyimser bir görüşle, aletsel dönemin son seksen yıllık bir geçmiş kapsadığı ve depremlerin oluşumlarında, yörelerin sismik etkinlik ve sükunet dönemlerinin bu sürenin çok dışına taşıbildungi de düşünülürse, uzak geçmişte oluşmuş depremlerle ilgili betimsel bilgilerin kullanılma zorunluluğu kendiliğinden ortaya çıkar.

Bu çalışmaya, Depremleri Önceden Belirleme Ulusal Araştırma Projesi kapsamına giren bölgenin, tarihsel dönemde oluşmuş depremleri

hakkındaki bilgiler sergileyerek, benzer konularda ürün vereceklerle yardımcı olmak amaçlanmıştır.

TARİHSEL DÖNEM DEPREMLERİNİN ZAMAN DAĞILIMLARI

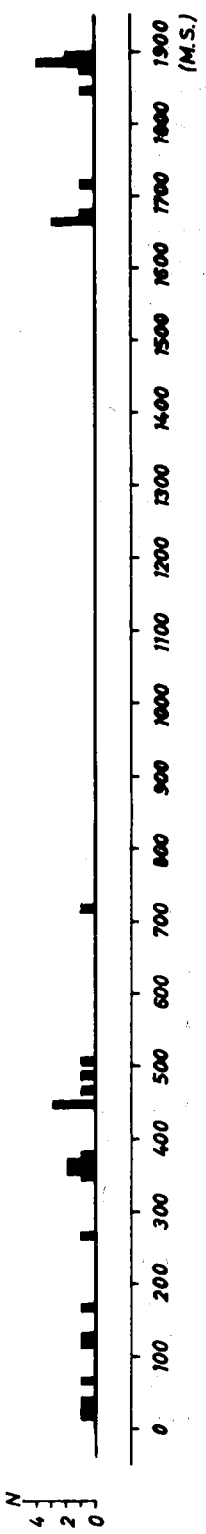
Çalışma bölgemizin tarihsel dönem deprem etkinliğine baktığımızda, depremlerin, M.S. 19 yılı ile M.S. 1895 yılları arasında oluştuğu görülmektedir. Bir başka deyişle, bölgenin M.S. 19 yılından önceki tarihsel geçmişinde oluşmuş depremlere ait bilgi bulunmamaktadır. Bu görüntü, haliyle, deprem etkinliğinin M.Ö. 2100 ile M.S. 19 yılları arasında var olmadığı anlamına vermemektedir. Verisiz olan bu döneme ait, daha ileride bulunabilecek tarihsel bilgi ve belgeler, yörenin deprem etkinlik örneğini değiştirebilecektir.

Tablo I'de verileri bulunan ve M.S. 19 ile M.S. 715 yılları arasında oluşmuş depremlerle, M.S. 1688 ile M.S. 1895 yılları arasında meydana gelen depremler, zaman boyutunda, gelişigüzel bir dağılım göstermektedir. Belirlenen bu süreçler içinde, birbirini takip eden iki deprem arasında bazen bir yıldan az, bazen de fazla olan bir zaman aralığının bulunduğu göze çarpmaktadır. İki deprem arasında geçen sürenin, yine yukarıda belirlenmiş olan zaman süreçlerinde kalmak şartıyla, bazen ikiyüz yılı da bulduğu olağandır. Bu görüntünün dışında, M.S. 715 ile M.S. 715 ile M.S. 1688 arasındaki yaklaşık 950 yıllık bir sürecin, hiç depremsiz geçtiği de hayli dikkat çekicidir. Bu durum, bir anlamda, zaman boyutundaki bir boşluk (seismic gap) gibi görülyorsa da, bunun, gerçekten mi depremsiz geçtiği ya da tarihsel bilgi eksikliğinden mi böyle gözüktüğü hakkında, henüz kesin bir sav ileri söylemekten yoksunuz. Ancak, M.S. 19 - 715 yılları arasındaki yaklaşık 700 yıl ve M.S. 1688 - 1895 yılları arasındaki yaklaşık 200 yıllık aktif dönemler arasında kalan bu 950 yıllık boşluğun, yeni tarihsel bilgi ve belgeler bulununcaya kadar bir "gap" olarak tanımlanması da mümkün görülebilir.

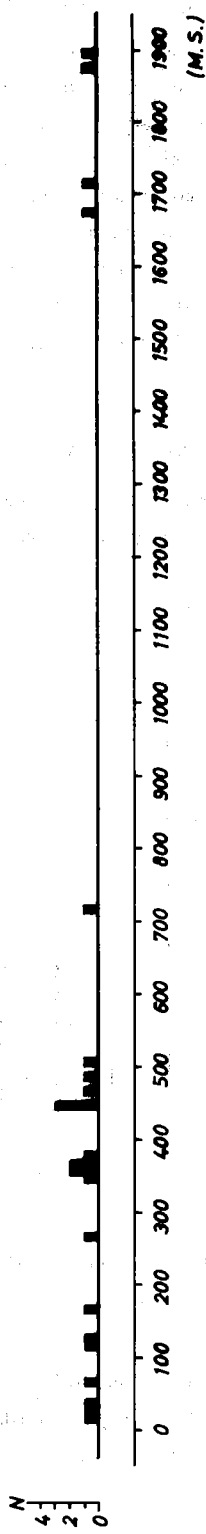
Yine Tablo I'den, bazı araştırmacıların (ör. Ambraseys, 1970) Kuzey Anadolu Fay Zonu için ileri süրükleri 150-200 yıllık sükunet döneminlerinin var olduğuna dair bir kanıt da görülmemektedir.

Tarihsel dönem depremlerinin zaman dağılımları, Şekil 1'de gösterilmektedir.

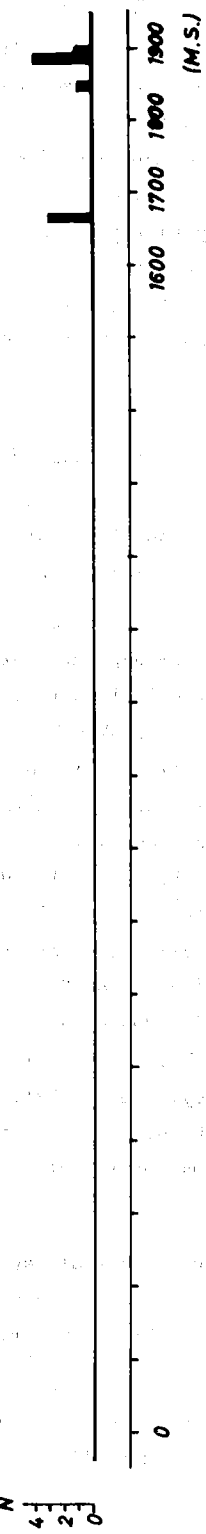
İZMİT - KASTAMONU



İZMİT - İZNİK - ADAPAZARI



BOLU - ÇANKIRI - KASTAMONU



ŞEKİL - 1

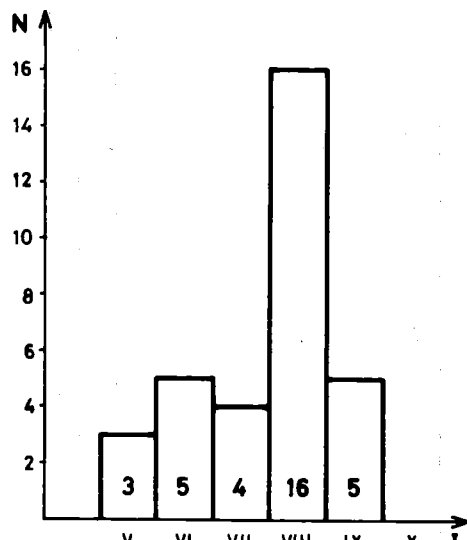
TARİHSEL DÖNEM DEPREMLERİNİN UZAY DAĞILIMLARI

Tarihsel dönem depremlerinin zaman boyutundaki yukarıda değinilen gelişigüzel dağılıminın yanında, spatial dağılımlarına bakıldığından, genelde, iki yörede yoğunlaştıkları görülmektedir. Tablo I'de verilen depremlerden yirmibeş İznik - İzmit - Adapazarı ve dokuzu da Bolu - Kastamonu - Çankırı yörelerinde toplanmaktadır. Bu durum, Harita I'de ayrıntılı olarak belirtilmiştir. Bundan da, tarihsel dönem deprem etkinliğinin, araştırma bölgemizin her yerinde aynı düzeyde olmadığı, % 73'ün İzmıt - İznik - Adapazarı; % 27'sinin de Bolu - Kastamonu - Çankırı yörelerinde toplandığı anlaşılmaktadır.

TARİHSEL DÖNEM DEPREMLERİNİN ŞİDDET - FREKANS İLİŞKİLERİ

Araştırma bölgemizde oluşan tarihsel dönem depremlerinin şiddet-frekans ilişkisine baktığımızda, aşağıda belirtilen noktaların dikkat çekikleri saptanmıştır.

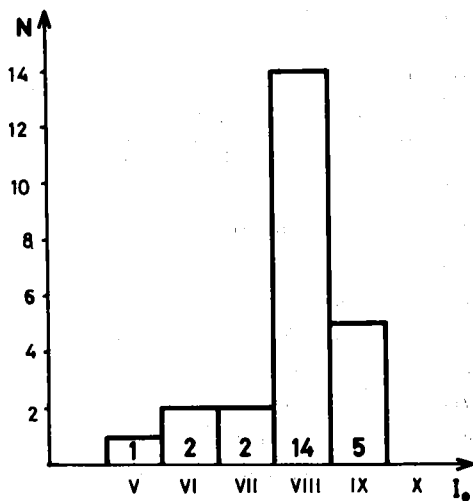
1. Oluşan tarihsel dönem depremlerinin şiddet-frekans ilişkisi, bölgeye tüm olarak bakıldığından, Şekil 2'deki gibi bir histogramla belirlenebilir. Şekilden anlaşılacağı gibi V, VI ve VII şiddetlerindeki depremlerin oluşum sayıları, alışılmışın aksine çok düşük gözükmemektedir. Bunun, bölgenin gerçek bir özelliği olduğu söylenemez. Böyle bir görüntü, tarihsel devirde yaşayan insanların, her



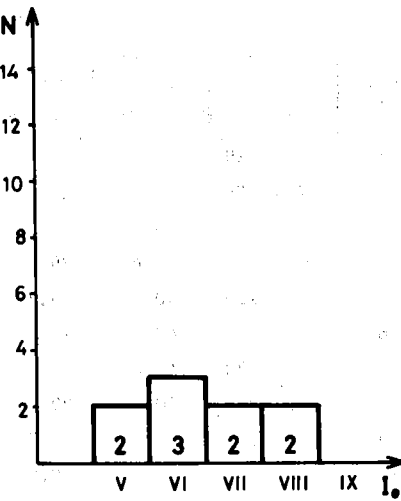
ŞEKİL 2

küçük depremi kaydetme yerine, büyük şiddette oluşan ve geniş can ve kayıplarına neden olan depremleri kaydetme ve belgeleme alışkanlıklına bağlanabilir.

2. Bölgenin tarihsel dönem depremlerini, yoğunlaştıkları iki ayrı yörede ayrı ayrı düşündüğümüzde de, yukarıda geçen duruma benzer özellikler ortaya çıkmaktadır (Şekil 3 ve Şekil 4).



SEKİL 3



SEKİL 4

SONUÇLAR

1. Bölgenin tarihsel deprem etkinliği hakkında bilgilerimizle, M.S 19 - M.S. 1895 yılları arasındaki sürecin depremlerini belirleyebilmekteyiz.
2. Tarihsel dönem depremleri, zaman boyutunda gelişigüzel bir dağılım göstermekte olup M.S. 715 - M.S. 1688 yılları arasındaki süreç bir boşluk olarak gözükmemektedir.
3. Tarihsel dönem deprem etkinliği, bölgede, biri İznik - İzmit - Adapazarı (I.Yöre), diğerinin Kastamonu - Çankırı (II. Yöre) olmak üzere iki yörede yoğunlaşmaktadır.
4. Bu yoğunlaşmanın ölçüsü, I. Yöre'de % 73; II. Yöre'de % 27 olarak belirlenmiştir.
5. Tarihsel dönem depremlerinden şiddetleri VIII ve daha büyük olanların % 90'u (19 adet) I. Yöre'de; % 10'u da (2 adet) II. Yöre'de yer almaktadır.

KAYNAKLAR

H.Soyşal, S. Sipahioğlu, D.Kolçak, Y. Altınok (1981)

Türkiye ve Çevresinin Tarihsel Deprem Kataloğu

TÜBİTAK, Proje No. TBAG 341, Ankara

N.N.Ambraseys (1970)

Some Characteristics Features of the Anatolian Fault.

Tectonophysics 9, 143-165.

| Sıra No. | Tarih | Dışmerkezin Enlemi | Boylamı | Şiddet I _o | Gözlemlsel Dışmerkez |
|----------|------------|--------------------|---------|-----------------------|---------------------------------------|
| 1. | 19 | ? | ? | VIII | Bursa-Bilecik-Sakarya |
| 2. | 24.11.29 | 40.4 | 29.7 | IX | İznik |
| 3. | 33 | 40.4 | 29.7 | VIII | İznik,Kocaeli-Bursa Yöresi. |
| 4. | 02.11.69 | 40.4 | 29.7 | VII | İznik |
| 5. | 120 | 40.4 | 29.7 | VIII | İznik |
| 6. | 129 | 40.4 | 29.4 | VIII | İznik,Zeytinbağ(Mudanya) |
| 7. | 170. | 40.8 | 29.9 | VIII | İzmit ve Yöresi |
| 8. | 268 | 40.8 | 29.9 | VIII | İzmit ve Yöresi |
| 9. | ?10.350 | 40.8 | 30.0 | VIII | İznik, Izmit |
| 10. | 24.08.358 | 40.75 | 29.9 | IX | Kocaeli,İznik,İstanbul |
| 11. | ? 11.359 | 40.75 | 29.6 | VIII | İzmit |
| 12. | 02.12.362 | 40.75 | 29.6 | VIII | İznik,İzmit,İstanbul |
| 13. | 11.10.368 | 40.4 | 29.7 | VII | İznik |
| 14. | 378 | 40.4 | 29.7 | VI | İznik |
| 15. | 444 | ? | ? | ? | İznik |
| 16. | 26.01.446 | 40.7 | 29.3 | VIII | İzmit körf.,İstanbul,İzmit |
| 17. | 08.12.447 | 40.8 | 29.6 | IX | İzmit körf., İstanbul. İzmit,İznik |
| 18. | 467 | 40.8 | 29.9 | VI | İzmit |
| 19. | 488 | 40.8 | 29.6 | VIII | İzmit,Karamürsel |
| 20. | 500 | 40.8 | 29.9 | VIII | İzmit |
| 21. | 715 | 40.4 | 29.7 | IX | İznik, İstanbıl |
| 22. | 03.07.1668 | 40.7 | 31.6 | VIII | Bolu, Kastamonu |
| 23. | 10.07.1668 | 41.3 | 33.8 | VII | Kastamonu |
| 24. | 18.08.1668 | 41.2 | 33.8 | VII | Kastamonu |
| 25. | 20.05.1672 | 40.7 | 29.9 | VIII | İzmit, İstanbul |
| 26. | 25.05.1719 | 40.7 | 29.5 | IX | İstanbul,İzmit,Karamürsel |
| 27. | 1845 | 40.6 | 33.6 | V | Çankırı Yöresi |
| 28. | 19.04.1878 | 40.7 | 29.3 | VIII | İzmit,İstanbul,Bursa,Sapanca |
| 29. | 28.09.1881 | 40.6 | 33.6 | VIII | Çankırı Yöresi |
| 30. | 1882 | 41.0 | 34.0 | VI | Tosya,Kastamonu,İskilip,Cankırı |
| 31. | 1883 | 41.0 | 33.7 | VI | Kastamonu ve Çankırı |
| 32. | ? .04.1888 | ? | ? | V | Çankırı Yöresi |
| 33. | 1890 | 41.3 | 33.8 | VI | Kastamonu Yöresi |
| 34. | 21.01.1895 | 40.4 | 29.7 | V | İznik |

TABLO I - Kuzey Anadolu Fay Zonu'nun İzmit - Kastamonu kesiminin Tarihsel Dönem Depremleri.

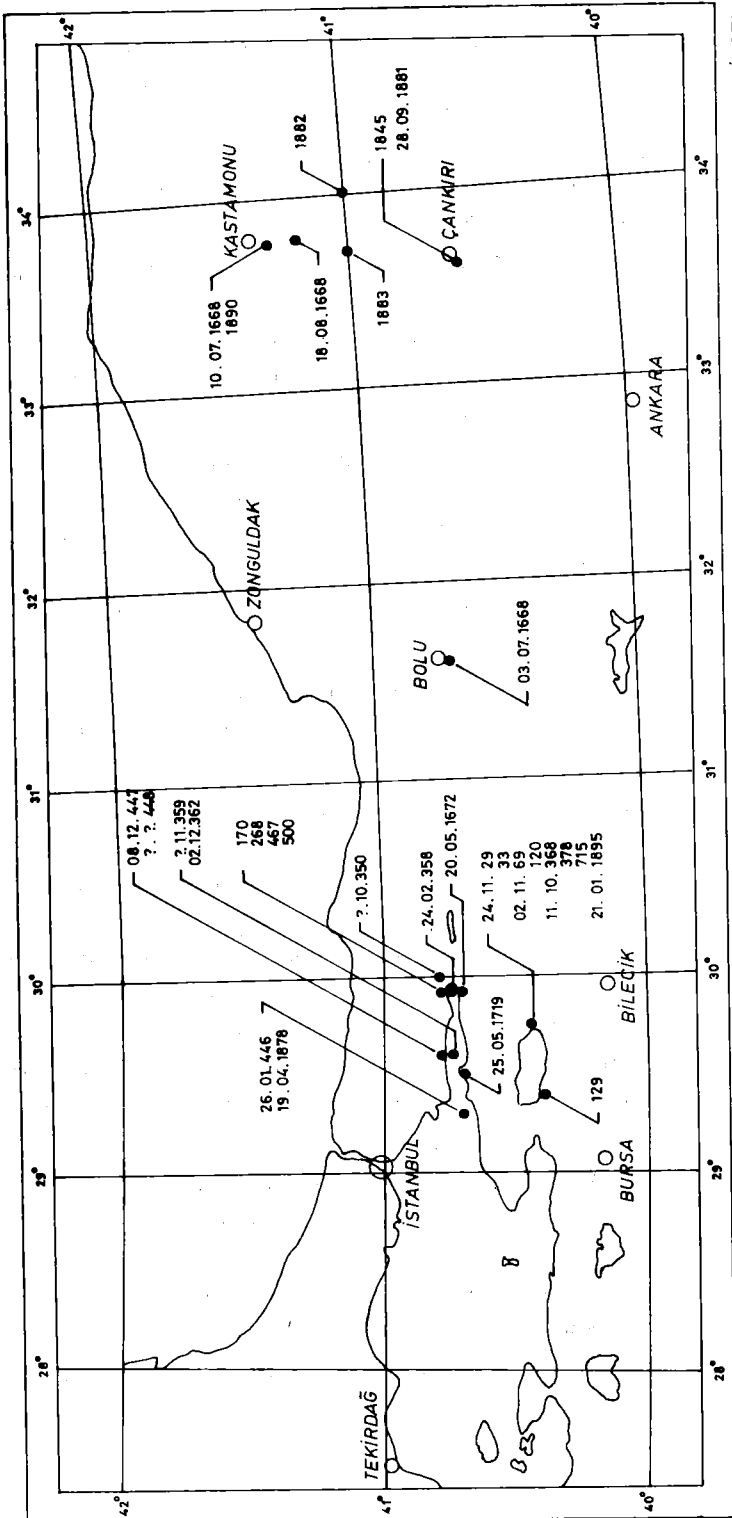
ARAŞTIRMA BÖLGESİ TARİHSEL DÖNEM DEPREMLERİYLE İLGİLİ BETİMSEL
(TASVİRİ) BİLGİLER

(Şiddetleri VIII ve daha büyük olan depremler için)

| Oluş Sıra No. | Tarih | Açıklama |
|---------------------|----------|--|
| 1. | 19 | Gözlemlsel dışmerkezinin koordinatları belirlenmemiş olan bu depremin, Bursa-Bilecik-Sapanca'yı içine alan ve o tarihlerde "Bithinia" diye adlandırılan bölgede etkin olduğu anlaşılıyor. Kaynaklarda adları belirtilmemekle beraber, bu depremin, söz konusu yörede 13 şehri tahrib ettiği hakkında bilgi var. Arvanitakis, "bu depremin İzmit limanında da tahribat yapması muhtemel" demekle, İzmit körfezindeki yerleşimleri de etkilediğine dechinmek istemiş olabilir. |
| 2 | 24.11.29 | Bu depremde İznik'in büyük bir kısmı yıkılmış ve İzmit'te de büyük tahribat olmuştur. |
| 3 | 33 | İznik ve Kocaeli-Bursa yöresini etkileyen bu deprem, İznik'in tekrar harab olmasına ve Bursa-Kocaeli yöresinde büyük tahribatın oluşmasına neden olmuştur. |
| 5 | 120 | Bu depremde İznik, İzmit ve Marmara Bölgesinin çoğu şehirlerinde büyük hasar meydana gelmiştir. |
| 6 | 129 | İznik ve Zeytinburnu (Mudanya), bu depremle tamamen yıkılmıştır. |
| 7 | 170 | İzmit ve yöresini etkileyen büyük bir deprem. I.Francis'e göre bu deprem, İzmit'in 3. büyük depremidir ve Sakarya Nehri'ne kadar olan bölgedeki yerleşim birimlerinde büyük hasar meydana getirmiştir. |

- 8 268 Tarihsel belgelerde "İzmit tarihinin 4. büyük depremi" olarak geçen bu deprem, İzmit ve Yöresini büyük ölçüde etkilemiştir.
- 9 ?.10.350 İznik ve İzmit'te büyük hasar yapan bu depremde pek çok kişinin de öldüğü rapor edilmektedir.
- 10 24.08.358 Kocaeli, İznik ve İstanbul'da büyük tahribat. Tarihsel bilgilere göre bu deprem, Marmara Denizi'nin doğu ve kuzeydoğusundaki 150 yerleşme biriminde hasar yapmıştır. En büyük mal ve can kaybı İzmit'te olmuş, depremle birlikte, tsunami ve çıkan yangınlar da kayıpları artırmıştır. Duyulma alanının, Makedonya'ya kadar uzandığı anlaşılan bu depremin artçıları 50 gün süreyle devam etmiştir. İzmit piskoposu Kekropius'un da öldüğü bildirilen bu deprem, İzmit tarihinin 5. büyük depremi olarak geçmektedir.
- 11 ?.11.359 Dışmerkezj, tarihsel belgelerde, İzmit olarak gösterilen bu deprem 24.08.358 depremiyle idantik olabilir.
- 12 02.12.362 İznik'in büyük bir kısmının tahrib olmasına neden olan bu depremde, İzmit'in 358 ve 359 depremlerinde ayakta kalabilmiş binaları da yıkılmıştır.
- 16 26.01.446 Bu deprem, İstanbul'da birçok istihkamın ve evlerin yıkılmasına neden olmuş, geniş bir yörede önemli tahribat yapmıştır. Artçılarının üç ay sürdüğü anlaşılan bu deprem, özellikle İzmit körfezi, İstanbul ve İzmit'te etkin olmuştur.
- 17 08.12.447 Çok geniş bir alanda tahribat yapan bu deprem İstanbul surları ile kulelerinden 57'sinin kısmen yıkılmasına neden olmuştur. Trakya'nın bir kısmı, Gelibolu yarımadası, Çanakkale, İzmit ve İznik'te de tahribat yapan bu depremin artçıları dört ay sürmüştür, İstanbul'da halk şehri terk ederek bir süre surların dışında çadırlarda yaşamışlardır. Tarihsel belgeler, kral Kostantin'in, İstanbul'u altmış gün gibi kısa bir zamanda onarttığını belirtmektedirler.
- 9 488 "İzmit tarihinin 6. büyük depremi" diye anılan bu deprem, özellikle İzmit, Yalova ve Karamürsel'de tahribat yapmıştır.

- 20 500 Ermeni kaynakları "İzmit bu depremle tekrar yıkılır" şeklinde bir bilgi vermektedirler. Bu denli büyük bir depremin 500 yılında vuğu bulduğu düşünülebilirse de, bilgilerin 488 depremkilerle karıştırılabileceği, dolayısıyla bunun 488 depremiyle idantik olabileceği de göz önüne alınmalıdır.
- 21 715 Tarihsel bilgilerden, dışmerkezinin Gemlik körfesinde olduğu anlaşılan bu deprem İznik'in tamamen, İstanbul'un ise üçte birinin tahrib olmasına neden olmuştur. İznik'in çevresindeki yerleşme birimlerinde de hasar meydana geldiği rapor edilmektedir.
- 22 03.07.1668 Artçıları 13 Eylül'e kadar devam etmiş olan bu deprem yalnız Bolu'da 1800 kişinin ölümüne neden olmuştur. Tarihsel bilgilere göre, etkime alanı Bolu dışında Kastamonu, Amasya, Tokat ve Niksar'a kadar uzanan bu "Bolu-Kastamonu Depremi" olarak gözükmevidir.
- 25 20.05.1672 Izmit'te yıkıcı etkiler oluşturan bu deprem, İstanbul'da da hasar yapmış. Duyulma alanı Çanakkale'ye kadar uzanıyor.
- 26 25.05.1719 Bu deprem, en büyük hasarı İstanbul ve Prens adalarında oluşturmuştur. Üç dakika sürdüğü bildirilen bu depremde İstanbul'da 14 cami, 27 kule, sarayın sultan bölümü ve pek çok ev yıkılmıştır. İzmit de büyük ölçüde tahrib olmuştur. Karamürsel de tahribat alanı içinde olup depremden sonra İstanbul'un birçok yeri ve surları yeniden inşa edilmiştir. Özette, deprem İzmit körfezi çevresindeki yerleşim birimlerinde önemli mal ve can kayıplarına neden olmuştur denebilir.
- 28 19.04.1878 Bu deprem, özellikle, Bursa - İzmit - Sapanca üçgeni içindeki yerleşim birimlerinde hasara neden olmuştur. İzmit, kısmen tahrib olmuş; İstanbul'da ise bazı binalarda çatlıklar meydana gelmiştir. Deprem, tüm Marmara bölgesiyle Ege bölgesinin büyük bir kısmında duyulmuştur.
- 29 28.09.1881 Deprem nedeniyle Çankırı yöresinde pek çok ev yıkılmış ve 12 kişi ölmüştür.



Harita 1 - KUZEY ANADOLU FAY ZONUNUN İZMİT-KASTAMONU KESİMINİN M.Ö. 2100 - M.S.1900 YILLARI ARASINDA OLUŞMUŞ TARİHSEL DÖNEM DEPREMLERİ (Veriler H. Soysal, S. Sipahioğlu, D. Koçer, Y. Altınok - 1981 den alınmıştır.)

BАЗI ÜLKELERİN DEPREM YÖNETMELİKLERİNDEKİ
YATAY KUVVET HESABI YÖNTEMLERİNİN KARŞILAŞTIRILMASI

Halit DEMİR⁽¹⁾, Zekeriya POLAT⁽¹¹⁾

ÖZET

Bu çalışmada; daha önce Avrupa ülkelerinin deprem yönetmeliklerindeki yatay kuvvet hesabı yöntemleri üzerine yapılan bir inceleme [1], Avrupa dışındaki bazı ülkelerin deprem yönetmelikleri için de yapılmıştır. Bu çalışmalar ile, bu konuda sürdürülen "Uluslararası örnek yönetmelik" teşkilii gayretlerine katkıda bulunulmak amaçlanmıştır.

Her bir ülkenin yönetmeliginde, bu hususta dikkate alınan parametreler ve bunların değerlendirme tarzı, ayrı ayrı ve karşılaştırmalı olarak, tablo lar hâlinde düzenlenip gösterilmiştir.

Yapılan değerlendirmeler ve varılan sonuçlar, bu konuda, bir "Uluslararası örnek yönetmeligin" (code-modèle) oluşturulmasının pek güç olmayacağı göstermektedir.

ABSTRACT

In accordance with the task of a unified code-model for earthquake resistant structures, this study has been conducted. It's related with and complementary to previous report submitted to 6. ECEE [1].

EQ resistant regulations of several non-European countries are compared according to some basic classifications. Which factors in each country's regulation and of what magnitude are considered, what similarities and dissimilarities exist among them, to which factors importance is attributed are examined and compared.

The results are given in a tabulated form for easy reference as well as for comparison and use together with the previous one in preparation of new codes and a unified code-model especially.

RESUME

Dans cette étude; parallèlement à celle précédente [1], on a fait des études et des comparaisons sur les méthodes de calcul des efforts horizontaux dans les règlements concernant le séisme de certains pays en dehors de l'Europe.

On a donné les facteurs pris en compte et leurs évaluations pour chaque règlement et dans une forme tabulaire pour les comparer facilement.

Les résultats dans les tableaux dressés et leurs évaluations démontrent que, il n'est pas difficile d'établissement d'un code modèle international dans ce sujet.

(1) Prof. Dr., İstanbul Teknik Univ. İnşaat Fakültesi, İstanbul

(11) Doçent, Yıldız Univ. Mühendislik Fakültesi İnşaat Bölümü, İstanbul

1. GENEL

Bilindiği üzere; ivmeli harekete zorlanan bir cisim, kütlesi ile orantılı bir atalet kuvveti etkir. Yer sarsıntılarında da yapı kütlelerinde atalet kuvvetleri meydana gelir. Atalet kuvvetleri, sarsıntıının yön ve doğrultu - suna bağlı olarak, uzayda, herhangi doğrultularadır; ancak, özellikle binalar ve benzeri yapılar için, bu kuvvetlerin yatay bileşenleri çok önemlidir. Gerçekte yatay kuvvet bileşenleri de herhangi doğrultuda olabilirler; ama, hesapları sadeleştirme zorunu ile, bunların, yapı taşıyıcı sisteminin asal rıjilik doğrultularında ve simültane olmayan bir tarzda etkidikleri kabul edilir.

Yapıların ekseriyetini katlı binalar teşkil eder. Binalarda ise kütleler, kat dösemeleri hizalarında yoğunlaşmışlardır. Gerçek duruma oldukça yakın bir kabul olarak; kütlelerin döseme hizalarında toplandığı varsayımları yapılır, bu da hesapları oldukça sadeleştirir.

Atalet kuvvetlerinin, yâni yapılara etkiyen zelzele yüklerinin belirlenmesinde; yer sarsıntısının rastgele karakterinden, yapı zemininin tam olarak bilinmeyen özelliklerinden ve bizzat hesaplardan kaynaklanan pek çok güçlükler vardır. Bu sebeple, hemen bütün ülkelerin zelzele yönetmelikleri, pek çok basitleştirici kabuller yapmışlar ve, buna parellel olarak, hesap yöntemleri önermişlerdir. Bu hesap yöntemleri, basitlik sırasına göre, başlıca şu grularda toplanabilir:

- I. Basitleştirilmiş yöntemler;
- II. "Statik", "Eşdeğer statik" ya da "Yarı dinamik" denilen yöntemler;
- III. Dinamik yöntemler.

Bu çalışmada, hemen her ülkenin zelzele yönetmeliğinde yer alan "Statik" denilen yöntemlere ağırlık vererek, son iki grup yöntemler; yatay deprem yüklerinin hesabı ve yapıda dağılımı açısından karşılaştırmalı olarak incelenmiştir. Bu inceleme, bundan önce Avrupa ülkeleri yönetmelikleri üzerinde yapılan bir çalışma [1] gibi, bu konuda oluşturulmaya çalışılan uluslararası bir örnek yönetmeye (Code-modèle) dair çalışmalarla katkıda bulunmayı amaç edinmiştir.

2. STATİK YÖNTEMLERDE HESAPTA GÖZÖNÜNE ALINAN YATAY KUVVETLER

Bir yapıda, W_i , W , sırası ile, i-ci katın ve yapıının hesap ağırlıkları olmak üzere, hemen bütün yönetmelikler, hesap doğrultusunda,

- ya, $F_i = c_i W_i$ şeklinde i-ci kata etkiyen deprem kuvvetini (atalet kuvvetini);
- ya da, $F = cW$ şeklinde yapıının tümüne gelen deprem kuvvetini (taban kesme kuvvetini)

verirler. Burada c_i ve c katsayılarına "deprem katsayısı" denilebilir ve bu katsayı, hesapta kullanılacak yatay ivmenin yer çekimi ivmesine oranı - ni gösterir. $F = cW$ şeklindeki hesap metodlarında, daha sonra açıklandı - gi gibi, katlara gelen zelzele kuvvetleri, taban kesme kuvveti katlara belirli bir kuralla göre paylaştırılarak bulunur.

Esas itibariyle, her iki metod da birbirinden pek farklı değildir. Kat kuvvetlerinin doğrudan hesaplandığı formülsasyonda, c_i katsayısının içeri - sine, dinamik metodlardan "modal analizde" kullanılan birinci maddaki o kata ait deplasman ile katılım çarpanının (contrubution factor) çarpımı da yer alır; burada "deplasman" nisbi anlamadadır.

Japon Yönetmeliği ise, bu iki tip formülasyondan tamamen farklı bir şekilde, doğrudan doğruya kat kesme kuvvetlerini verir:

$$V_i = c_i W_i$$

Bu formülde $W_i = i$ -ci katın üzerinde kalan (i -ci kat dahil) katların hesap ağırlıkları toplamını gösterir.

Zelzede katsayısı (seismic coefficient), ülkeden ülkeye bâzı farklılıklar gösterse de, genellikle, şu parametrelerle bağlıdır:

- Bölgenin sismisitesine bağlı sismik parametre;
- Binanın taşıyıcı sistemine (structure) bağlı sistem parametresi;
- Zeminin ve temelin özelliklerine bağlı parametre;
- Yapıdan beklenilen hizmet ve bu hizmetin insan ve toplum açısından ehemmiyetine bağlı parametre;
- Yapının ve zelzelenin titreşim özelliklerine bağlı spektral parametre.

Bunların ve varsa başkaca parametrelerin, yönetmeliklerde ne şekilde ve büyüklüklerde dikkate alındıkları, aşağıdaki tablolarda, karşılaştırmayı kolaylaşacak bir düzenleme içerisinde gösterilmiştir. Tablolar düzenlenirken, ülkeler, ingiliz alfabetesine göre: Cezayir, Arjantin, Kanada, Şili, Çin, Küba, El Salvador, Hindistan, Endonezya, Meksika, Yeni Zelanda, Peru, Filipinler, ve Amerika Birleşik Devletleri şeklinde sıralanmıştır. Türkiye dahil Avrupa Devletleri [1] deki çalışmanın konusunu tegkil etmemektedir. İncelemeye; [2] ve [3]de, bu konuda yeteri bilgi verilen ve [1]deki çalışmanın dışında kalan ülkelerin yönetmelikleri dikkate alınmış, son anda, [4]e göre düzeltmeler ve ilâveler yapılmıştır.

3. "c" KATSAYISININ BAĞLI OLDUĞU PARAMETRELER

Tablo:1 'de, zelzede katsayısının bağlı olduğu parametreler, ülkelerin yönetmeliklerindeki kendi özel notasyonları ile işaret edilmiştir.

3.1. BÖLGE SİSMİSITESİ

Yer sarsıntılarının etkili olanları tektonik kaynaklı olanlardır. Bunlar da, daha çok, yer kabuğunun kırık bölgelerinde meydana gelirler. Kırıkla-rın ise, faylar, grabenler, ve benzeri oluşumlar oldukları bilinir. Bu kaynaklar, genellikle, zonlar teşkil ederler; yer yüzeyinde düzgün dağılır de-gildirler. Ayrıca sıklık ve şiddet bakımından da depremler, bölgeden bölgeye farklılık gösterirler, yanı bölgelerin sismisitesi aynı değildir. Hesaplarda bu hususları dikkate almak amacıyla, yönetmeliklerde, ülkeler, sismisitesi (depremselliği) farklı bölgelere ayrılırlar. Zelzede katsayısının ana (temel) çarpanı olmak üzere, her bölge için bir sismisite katsayısi seçilir.

Ülkelere göre bölge sismisite katsayıları, bölgelerin metin orijinallerindeki isimlendirmeleri ile birlikte Tablo:2 'de özetlenmiştir. Karşılaştırmayı kolaylaştmak için, bâzı ülkelerin sismik bölge katsayıları, zelzede katsayısının -varsas- nümerik çarpanı (kısı), bu katsayı içinde mütalea edilerek sâdeleştirilmiştir (Bu ve benzeri sâdeleştirmeler, ilgili tablolar da, ilk geçikleri yerde işaret edilmişlerdir).

Tablo:1. Zelzele katsayısi "c" nin bağlı olduğu parametreler

| Ülke | Sismik bölge | Spektral | Zemin durumu | Temel tipi | Taşıyıcı sistem tipi | Yapı sınıfı | Yapı önemi | diğer |
|-------------------------|--------------|----------|--------------|------------|----------------------|-------------|------------|------------------|
| CEZAYİR 1955 | σ_1 | | σ_2 | σ_3 | | | | |
| ARJANTİN 1970 | c_o | s | | | γ_e | γ_d | | |
| KANADA 1970,1980 | A | S | F | | K | | I | |
| ŞİLLİ 1972 | 0,10 | X | X | C | | K_2 | K_1 | |
| ÇİN 1980 | X | X | X | α | | C | | |
| KÜBA 1964 | | | X | C | X | X | | |
| EL SALVADOR 1966 | X | | | | X | X | | |
| HINDİSTAN a) 1976 b) | α_o | | | β | | | I | (¹) |
| JAPONYA 1980 | ZC_o | X | X | C | R_T | X | | (⁴) |
| MEKSİKA 1975,1977 | X | | X | | | X | X | (²) |
| YENİ ZELANDA 1976 | C | | | | S | | I | (³) |
| PERU 1968 | X | C | | U | K | X | | |
| FİLİPİNLER 1972 | X | C | Z | X | | K | | |
| A.B.D. 1974,1979 | Z | C.S | | | K | | I | |
| Önerilen notasyon | Z | S | | F | K | | I | |

(¹) C: Fleksibilite kat.; (²) $1/Q'$: Dökütilite kat.; (³) R: Sosyal risk çarpanı; M: Malzeme çarpanı; (⁴) Ai: Kesme kuvvetinin katlara dağılımı ile ilgili çarpan (dağıtım çarp.).

Tablo:2. Bölgeler ve sis misite katsayıları

| Ülke | Bölge numarası | | | | | Açıklamalar | |
|--------------|--------------------|---------------------------------------|--------------------|--------------------|---|---|--------------|
| | I | II | III | IV | V | | |
| Cezayir | | B 0.070 | A 0.035 | | | Minimum değerler | |
| Arjantin | 3 0.10 | 2 0.07 | 1 0.04 | 0 0.00 | | | |
| Kanada | | | | | | | |
| Şili | 0.10 | | | | | Spektral parametrenin çarpanı olarak | |
| Çin | 9 0.90 | 8 0.45 | 7 0.23 | | | MM (Modified Mercalli) α_{\max} değerleri | |
| Küba | | 0.08 0.06 | 0.05 0.04 | | | A sınıfı binalarda min. B sınıfı değerler | |
| El Salvador | 0.12 | 0.06 | | | | Minimum değerler | |
| Hindistan | a) V 0.08 | IV 0.05 | III 0.04 | II 0.02 | I 0.01 | Deprem katsayısı (seismic coefficient) metodunda | |
| | b) 0.076 | "Respons spectrum" metodunda 0.048 | 0.038 | 0.019 | 0.01 | (Sa/g) _{0.05} ile çarpılmış değerler | |
| Endonezya | 1 0.05- 0.16 | 2 0.04- 0.13 | 3 0.03- 0.10 | 4 0.01- 0.05 | 5 0.01- 0.04 | 6 0.0 | Bkz: Şekil:3 |
| Japonya | A 0.20 | B 0.18 | C 0.16 | D 0.14 | Orta şiddette (moderate) depremler için ZCo değerleri | | |
| Meksika | III 0.24 | II 0.20 | I 0.16 | | Bu değerler B sınıfı yapılar içindir; A sınıfı yapılar için 1.3 ile çarpılacaklardır. | | |
| Yeni Zelanda | A 0.075 | B 0.0625 | C 0.05 | | Minimum değerlerdir; zemin cin sine ve bina peryoduna bağlı olarak artırılır. | | |
| Peru | | 1 0.05 | 2 0.04 | 3 0.03 | B sınıfı yapılar içindir. Karşılaştırmayı kolaylaştırmak için C nin 0.05 sabiti buraya alındı | | |
| Filipinler | | 0.06 | 0.05 | 0.04 | B tipi zeminlerdeki binalar için dir. Yine aynı amaçla C nin 0.05 sabiti buraya alındı. | | |
| A.B.D. | 4 0.067 | 3 0.05 | 2 0.025 | 1 0.0125 | 0 0.0 | Bu değerler C nin 1/15 sabiti ile çarpılmışlardır (karşılık amacıyla) | |

Tablo: 3. Spektral çarpan

| Ülke | spektral çarpan | açıklamalar |
|--------------|---|---|
| CEZAYİR | $1 + (H-10)0.02 \leq 2$ | H: Yapının zemin üstü yüksekliği(m) |
| ARJANTİN | $0.2 \leq s = 0.95 - 0.75T \leq 0.8$ $0.4 \leq s = 1.2 - 0.5T \leq 1.0$ $0.6 \leq s = 1.5 - 0.375T \leq 1.2$ | $\sigma_{z,em} > 5 \text{ kg/cm}^2$ olan zeminlerde " " > 0.8 " " " " " < 0.8 " " " |
| KANADA | $S = \frac{1}{\sqrt{T}} < 2$ | " 0.5" sabiti, bölge katsayısının içinde müttalea edilerek sadeleştiril. |
| ŞİLİ | $\frac{2TT_o}{T^2 + T_o^2}$-... 1.0 | $T > T_o$ için T_o : Zemin hâkim tit-reşim peryodu(s) $T \leq T_o$ için |
| ÇİN | $\alpha = \frac{0.2 \alpha_{max}}{T} \mid \frac{0.3 \alpha_{max}}{T} \mid \frac{0.7 \alpha_{max}}{T}$ | Sırasıyla I, II ve III tipi zeminler için (Bkz: Tablo:2) |
| EL SALVADOR | $(C/x_e)^{1/2}$ | x_e : C katsayısına tekabül eden kuvvetler altında yapı ağırlık merkezinin yatay deplasmanı (cm) |
| HİNDİSTAN | | Bakınız: Şekil:1 |
| ENDONEZYA | | Bakınız: Şekil:2 |
| JAPONYA | | Bakınız: Şekil:3 |
| YENİ ZELANDA | | Bakınız: Şekil:4 |
| PERU | $\frac{1}{\sqrt[3]{T}}$ | "0.05", bölge katsayısi içinde müttalea edilerek sadeleştirildi. |
| A.B.D. | $\frac{1}{\sqrt{T}} [1 + \frac{T}{T_s} - 0.5(\frac{T}{T_s})^2]$ $\frac{1}{\sqrt{T}} [1.2 + 0.6 \frac{T}{T_s} - 0.3(\frac{T}{T_s})^2]$ | $\frac{T}{T_s} \leq 1$ için T_s : Zemin hâkim tit-reşim peryodu (s) $\frac{T}{T_s} > 1$ için Bölge katsayı ile birlikte müttalea edilerek "1/15" ile sadeleştirilmiştir. |

3.2. SPEKTRAL ÇARPAN

Spektral çarpan ya da parametre; yapının yer sarsıntısına mukabelesinde (respons), yapı fleksibilitesinin göstergesidir. Genellikle yapının hâkim tabii titreşim peryoduna bağlı olarak verilmiştir. Tablo:3, ülkelere göre, özet olarak spektral çarpanları göstermektedir.

3.3. ZEMİN DURUMU

Yer sarsıntısı sonucu yapıya gelen tesirlerin hesabında, yapı-zemin karşılıklı etkileri önemlidir. Bu husus, yönetmeliklerde, zelzele katsayısına, genellikle spektral çarpan içinde aksentirilmiştir, Tablo:3. Bâzı kere de, ayrı bir katsayı ile değerlendirildiği görülmektedir. Her hâlükarda, zeminler sınıflandırılır, Tablo:4. Mevcut yönetmelikler içinde zeminlerin sınıflandırmasını en sağlam esaslara bağlayan A.B.D. Deprem Yönetmeliği olarak gözükmemektedir [3].

Tablo:4. Zemin durumu ve ilgili katsayılar

| Ülke | Zemin sınıfları- ilgili katsayılar - açıklamalar | | | |
|--------------|---|--|---|---|
| Cezayir | Kayalık 0.75 | Orta sıkılıkta 1.0 | Suya doygun 1.25 | Verilen sayılar, zemin sınıfları ile ilgili olarak sismik kat.oranlarıdır |
| Arjantin | ≥ 5.0 | ≥ 0.8 | < 0.8 | $kg/cm^2 = \sigma_{z,em}$ (Bkz: Tb:3) |
| Çin | 1.0 | 1.5 | 3,5 | Sismik hesaplarda zemin tipi etkisi oranlı.(Tb:3) |
| Hindistan | Kaya ve sert zeminler | Orta zeminler | Sıkışabilir (yumuşak) zeminler | Temel tipine göre standart penetrasyon sayıları verilmiştir. |
| Japonya | Sert zeminler | Orta zeminler | Yumuşak zem | Bakınız: Şekil: 3 |
| Meksika | Sağlam zeminler 0.8 | Orta zeminler 1.0 | Sıkışabilir zeminler 1,2 | Sismik katsayı oranları |
| Filipinler | Kayalık zeminler 0.75-0.83 | Orta zeminler 1.0 | Zayıf zeminler 1.17-1.25 | Sismik katsayı oranları |
| Küba | Az sıkışabilen zem. | Çok sıkışabilen zem. | Yapı sınıfı ve sistem tipine bağlı bir tablo düzenlenmiştir (Tablo:5e) | |
| Endonezya | Sert zemin | Yumuşak zemin | Deprem hesaplarında zemin cinsinin teşiri, sismik bölge ve yapı tabiî periyoduna bağlı olarak 1.14-1.75 arasında değişir (Şekil:2). | |
| Yeni Zelanda | Sağlam ve orta zeminler | Fleksibil zeminler | Bakınız: Şekil: 4 | |
| Kanada | Kaya, sıkı ve çok sıkı kaba daneli, çok rikit ve sert ince danecli, kompakt iri daneli 0-15 m derinlikli zeminler. $F = 1.0$ | Kompakt iri daneli, rikit ince daneli 15 m den derin; gevşek ve gevşek iri daneli, yumuşak ve yumuşak ince daneli 0-15 m derinlikli zeminler. $F = 1.3$ | Çok gevşek ve gevşek iri daneli, yumuşak ve çok yumuşak ince daneli 15 m den derin zeminler $F = 1.5$ | |
| İsili | Kaya, sıkı çakıl, sıkı kum-çakıl zeminler $T_o = 0.20 \text{ s}$ | Sıkı kum, sert-sağlam kohezyonlu zeminler $T_o = 0.30 \text{ s}$ | Daneli, yumuşak kohezyonlu zeminler $T_o = 0.90 \text{ s}$ | |
| Peru | Sağlam zeminler | Yumuşak zeminler | Sismik bakımından arzu edilmeyen zem | |

3.4. TEMEL TİPİ

İncelenen yönetmeliklerden ikisi temel tipi ile ilgili düzenlemeler vermektedir.

Cezayir Yönetmeliğinde; yüzeysel temelli yapılarda zelzele katsayısı, derin temelli yapılarındakine nazaran % 25 daha büyük alınmıştır.

Hindistan Yönetmeliğinde ise; altı temel tipi tanımlanarak, zemin cinsine de bağlı olmak üzere, deprem hesap ve tahkiklerinde her bir temel tipi için zemin gerilmelerinin ne kadar artırılmasına müsaade edileceği verilmiştir; bu artırmalar % 25 den % 50 ye kadar değişmektedir.

3.5. TAŞIYICI SİSTEM

Taşıyıcı sistem tipi, yapının dinamik davranışında son derece etkilidir. Yatay yüklerle karşı koyan sistemler: yalnız çerçeveler, yalnız perdeler, çerçeveler ile birlikte perdeler olabileceği gibi; kâğır duvarlar, diagonallı çelik veya betonarme kafes sistemler, ve bunlardan az çok farklı pek çok yapı sistemleri de olabilir. Sistemlerin düktilitesi, bizzat malzemesi dolayısıyla, kolaylıkla birbirinden farkeder. Bu yüzden, yer sarsıntısı ile yapılara gelen tesirlerin hesabında, bu hususlar, "sistem kat-sayıısı" (Türk Şartnâmesinde: Yapı tipi katsayısı) denilen bir katsayı ile dikkate alınır. Sistem katsayıları, kimi yönetmeliklerde çok ayrıntılı, kimi yönetmelikler de ise fazla ayrıntıya inilmeksızın verilmişlerdir. Aşağıdaki "5" numaralı tablolarda her bir yönetmelikteki sistem katsayıları özetlenmektedir.

| Tablo: 5a. Sistem katsayıısı | | ARJANTİN |
|------------------------------|--|----------|
| Yapı tipi | Açıklama | Ye |
| I | Düktil sistemler- Çerçeveelerin hâkim olduğu rıjıt dösemeli sistemler (Yatay kuvvetlerin en az % 65 i çerçevelerle karşılamak üzere) | 1.0 |
| II | Yarı düktil sistemler- Perdelerin hâkim olduğu rıjıt dösemeli yapılar (Çerçeveeler yatay kuvvetlerin en çok % 65 ini karşılamak üzere) | 1.3 |
| III | I ve II ye girmeyen, bacalar, kuleler ve ayaklı su tankları gibi yapılar | 1.8 |

| Tablo: 5c. Sistem katsayıısı | | ŞİLT |
|------------------------------|--|----------------|
| Yapı grubu | Açıklama | K ₂ |
| (d) | Aşağıdakiler dışında kalan binalar | 1.2 |
| (e) | Dösemeleri veya çatı örtüleri rıjıt diyaframlarından oluşan binalar | 1.0 |
| (f) | (e) grubunda bulunan ve uygun bir düktiliteyi haviz, yatay yükün tamamına karşı koyabilecek kapasitede rıjıt çerçeveli binalar | 0.8 |

| Tablo: 5b. Sistem katsayısı | | KANADA |
|-----------------------------|---|--------|
| Hâl | Mukavemet eden elemanın tipi ya da düzeni | K |
| 1 | Yatay yükün tamamına mukavemet eden düktıl uzay çerçeveli binalar | 0.7 |
| 2 | Taban kesme kuvvetinin en çok % 25 i çerçevelerce, tamamı perdelerce karşılanan düktıl perdeli-çerçevecli binalar | 0.7 |
| 3 | Yatay yükün tamamı perdelerce veya çelik kafes elemanlarca karşılanabilecek ve düktıl çerçevelerinin mukavemet kapasitesi yatay yükün % 25 inin altına düşmeyecek ikili (perdeli-çerçevecli veya çerçevecli- çelik kafes elemanlı) binalar | 0.8 |
| 4 | Bu tablonun 1,2,3 veya 5 numaralı hâllerine girmeyen düktıl çerçevecli veya perdeli diğer binalar | 1.0 |
| 5 | Kâgir dolgu duvarlı, duvarlarının tek başına kapasitesi yatay yükün tamamına mukavemet etmeye yeterli, fakat çerçeve sistemi de yatay yükün en az % 25 ine mukavemet edebilecek kapasitede olan binalar | 1.3 |
| 6 | 1,2,3,4 ve 5 hâlli dısındaki sürekli betonarme, çelik veya donatılı kâgir perdeli binalar | 1.3 |
| 7 | 1-6 hâlli dısındaki kâgir ve diğer yapılar | 2.0 |
| 8 | 4 ya da daha çok ayaklı, binalarca taşınmayan tam dolu, yüksek ve aşağıdaki kriterlere uyularak projelendirilmiş yapılar: (a) S.K.I. nın min ve max değerleri, sırası ile 1.2 ve 2.5, (b) Devrilme çarpanı $J = 1$, (c) Torsiyon tahlükelerinin gereklilerine uyulma. | 3.0 |

| Tablo: 5d. Taşıyıcı sistem ile ilgili katsayı | | ÇİN |
|---|--------------|-----|
| Sistem | C | C |
| Çerçeve sistem : 1. Çelik 2. Betonarme | 0.25 0.30 | |
| Betonarme çerçevelerle kayma perdeleri veya çelik kafes elemanlarının birlikte bulunması hâllerî: | | |
| . Betonarme kayma perdeli yapı (sistem) | 0.35-0.40 | |
| . Donatısız kâgir yapı | 0.45 | |
| . İç-çerçevecli çok katlı veya çerçevecli bir katlı binalar | 0.45 | |
| Mafsallı çerçevecli | | |
| . çelik kolonlu sistemler | 0.30 | |
| . betonarme kolonlu sistemler | 0.35 | |
| . kâgir kolonlu sistemler | 0.40 | |
| Bacalar ve su kuleleri gibi silindirîk yüksek | | |
| 1. Çelik sistemler | 0.35 | |
| 2. Betonarme sistemler | 0.40 | |
| 3. Kâgir sistemler | 0.50 | |
| Çeşitli ahşap yapı sistemleri | 0.25 | |

Tablo: 5e. "c" katsayısı (sistem katsayıısı dahil)

KÜBA

| Grup | Yapı tipi | Sıkışabilme kabiliyeti yüksek zemin bölgesi | Sıkışabilme kabiliyeti düşük zemin bölgesi |
|------|-----------|---|--|
| A | 1 | 0.08 | 0.05 |
| | 2 | 0.10 | 0.10 |
| | 3 | 0.20 | 0.13 |
| B | 1 | 0.06 | 0.04 |
| | 2 | 0.08 | 0.08 |
| | 3 | 0.15 | 0.10 |

C grubu yapılar sismik hesap ve tahkikleri gerektirmez.

Tablo: 5f. "c" katsayısı (sistem katsayıısı dahil)

EL SALVADOR

| Grup | Yapı tipi | I bölgesi | II bölgesi |
|------|-----------|-----------|------------|
| A | 1 | 0.156 | 0.072 |
| | 2 | 0.312 | 0.156 |
| | 3 | 0.390 | 0.195 |
| B | 1 | 0.12 | 0.06 |
| | 2 | 0.24 | 0.12 |
| | 3 | 0.30 | 0.15 |

- "C" grubu binalarda sismik hesap ve tahkiklere gerek yoktur.
- "c" değerleri, tabloda verilen değerleri ile hesaplanan kuvvetler altında bina ağırlık merkezinin yaptığı yatay deplasman x_e (cm) ise, $D = (c/x_e)^{1/2}$ şeklinde hesaplanan bir redüksiyon katsayıısı ile çarpılacaktır : $0.6 \leq D \leq 1.0$.

Tablo: 5g. Sistem katsayıısı

ENDONEZYA

| Sistem tipi | Sismik enerjiyi absorbe eden elemanların yapımı m a l z e m e s i | K |
|--|---|---------------------------------|
| Düktill çerceveler | <ul style="list-style-type: none"> Betonarme Öngerilmeli beton Çelik Ahşap | 1.0 1.4 1.0 1.7 (!) |
| Düktill per- deler ile kayma per- deleri | <ul style="list-style-type: none"> Betonarme Boşluklu donatılı kâğıt | 1.0 2.0 |
| Konsol düktill kayma perdeleri | <ul style="list-style-type: none"> Betonarme Boşluklu donatılı kâğıt Çevresi betonarme veya çelik hatılı ve kolonlarca kuşatılmış kâğıt Ahşap | 1.0 2.5 2.5 2.0 |
| Sınırlı düktilliteli konsol kayma perdeleri | <ul style="list-style-type: none"> Betonarme Boşluklu donatılı kâğıt Kenarları betonarme veya çelik hatılı ve kolonlarca sınırlı kâğıt Ahşap | 1.5 3.0 3.0 2.5 |

| Tablo: 5g. Sistem katsayısı (devam) | | ENDONEZYA |
|-------------------------------------|---|---|
| Sistem tipi | Sismik enerjiyi absorbe eden elemanların yapılmalzemesi | K |
| Diyagonelli kafes çerçeveler | <ul style="list-style-type: none"> • Betonarme • Çelik • Ahşap | <ul style="list-style-type: none"> 2.5 2.5 3.0 |
| Konsol tek katlı çerçeveler | <ul style="list-style-type: none"> • Betonarme • Çelik | <ul style="list-style-type: none"> 2.5 2.5 |
| Bacalar,kükük tanklar | <ul style="list-style-type: none"> • Betonarme • Çelik | <ul style="list-style-type: none"> 3.0 3.0 |

| Tablo: 5h. Sistem katsayısı | | JAPONYA |
|---|--|----------------|
| Taşıyıcı sistem tipi | | D _s |
| Mükemmel düktiliteli haiz eğilme çerçeveleri | | ≥ 0.3 |
| Düktil kayma çerçeveli veya kafes kiriş elemanlı sistemler | | ≥ 0.4 |
| Zayıf düktiliteli kayma çerçeveli veya kafes elemanlı sistemler | | ≥ 0.5 |

| Tablo: 5i. Sistem katsayısı | | YENİ ZELANDA |
|-----------------------------|--|--|
| Hâl | Açıklama | S |
| 1 | Kirişlerinde uygun sayıda plastik mafsal oluşması mümkün düktil çerçeveler | 0.8 |
| 2 | Kirişlerinde uygun sayıda plastik mafsal oluşması mümkün olmayan çerçeveler | 1.0 |
| 3 | Düktil bağlı kayma perdeleri | 0.8 |
| 4 | Birbirine parel iki veya daha çok sayıda ve yaklaşık olarak simetrik düzenlenmiş düktil konsol kayma perdeleri | 1.0 |
| 5 | Tek konsol düktil kayma perdesi | 1.2 |
| 6 | Eğilme akma düktilitesine göre hesaplanmamış fakat sismik enerjinin önemli bir kısmını yutma kabiliyeti olan kayma perdeleri | 1.6 |
| 7 | Yalnız çökmede plastik deformasyon yapabilen diyagonalli kafes sistemi haiz binalar : <ul style="list-style-type: none"> a) Bir katlı b) İki veya üç katlı (özel inceleme ile de tespit edilebilir) c) Üç kattan fazla (özel inceleme ile tespit edilecektir) | <ul style="list-style-type: none"> 2.0 2.5 |
| 8 | <ul style="list-style-type: none"> a) Yatay yükün bir kısmına 7,1 ve 2. de sayılan sistemlerle karşı koyan binalar (özel inceleme ile tespit edilecektir) b) Çökmede ve basınçta plastik deformasyon yapabilen diyagonalli kafes sistemi haiz binalar (Özel inceleme ile de tespit edilebilir) | 1.6 |
| 9 | Zemine oturan küçük tanklar | 2.0 |

| Tablo: 5j. Sistem katsayısı | | PERU |
|-----------------------------|--|------|
| Tip | Açıklama | K |
| P | Yatay ve düşey yükleri, kutu kesitli zelzele perdeleri, asansör perdeleri ve diğer rıjit elemanlarında karşılaşılan binalar | 1.33 |
| Q | Düzen katagorilerin hiçbirine girmeyen binalar | 1.00 |
| R | Yatay yükün en az % 25 i çerçevelerince karşılanan, diğer elemanları ise yatay yükün tamamını karşılaşacak şekilde projelendirilen binalar | 0.80 |
| S | Yatay yükün tamamı düktıl çerçevelerince karşılanan ve rıjit elemanları serbest titreşimine müdahale etmeyen sistemler | 0.67 |

| Tablo: 5k. Sistem katsayısı | | FİLİPİNLER VE A.B.D. |
|---|------|----------------------|
| Mukavemet elemanlarının tipi ya da düzeni | K | FİL. ABD |
| Aşağıda sayılanlar dışındaki tüm çerçeveli binalar | 1.00 | |
| Kutu kesitli (box) sistemleri haiz binalar | 1.33 | |
| Aşağıdaki kriterler dahilinde perdeli-çerçeve (ikili sistemli) binalar: | 0.80 | |
| (a) Perde ve çerçeve sistemler yatay yüklerle, rıjitlikleri ile orantılı olarak birlikte karşı koyarlar; | | |
| (b) Çerçeve sisteminde bağımsız olarak, kayma perdeleme, yatay yükün tamamını karşılaşacak kapasitededir; | | |
| (c) Düktıl çerçeve sistem, yatay yükün en az % 25 ini karşılaşabilir. | | |
| Yatay yükünün tamamı düktıl çerçevelerince karşılanabilen binalar | 0.67 | |
| Bir bina tarafından taşınmayan, 4 veya daha çok ayaklı yüksek, dolu tanklar ¹ . | 3.0 | 2.5 |
| Bu tabloda sayılmayan diğer binalar ve yapılar(sistemler) | 2.00 | |

(¹) "KC" nin minimum değeri 0.12 , maksimum değeri 0.25 alınacaktır.

3.6. HİZMET AMAÇLARINA GÖRE YAPILARIN SINIFLANDIRILMASI- YAPI ÖNEM KATSAYISI

Yapılar, kullanılış amaçları itibarıyle sınıflandırılır ve kendilerinden beklenilen hizmete göre önem kazanırlar. Yönetmeliklerin hemen hepsinde, bu açıdan sınıflandırmalar (gruplandırmalar) mevcuttur. 6 numaralı tablolarda, bu sınıflandırmalar ve her bir sınıfı herbir yönetmeligin verdiği ağırlık (önem) katsayıları, yine bu parametre için her bir ülke yönetmeyeliğinin kendi notasyonu da işaret edilerek, gösterilmişlerdir. Takdir edileceği üzere özetleme yapmak kaçınılmaz olmuştur.

| Tablo: 6a. Yapı önem katsayısı | ARJANTİN/ŞİLİ/KÜBA/EL SALVADOR/MEKSİKA | |
|---|--|-----------------------|
| Açıklama | ARJ. | ŞİLİ |
| Çökmeleri (yıkılmaları) önemli sonuçlar doğuracak mahallî veya millî hükümet, belediye ve diğer kamu binaları: Okullar, kolejler ve üniversiteler gibi eğitim; hastaneler ve sanatoriumlar gibi sağlık binaları. Halkın muntazaman ve kalabalık olarak bulunabileceği (Arjantin: 300 m ² den; Küba ve El Salvador: 400 m ² den) geniş alanı haiz âbideler, stadyumlar, tiyatrolar, ulaşım terminalleri ve istasyonları gibi yapılar. İçlerinde değerli eşya veya eserlerin korunduğu müzeler ve benzeri yapılar. Hizmetleri büyük önemi haiz telefon ve elektrik santralleri, içre suyu tesisleri gibi yapılar (Notas - yon: Arjantin, Küba, El Salvador ve Meksika : A; Şili: a). | δ_d 1.3 | K ₁ 1.2 |
| Oteller, apartmanlar, iş hanları özel iş ve barınma binaları. Birinci gruba girmeyen fakat halkın kalabalık olarak bulunabilecegi diğer yapılar. Ticaret ve endüstri binaları. Üçüncü grup olup da yıkılmaları hâlinde birinci ve ikinci grup binalara zarar verebilecek binalar (Notasyon: Arjantin, Küba, El Salvador ve Meksika: B; Şili: b). | 1.0 | 1.0 |
| Yukardaki iki gruba girmeyen, kalabalık şekilde kullanılma - yan fabrikalar ve ayrik binalar; yıkılmaları hâlinde diğer grup binalara zarar vermeyecek ahırlar, silolar gibi yapılar (Arjantin, Küba, El Salvador ve Meksika: C ; Şili: c) | 0.8 | 0.8 |
| Not: Küba ve El Salvador için bakınız: Tablo: 5e ve Tablo: 5f ; Meksika için bkz: Tablo: 8) | | |

| Tablo: 6b. Yapı önem katsayısı | KANADA |
|--|--------|
| Açıklama | I |
| Afetlerden sonra hemen kullanılması gereklî binalar ve okullar | 1.3 |
| Diger bütün binalar | 1.0 |

| Tablo: 6c. Yapı önem katsayısı | HİNDİSTAN | |
|--------------------------------|--|-----|
| Grup | Açıklama | I |
| i | Atom reaktörü barındıran yapılar (ön projede) | 6.0 |
| ii | Barajlar (bütün tipleri) | 2.0 |
| iii | Yanıcı veya zehirli gaz ve sıvı depoları | 2.0 |
| iv | Hastaneler; su kuleleri, tanklar; okullar; önemli köprüler; önemli güç santralleri; âbidevi yapılar; telefon santrali, itfaiye gibi acil yardım tesisleri; kalabalık olarak kullanılan sinama, meclis ve metro istasyonu gibi yapılar. | 1.5 |
| v | Bütün diğer yapılar | 1.0 |

| Tablo: 6d. Yapı önem katsayısı | | ENDONEZYA |
|--|--|-----------|
| Bina tipi | | I |
| (a) Abidevi yapılar | | 1.5 |
| (b) Bir deprem sonrası hemen kullanılması gereklili esas tesisler: Hastaneler, besin depoları, acil yardım tesisleri, güç istasyonları, su tesisleri, radyo ve televizyon tesisleri, toplantı (meclis) yerleri gibi. | | 1.5 |
| (c) Günde ortalama 8 saat açık 1000 den fazla kişinin barındığı binalar | | 1.5 |
| (d) Şehir alanlarındaki gaz ve petrol dağıtım tesisleri | | 2.0 |
| (e) Asitli, toksik ve benzeri sıvıların taşındığı ya da depo edildiği tesisler | | 2.0 |
| (f) Diğer yapı tipleri | | 1.0 |

| Tablo: 6e. Yapı önem katsayısı | | YENİ ZELANDA |
|--------------------------------|---|--------------|
| Yapı sınıfı | Açıklama | I |
| I | Bir deprem felâketinden sonra, bütün fonksiyonları ile hemen kullanılması gereklili yapılar | 1.6 |
| II | I ci sınıfı girmeyen bütün kamu binaları | 1.3 |
| III | Bütün diğer binalar | 1.0 |

| Tablo: 6f. Yapıların sınıflandırılması- Önem katsayısı | | PERU |
|--|--|-------|
| Yapı sınıfı | Açıklama | |
| A | İki kata kadar düşük maliyetli kırsal bölge binaları | |
| B | Mutad yapılar: İş hanları, apartmanlar, ikâmetgâhlar, v.s. | |
| C | Kalabalık olarak kullanılan yapılar: Tiyatro, sinema, stad - yum, jimnazyum, okul, v.b. Hizmeti hayatı önemi haiz binalar: Elektirik ve telefon santralleri, içme suyu tesisleri, itfaiye, v.b. Hastaneler, hapishaneler, v.b. | |
| D | Özel yapılar: Her zaman karşılaşılan tehlikeler dışında, kısmen veya tamamen çökmesi önemli yangınlar ve radyasyonlara sebep olacak yapılar. Böyle yapıların tehlikesinden yerlesme bölgeleri mutlaka korunacaktır. | |
| | Bölgelere göre "U" katsayıısı | |
| | 1 | 2 |
| A | (Bu sınıf binaların projelendirilmesi için ayrıca ek verilmiş) | 3 |
| B | 0.05 | 0.04 |
| C | 0.06 | 0.05 |
| D | Proje mühendisince özel değerlendirme ile tespit edilecek, fakat, hiçbir zaman "C" sınıfı yapılar için kullanılan değerden az alınmayacaktır. | 0.035 |
| Not: Karşılaştırmayı kolaylaştırmak için, "U" katsayıları, spektral çarpmanın "0.05" sabiti, bu katsayıya taşınarak, çarpılmıştır. | | |

| Tablo: 6g. Yapı önem katsayısı | A.B.D. |
|--|--------|
| Açıklama | I |
| Esas tesisler (hastaneler, itfaiye, elektirik ve telefon santralleri gibi) | 1.5 |
| Bir hacimde 300 den fazla kişinin bulunabileceği binalar | 1.25 |
| Bütün diğer binalar | 1.0 |

3.7. DİĞER PARAMETRELER

İncelenenlerden Meksika Yönetmeliği, yapıları, sistem özelliklerine göre 4 tipe ayırmaktadır:

1. Yatay yüklerle mukavemet elemanları: çerçeve, diyagonalli kafes, diafram ve perde sistemlerden biri veya bunlardan birkaçının kombinezonu olan bina, tersane, tiyatro ve benzeri yapılar. Baca-lar ve kuleler gibi bir mukavemet elemanı olan yapılar.
2. Tanklar.
3. İstinat duvarları.
4. Diğer yapı sistemleri.

Bu sistem tiplerine ve bunların ayrıntılarına bağlı olarak, Q düktilité katsayıları verilmiştir; ve $1/Q'$ değerinin "zelzele katsayısının" bir çarpımı olarak alınması istenmektedir: Eğer $T > T_1$ ise $Q' = Q$, aksi hâlde $Q' = 1^+ (Q-1)T/T_1$ alınacaktır. T yapı tabii peryodudur; T_1 değerleri ise Tablo: 8'de işaret edilmiştir. Q düktilité katsayıları Tablo:7a'da özetlenerek verilmiştir.

Yeni Zelanda Deprem Yönetmeliğinde ise; yapıların önemi hususundaki değerlendirmeye genişletilerek, ayrıca, bir "risk katsayısı", R , verilmektedir. Tablo: 7b'de işaret edilmiş bulunan bu katsayıların 3 ve 4 cü sırası, söz konusu tesislerdeki konut binalarına, eğer bunların yıkılması diğer tesisler için tehlike arzetmiyorsa, uygulanmaz.

Yine Yeni Zelanda Yönetmeliği, yapıların taşıyıcı sistemlerinin malzeme sine göre, bir "Sistem malzeme katsayısı", M , vermektedir; bu katsayıların değerleri de Tablo: 7c' de gösterilmiştir.

4. DEPREM YATAY KUVVETİNİN KATLARA DAĞITIMI

Deprem yatay kuvvetinin, kütlelerin yoğunlaşlığı kabul edilen katlara dağıtımları ya da dağılımı için incelenen yönetmeliklerin verdiği formüller ve bunların açıklamaları Tablo: 8 'de özetlenmiştir.

5. YAPI ÖZEL PERYODUNUN HESABI İÇİN AMPRİK FORMÜLLER

Yapı özel peryodu, eğer dinamik analiz sonucu veya literatürdeki herhangi bir geliştirilmiş yöntemle hesaplanmadığı takdirde; çeşitli yönetmelikler, yapı taşıyıcı sistemine de bağlı olarak, Tablo: 9 'da özetlenmiş bulunan amprik formüllerin kullanılmasına izin vermektedirler.

| Tablo: 7a. Düktilitete çarpanı değerleri | | | MEKSİKA |
|--|-----------|---|---------|
| Hâl | Yapı tipi | Açıklamalar | Q |
| 1 | 1 | <p>Mukavemeti, her seviyede, tamamen diyagonalli kafes eleman veya betonarme çerçevelerce sağlanmış ve aşağıdaki şartları haiz sistemler:</p> <ul style="list-style-type: none"> a) Projelendirme Standartları Federal Bölge Bürosunda tespit edilen kriterlere göre, yıkılmadan önce önemli miktarda eğilme deformasyonları yapan çelik kiriş ve kolonlar. b) Spiral veya buna eşdeğer sargılı (kuşatılmış) betonarme kolonlar c) Kesme, burulma ve burkulma gibi hâllerde taşıma gücü limitlerinin hesabında, bu Yönetmeliğin 220 ci maddesinde verilen 1.1 çarpanı yerine 1.4 çarpanı kullanılması uygundur. d) Betonarme elemanlarının, özellikle kirişlerin, uçlarında plastik mafsal oluşmasına imkân verecek şekilde projelendirme yapılmalıdır. e) Her seviyede; elemanların mukavemet kapasitesi ile hesap kesit tesirleri arasındaki oran, bütün seviyelerdeki bu tip oranların ortalamasından % 20 den daha fazla fark etmemelidir. | 6.0 |
| 2 | 1 | Her seviyede, mukavemeti tamamen çelik, betonarme veya ahşap mukavemet elemanlarında sağlanmış; mümkün olduğu ölçüde betonarme kolon ve perdeli; çerçevelerin kapasitesi, tek başına, en azından taban kesme kuvvetinin % 25 ini karşılayabilecek; hesap ve mukavemet kesit tesirleri arasındaki oran, her bir seviyede, bütün seviyelerdeki ortalamadan en çok % 35 farkeden sistemler. | 4.0 |
| 3 | 1 | 1 ve 2 ci hâllerde bulunmayan çelik veya ahşap çerçeveler ya da betonarme perdelerce; veya uygun şekilde betonarme, çelik veya ahşap kiriş- kolon ve benzeri şekillerdeki elemanlarca çevrelenmiş (kuşatılmış) sağlam blok veya tuğla ile yapılmış duvarlarca, yatay yüklerle mukavemeti temir edilmiş yapılar | 2.0 |
| 4 | 1 | Yatay kuvvetlere mukavemeti, her seviyede, boşluklu blok veya kâğıt duvarlarca; veya bunlarla birlikte 1 ilâ 3 hâllerindeki elemanlarla müstereken sağlanan yapılar. | 1.5 |
| 5 | 1-4 | Yatay kuvvetlere mukavemeti, yukarıdaki hâllerde sayılmayan bir malzemeden yapılmış elemanlarca, en azından kısmen sağlanan her tip yapı. | 1.0 |

| Tablo: 7b. Risk çarpanı | | YENİ ZELANDA |
|-------------------------|---|-------------------------------|
| Hâl | Açıklama | R |
| 1 | Mutad risklerin dışında tehlike arzetmeyen ve aşağıda verilenlerin dışında kalan yapılar | 1.0 |
| 2 | 1000 kişiden fazla bir kalabalığın barındığı binalar. Tiyatro ve sinemalar dahil toplantı (meclis) binaları. | 1.1 |
| 3 | Tabîî ve sun'î gaz ve petrol ürünlerinin şehir alan - larındaki dağıtım tesisleri | 2.0 |
| 4 | Zehirli sıvıları ya da gazları, asitleri, alkalileri, erimiş hâldeki metalleri; zehirli maddeleri, serbest kalmaları hâlinde zehirli gazlar meydana getirebilen maddeleri taşıyan veya barındıran tesisler. | 3.0 veya özel inceleme ile |

| Tablo: 7c. Sistem malzemesi çarpanı | | YENİ ZELANDA |
|-------------------------------------|---|--------------|
| Hâl | Taşıyıcı sistem malzemesi | M |
| 1 | Yapı çeligi | 0.8 |
| 2 | Ahşap (Bkz: Orijinal metin, Tablo: 5B) | |
| 3 | Betonarme | 1.0 |
| 4 | Öngerilmeli beton (Elemanları, deprem etkileri altında akma gerilmelerine göre hesaplanmış ise) | 1.2 |
| 5 | Donatılı kâgor | 1.2 |

6. DİNAMİK YÖNTEMLER

İncelenen yönetmeliklerin ekserisi, ileri hesap yöntemleri olarak, dinamik analiz yöntemlerine de yer vermişlerdir. Dinamik yöntem olarak ise, "Modal analiz" yapılması tavsiye edilmektedir. Modal analiz yöntemi ile ilgili olarak, sözkonusu yönetmeliklerin önemli sayılabilecek bazı kayıtları Tablo: 10 'da özetlenmeye çalışılmıştır.

7. SONUÇ

Yapıların, yer sarsıntılarından ileri gelen yatay atalet kuvvetlerine göre hesap yöntemleri, her bir yönetmelikte birbirlerinden farkedebilmekle beraber, müsterek oldukları taraflar pek çoktur. Tablolar; hesaplarda göz önüne alınan her bir parametrenin, yönetmeliklerin her birinde nasıl değerlendirildiklerini karşılaştırmalı olarak göstermektedir.

- 1^o Her şeyden önce notasyon birliğinin sağlanması kolaydır. Birim sistemlerinde ise, "ISO" nin de gayretleri ile, zaten büyük oranda birlik sağlanmış durumdadır; eski tarihli yönetmeliklerde yer alan "SI" birimleri dışındaki birimlerin, yeni tarihli yönetmeliklerde "SI" birimleri ile değiştirildikleri, memnuniyetle, izlenmektedir.
- 2^o İncelenen yönetmeliklerin hemen hepsi, sismik bölgelendirmeyi göz önüne almaktadır. Coğrafi bakımdan küçük sayılabilecek bazı ülkelerin bir sismik bölge içinde mütalea edilmeleri normaldir.

Tablo: 8. Deprem yatay kuvvetinin katlara dağılımı

| Grup | Ülke | Verilen formül ve açıklamalar |
|---|------------------------------------|---|
| I | KÜBA / ÇİN/EL SALV. ARJANTİN | $F_i = (V - F_t) W_i h_i / (\Sigma W_i h_i)$ $V = F$: Taban kesme kuvveti W_i : i-ci katın hesap ağırlığı F_t : F_n ye ilâve edilecek tepe kuvveti $W = \Sigma W_i$ h_i : i-ci katın tabandan yüksekliği |
| | | $F_t = 0$ |
| | | $T < 0.5$ s için $F_t = 0$; $0.5 < T < 1$ s için $F_t = 0.05V$; |
| | KANADA | $T > 1$ s için $F_t = 0.10V$ |
| | FİLİPİNLER ¹ | $h_n/D < 3$ için $F_t = 0$; $h_n/D \geq 3$ için $F_t = 0.004 (h_n/D)^2 < 0.15 V$ |
| | ENDONEZYA ve YENİ ZELANDA | " |
| II | PERU | $h_n/D < 3$ için $F_t = 0$; $h_n/D \geq 3$ için $F_t = 0.1 V$ |
| | A.B.D. | Zemine oturan baca ve benzeri yapılarda: $F_t = 0.2 V$ (ENDO) |
| | | $h_n/D < 5$ için $F_t = 0.05$; $h_n/D \geq 5$ için $F_t = 0.10 V$ |
| III | ŞİLLİ | $F_i = V \cdot W_i \cdot A_i / (\Sigma W_i A_i)$; $A_i = [1 - (h_i - 1)/h_n]^{1/2} - [1 - h_i/h_n]^{1/2}$ $n < 5$ için $A_i = h_i$ alınarak hesap yapılabilir. |
| | HİNDİSTAN | $F_i = V \cdot W_i h_i^2 / (\Sigma W_i h_i^2)$ |
| IV | JAPONYA | $V_i = C_i W_i$; $C_i = ZC_0 \cdot R_T \cdot A_i$; $A_i = 1 + \frac{1}{\sqrt{\alpha_i}} - \alpha_i \frac{2T}{1+3T}$ $\alpha_i = W_i / W$; W_i : i-ci katın üzerinde kalan toplam bina ağırlığı (Bakınız: Paragraf:2, Şekil:3 ve Tablo:1). |
| V | CEZAYİR | $F_i = \sigma_i P_i$ ($\sigma_i = c_i$; $P_i = W_i$ anlamındadır) |
| VI | MEKSİKA | $T < T_1$ için $F_i = V \cdot W_i h_i / (\Sigma W_i h_i)$ Ancak; bu hâlde, taban kesme kuvveti $F = V = W [a_o + (c - a_o) T / T_1] Q'$ alınır. $T_1 \leq T \leq T_2$ için T ye bağlı bir azaltma yapılmaz. |
| | | $T > T_2$ için $F_i = W_i (K_1 h_i + K_2 h_i^2) c / Q$ $K_1 = q [1 - r(1 - q)] \sum W_i / (\Sigma W_i h_i)$ $K_2 = 1.5 qr(1 - q) \sum W_i / (\Sigma W_i h_i^2)$; $q = (T_2 / T)^r$ |
| | | Bölge a_o T_1 T_2 r |
| | | I 0.03 0.3 0.8 1/2 |
| | | II 0.045 0.5 2.0 2/3 |
| | | III 0.06 0.80 3.3 1 |
| | | IV Bakınız: Orijinal metin, madde: 262 |
| (1) İki kata kadar düzgün yayılı alınmasına izin verilmiştir. | | |

Tablo:9. Yapı özel peryodu için amprik formüller (s)

| Ülke | Verilen formül - açıklamalar |
|-------------------------|--|
| ARJANTİN | $T = 0.01 h_n [30/D + 2/(1+30\Delta)]^{1/2}$ $\Delta = \text{Tüm katlarda sürekli, hesap doğrultusundaki duvarlarin alanları toplamının plan alanına oranı.}$ |
| KANADA ve HİNDİSTAN | $T = 0.09 h_n / \sqrt{D}$ "1" : Diğer bütün binalar için $T = 0.10 h_n$ "2" : Yalnız düktüllü çerçeveli sistemler. |
| ÇİN | $T = 0.22 + 0.035 h_n / \sqrt{D}$ $h_n < 50$ m olan binalar için $T = 0.45 + 0.0011 h_n^2 / D$ $h_n < 150$ m olan betonarme bacalar için $T = 0.26 + 0.024 h_n^2 / D$ $h_n < 60$ m olan tuğla bacalar ... |
| ENDONEZYA | $T = 0.085 h_n^{3/4}$ Çelik çerçeveli sistemler için $T = 0.06 h_n^{3/4}$ Beton çerçeveli sistemler için "1" : Diğer sistemler için; "3" : Ayrıntılı hesap hâlinde |
| MEKSİKA ve YENİ ZELANDA | $T = 2\pi \left[\frac{1}{g} (\sum W_i \delta_i^2 / \sum F_i \delta_i) \right]^{1/2}$ "3" $g = \text{yer çekimi ivm.}$ $F_i : i\text{-ci kat kuvveti ; } \delta_i : F_i \text{ kuvvetleri altında } i\text{-ci katın yatay deplasmanı}$ |
| JAPONYA | $T = 0.028 h_n$ Çelik çerçeveli binalar için $T = 0.020 h_n$ Diğer binalar için |
| PERU | "2" : Sadece çerçevelerden oluşan sistemlerde "1" : Çerçeve-perdeli (ikili) sistemlerde $T = 0.07 h_n / \sqrt{D}$ Perdeli geniş pencere sistemleri $T = 0.05 h_n / \sqrt{D}$ "5" : Perdeli küçük pencere sistemleri |
| FİLİPİNLER | "5" : Diğer bütün bina sistemleri için "2" : Sadece çerçeveli bina sistemleri için |
| A.B.D. | "3" "5" } Diğer bütün bina sistemleri için "2" : Sadice düktüllü çerçevelerden oluşan bina sistemleri için |

Tablo:2' de ve diğer bazı tablolarda kısmen yapılmaya çalışıldığı gibi, zelzele katsayısının sadece bölgeden bölgeye değişen tüm nümerik kısmı, bölge katsayısı içinde değerlendirilir ise, böylece elde edilen katsayılardaki parellellik daha kolay gözlenebilir, karşılaştırma basitleşmektedir. Bu noktada yapılacak iki çalışma yararlı olacaktır:

Sismik bölge tanımına uluslararası bir târif getirmek: Bu, Çin Yönetmeliğinde olduğu gibi, Uluslararası şiddet skalasına göre, belirli bir şiddette depremlerin meydana gelme ihtimali olan bölgeler, bütün ülke-lerde aynı adla anılır; mesela "7 MSK şiddetine depremlerin olması beklenen bölge" gibi.

Tablo: 10. Dinamik yöntemlerle ilgili bazı kayıtlar

Modal maksimumların süperpozisyonu için genel formül:

$$v_i = (1-\gamma) \sum_{j=1}^r |v_{ij}| + \gamma \left[\sum_{j=1}^r v_{ij}^2 \right]^{1/2}$$

| Ülke | γ | $\frac{(v_i)_{\text{din}}}{(v_i)_{\text{st}}}$ | Bazı ilâve önemli kayıtlar |
|------------------------|--|--|--|
| Arjantin | 0.5 | > 0.75 | Gözönüne alınacak ilk mod sayısının % 7 hassasiyeti sağlaması |
| Şili | 0.5 | | $n > 15$ veya $h_n > 45$ m için DY ile analiz mutlak ⁿ gerekli görülmeli |
| Çin | 1.0 | 0.90 | $r > 3$ |
| Küba | | 0.60 | Kule ve baca tipi yapılar ve $h_n/D > 5$ olan binalar için DY mecburidir. |
| El Salvador | 1.0 | 0.40 | Hesap kesme kuvvetini % 10 dan az değiştiren modlar ihmali edil. |
| Hindistan | $h_n = 20 \quad 60 \quad 90$ m $\gamma = 0.4 \quad 0.8 \quad 1.0$ | | γ nin ara değerleri için lineer enterpolasyon yapılabilecek - tir. |
| Meksika | 1.0 | | $h_n > 60$ m için DY gereklidir. |
| Endonezya (Şekil:5) | | | $h_n > 40$ m yapılar veya düzensiz sistemi haiz her boyutta yapı için DY gerekli, $r = 3-5$ |
| Japonya | | 0.75 | |
| Yeni Zelanda | 1.0 | 0.80 | |
| Peru | 1.0 | 0.80 | Mikro-sismik etüdler yapılması kaydıyla, $v_{\text{din}} / v_{\text{st}} \leq 0.60$ alınabilecektir. |

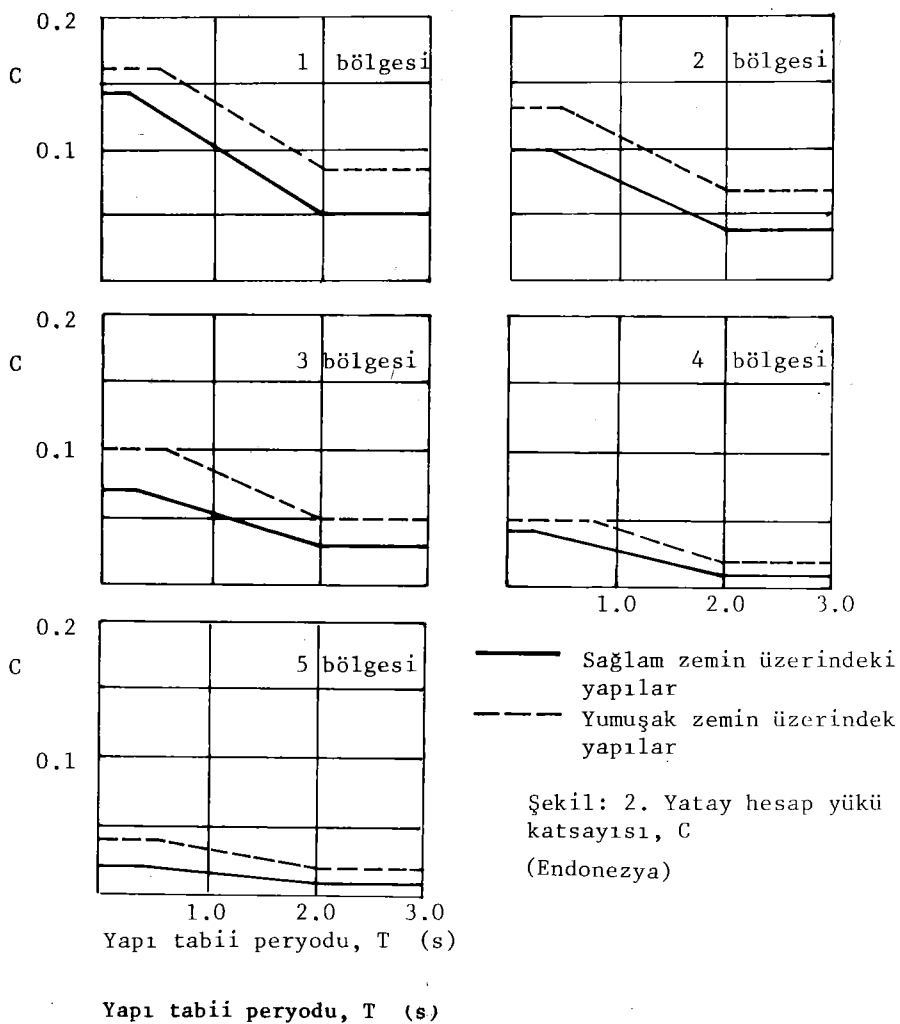
V_{ij}: j-ci modda i-ci katın kesme kuvveti; V_i: i-ci katta, modal maksimumların, söz konusu formüle göre süperpozisyonu olan kesme kuvveti;
r: Hesapta göz önüne alınacak ilk modların sayısı.

İkincisi, bu, sadece bölgeden bölgeye değişeceğin sayısal kısım, bütün dünya ülkeleri için, tanım olarak aynı olmakla birlikte; her memleketin kendi ekonomik imkânlarına ve kalkınma programlarında inşaat sektörü için ayırabilecekleri paya göre, her ülkenin kendi millî komitesince; hâtta zaman içinde değiştirilerek, tespit edilir ve uygulanabilir.

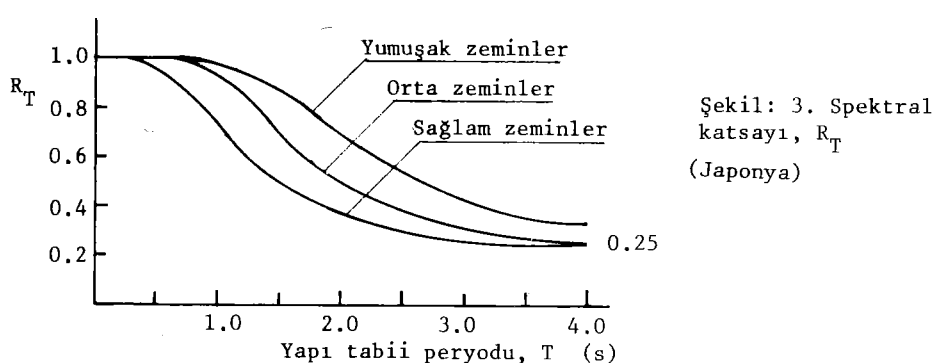
- 3^o Spektral çarpan için ortak bir formülasyona ulaşmak zor gözükmektedir.
- 4^o Zeminlerin sınıflandırılmasını daha belirli esaslara bağlamak uygun olacaktır. Bu, spektral çarpan için ortak bir formüle varabilmekte de gereklidir. Ayrıca, temel tipi ve zemin durumunu birlikte değerlendirmek, hesap yöntemini bâsit tutabilmek için yararlı olacaktır.
- 5^o Yapı taşıyıcı sisteminin yapının davranışının üzerindeki önemi konusunda incelenen yönetmeliklerin hepsi mutabık gözükmektedir; değerlendirmede, özellikle tanımlamalarda büyük parellellikler mevcuttur. 5 numaralı tablolar bu parellellikleri aksettirecek şekilde düzenlenmişlerdir.
- 6^o Yapıların önemlerine göre sınıflandırılması en kolay mutabakat sağlayacak hususlardan biri olarak görülmektedir. Her bir yapı grubu ve buna atfedilecek önem konusunda, çoğu yönetmelikler arasında uygunluk kimi yönetmelikler arasında da küçük farklılıklar (bkz: 6 numaralı tablolar) görülmektedir. Ülkelerin ekonomik güçlerinin de bu parametreye yansımış olması tabiidir; ancak, bir ülkenin millî ekonomisi ve kalkınma programı ile ilgili göstergeyi, 2^o de açıkladığımız gibi, bölge katsayısi içinde mütalea edersek, "yapı önem katsayısı" da bütün yönetmelikler için standart bir forma konulabilir.
- 7^o İncelenen 15 yönetmeliğin 10^u, taban kesme kuvvetinin katlara dağıtımlı konusunda hemen hemen aynı formülasyonu benimsemışlardır. Esas itibarıyle diğerlerinde de büyük ayrılıklar var sayılmaz (Tablo: 8).
- 8^o Yine, yapı tabiî peryodunun tahmini konusundaki formüllerde büyük parellellikler mevcuttur (Tablo: 9); uyguladıktan sonra, hiç bir ülke bu tablodaki "3" formülüne itiraz etmez; nevarki diğer amprik formüllerde nazarana uygulaması güçtür.
- 9^o Dinamik analiz yöntemleri üzerinde her şeyden önce anlaşılması gereken, modaların süperpozisyonunun ne şekilde yapılacağıdır; bu hususta, Hindistan Yönetmeliğinin formülasyonu orta yol sayılabilir (Tablo: 10). Dinamik yöntemle bulunacak iç kuvvetlerin statik yöntemle bulunanlar - dan ne oranda farkedebileceğii ise, hangi sayıda modun dikkate alınacağına ve bunun şartlarına, ve makrozoning ve mikrozoning prensiplerin standartlaştırılmasına bağlı olacaktır.

KAYNAKLAR

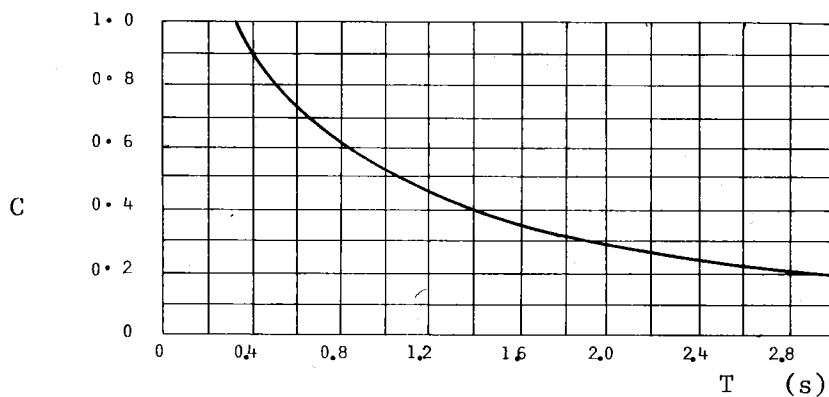
- |1| H. DEMİR, T. BAZYAR- The comparative study of the earthquake resistant regulations of European countries- 6. ECEE Proceedings.
- |2|,|3| ve |4| IAEE - Earthquake resistant regulations - a world list - 1973, 1976 and 1980 (and supp.).



Şekil: 2. Yatay hesap yükü katsayıısı, C
(Endonezya)

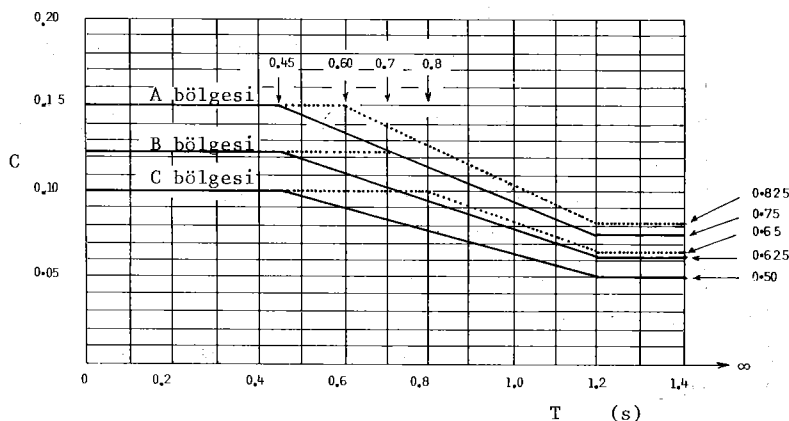


Şekil: 3. Spektral katsayı, R_T
(Japonya)



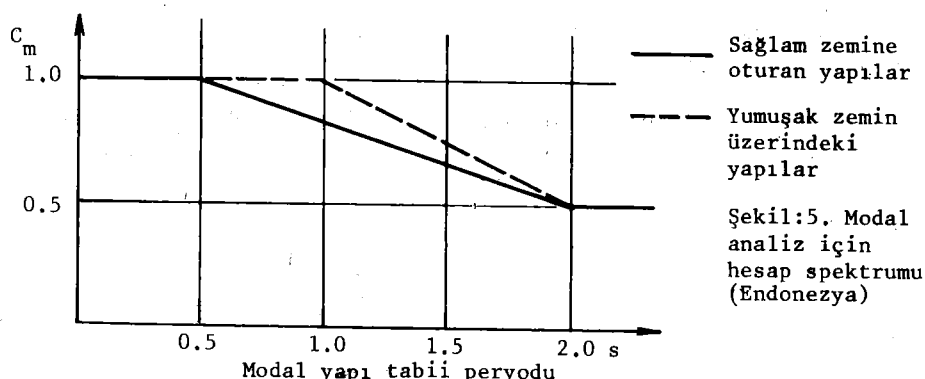
Şekil:1-C katsayısi (Hindistan)

— Rijit ve orta zeminler
..... Fleksibl zeminler



Şekil:4- Temel sismik katsayı (Yeni Zelanda)

Şekil:4- Temel sismik katsayı (Yeni Zelanda)



Şekil:5. Modal analiz için hesap spektrumu (Endonezya)

8. WCEE İLE İLGİLİ DUYURU

KONFERANSIN YERİ VE ZAMANI

21 - 28 Temmuz 1984

Fairmort Hotel Sanfransisco - Kaliforniya - Amerika Birleşik Devletleri

KONULAR

Konferansın teknik oturumlarında aşağıda belirtilen deprem Mühendisliğinin bütün konuları ele alınacaktır.

- 1 — Sismik Risk ve Tehlike
- 2 — Yer Hareketi ve Sismisite
- 3 — Zemin stabilitesi, zemin - yapı karşılıklı etkileşmesi ve temeller
- 4 — Yapıların ve yapı elemanlarının üzerinde yapılan deneyler ve deney metodları
- 5 — Yapıların ve yapı elemanlarının tasarıımı
- 6 — Özel yapılar ve kritik tesisler
- 7 — Yapıların karşıt davranışları
- 8 — Yapıların onarım, takviye ve tadilatı
- 9 — Şehircilik, sosyo - ekonomik ve kamu politikası sorunları
- 10 — Ulaştırma, yol, altyapı vb. kamu tesisleri
- 11 — Taşıyıcı olmayan yapı elemanları ve yapı içindeki eşyalar
- 12 — Deprem yönetmelikleri ve standartlarının geliştirilmesi ve uygulanması

BİLDİRİ SUNUŞ ŞEKLİ

Konferansa kabul edilen bildiriler yazarın arzusuna bağlı olarak iki şekilde sunulabilir.

- 1) Tiyatro biçiminde geniş bir salondaki dinleyicilere 15 dakika sözlü takdim ve 5 dakikalık tartışma,

- 2) Sınırlı sayıda önceden saptanmış küçük bir dinleyici topluluğuna 2 saatlik bir süre içinde grafik, şekil, resim ve slayd gösterisini içeren bir sunuş.

KONFERANS BİLDİRİLERİ

Konferansa kabul edilen bildiriler konferans Proceedinglerinde basılacak ve daimi bir kaynak olacaklardır. Proceedings Konferans sırasında dağıtılmaktır. Proceeding'e giren bildiriler 8 sayfa olacak. Dactilo ile tek satır aralıklı yazılacak ve 8 sayfa şekil ve tablolar da dahil olacaktır.

RESMİ DİL

Konferansın resmi dili İngilizce olacaktır.

ÖZETLER

Konferansa bildiri sunmak isteyen kişilerin bildirilerinin bir özeti 15 Ekim 1982'den önce Uluslararası Deprem Mühendisliği Birliği (IAEE) Başkanına göndermeleri rica olunur. Özetter dactilo ile tek satır aralıklı ve 400 kelimedenden daha kısa olarak yazılmalıdır. Özetterin biçimi şöyle olmalıdır; Bildirinin başlığı, yazarı (veya yazarları) asıl yazarı tam adresi ve özetter metni. Lütfen, sayfanın sol üst köşesinde, bildiriniz için en uygun konu numarasını da yazınız.

Konferansta bildiri sunmak isteyen yazarlar birden fazla özeti incelemek üzere gönderebilirler, ancak bir yazar konferansta sadece bir tek bildiriyi sunabilir.

Her bildirinin özetinin dört kopyası aşağıdaki adrese gönderilmelidir.

Professor D.E. Hudson President

International Association for Earthquake Engineering

Department of Civil Engineering

University of Southern California

Los Angeles California 90007, USA

Seçilen özetterin yazarlarına 15 Mayıs 1983'e kadar durum bildirilecektir. Kabul edildiğine dair yazı gönderildiği zaman yazarlara bildirilerini nasıl hazırlayacakları ve sunuș biçimini ile ilgili ek bilgiler de gönderilecektir. Kabul yazısı ile birlikte yazarlara bildirilerini ne biçimde sunmak istedikleri de sorulacaktır.

DEPREM ARAŞTIRMA BÜLTENİ YAYIN KOŞULLARI

1. Bülten'e gönderilecek telif ve tercüme yazılarının:
 - a) Depremle doğrudan doğruya, ya da dolaylı yoldan ilgili olması
 - b) Bilimsel ve teknik bir değer taşıması
 - c) Yurt içinde daha önce başka bir yerde yayınlanmamış olması
 - d) Daklılo ile ve kâğıdın yalnız bir yüzüne en az iki nüsha olarak yazılmış bulunması
 - e) Şekillerin aydinger kâğıdına çini mürekkebi ile çizilmiş olması
 - f) Fotoğrafların net ve klişe alınmasına müsait bulunması gerekmektedir.
2. Telif araştırma yazılarının baş tarafına araştırmancın genel çerçevesini belirten en az 200 kelimelik İngilizce, Fransızca ya da Almanca bir özet konulmalıdır.
3. İmar ve İskân Bakanlığı mensubu elemanlar tarafından hazırlanan ve telif ya da tercüme ücreti ödenerek yayınlanacak olan yazıların, mesai saatleri dışında hazırlanmış olduğu yazan, derleyen, ya da çevirenin bağlı bulunduğu birim amiri tarafından (genel müdürlüklerde daire başkanı, müstakil birimlerde birim amiri) verilecek bir belge ile belgelendirilmesi zorunludur. Bu belge ile birlikte verilmeyen yazılar için ücret ödenmez.
4. Telif ve tercüme ücretleri ancak yazı bültende yayınlandıktan sonra tahakkuka bağlanır.
5. Bültende yayınlanacak yazıların 300 kelimelik beher standart sayfası için teliflerde 250 TL, tercümelerde 200 TL ücret ödenir.

6. Yazılarda bulunan şekiller için, gerekli olan asgari alan içinde bulunabilecek kelime sayısına göre ücret takdir edilir.
7. Yazların bültende yayınlanması Deprem Araştırma Dairesi bünyesinde teşekkür eden Uzmanlar Kurulu'nun kararı ile olur.
8. Seçmeyi yapacak Uzmanlar Kurulu 5. maddede sözü edilen asgari alanları hesaplamaya, yazı sahiplerine gereksiz uzatmaların kısaltılmasını teklif etmeye, verilecek ücrette esas teşkil edecek kelime sayısını tesbit etmeye ve yazıların yayın sırasını tayine yetkilidir.
9. Kurulca incelenen yazıların bültende yayınlanıp yayınlanmayacağı yazı sahiplerine yazı ile duyurulur.
10. Yayınlanmayacak yazılar bu duyurmadan sonra en geç bir ay içinde sahipleri tarafından geri alınabilir. Bu süre içinde alınmayan yazıların korunmasından Dairemiz sorumlu değildir.
11. Yayınlanan yazılardaki fikir, görüş ve öneriler tamamen yazarlarına ait olup, Deprem Araştırma Dairesini bağlamaz ve Deprem Araştırma Dairesinin resmi görüşünü yansıtmez.
12. Diğer kuruluşlar ve Bakanlık mensupları tarafından bilgi, haber tanıtma vb. gibi nedenlerle gönderilecek not ve açıklamalar, ya da bu nitelikteki yazılar için ücret ödenmez.
13. Dairemiz mensupları Başkanlıkça kendilerine verilen görevlere ait çalışmalarдан ötürü herhangi bir telif ya da tercüme ücreti talep edemezler.